

สำนักหอสมุดกลาง พระจอมเกล้าลาดกระบัง



การออกแบบวงจรสังเคราะห์ความถี่แบบดิจิทัลโดยใช้คอร์ดิกอัลกอริทึม  
ที่สามารถโปรแกรมได้ ด้วย FPGA  
PROGRAMMABLE DIGITAL FREQUENCY SYNTHESIZER  
BASED ON CORDIC ALGORITHM USING FPGA



ปริญญานิพนธ์นี้เป็นส่วนหนึ่งของการศึกษาตามหลักสูตรปริญญาวิศวกรรมศาสตรบัณฑิต  
สาขาวิศวกรรมโทรคมนาคม  
สถาบันเทคโนโลยีพระจอมเกล้าเจ้าคุณทหารลาดกระบัง  
ปีการศึกษา 2546

เลขหมู่.....  
เลขทะเบียน 54968  
วัน,เดือน,ปี - 4 เม.ย. 2548

เอกสารนี้เป็นเอกสารที่สงวนไว้สำหรับการใช้งานเพื่อการศึกษาเท่านั้น ไม่อนุญาตให้นำไปใช้ประโยชน์ด้านการค้า  
หากมีให้ตัดแปลงเนื้อหา และต้องอ้างอิงถึงเจ้าของเอกสารทุกครั้งที่มีการนำไปใช้



การออกแบบวงจรสังเคราะห์ความถี่แบบดิจิทัลโดยใช้คอร์ดิกอัลกอริทึม  
ที่สามารถโปรแกรมได้ ด้วย FPGA  
PROGRAMMABLE DIGITAL FREQUENCY SYNTHESIZER  
BASED ON CORDIC ALGORITHM USING FPGA



ปริญญานิพนธ์นี้เป็นส่วนหนึ่งของการศึกษาตามหลักสูตรปริญญาวิศวกรรมศาสตรบัณฑิต  
สาขาวิศวกรรมโทรคมนาคม  
สถาบันเทคโนโลยีพระจอมเกล้าเจ้าคุณทหารลาดกระบัง  
ปีการศึกษา 2546

เอกสารนี้เป็นเอกสารที่สงวนไว้สำหรับการใช้งานเพื่อการศึกษาเท่านั้น ไม่อนุญาตให้นำไปใช้ประโยชน์ด้านการค้า  
ไม่ว่ากรณีใดๆ ทั้งสิ้น อีกทั้งห้ามมิให้ดัดแปลงเนื้อหา และต้องอ้างอิงถึงเจ้าของเอกสารทุกครั้งที่มีการนำไปใช้

ปริญญานิพนธ์ปีการศึกษา 2546

ภาควิชาวิศวกรรมโทรคมนาคม

คณะวิศวกรรมศาสตร์ สถาบันเทคโนโลยีพระจอมเกล้าเจ้าคุณทหารลาดกระบัง

เรื่อง การออกแบบวงจรสังเคราะห์ความถี่แบบดิจิทัล

โดยใช้คอร์ดิกอัลกอริทึมที่สามารถโปรแกรมได้ด้วย FPGA

PROGRAMMABLE DIGITAL FREQUENCY SYNTHESIZER

BASED ON CORDIC ALGORITHM USING FPGA

ผู้จัดทำ

1. นายธงชัย สุบิน 44015010

2. นายพฤทธิ เกษรัตน์ 44015018

(.....) อาจารย์ที่ปรึกษา

รศ.ดร.กอบชัย เดชหาญ

(.....) อาจารย์ที่ปรึกษา

อาจารย์ ตรีวัฒน์ ชิวปรีชา



เอกสารนี้เป็นเอกสารที่สงวนไว้สำหรับการใช้งานเพื่อการศึกษาเท่านั้น ไม่อนุญาตให้นำไปใช้ประโยชน์ด้านการค้า  
ไม่ว่ากรณีใดๆ ทั้งสิ้น อีกทั้งห้ามมิให้ดัดแปลงเนื้อหา และต้องอ้างอิงถึงเจ้าของเอกสารทุกครั้งที่มีการนำไปใช้

การออกแบบวงจรสังเคราะห์ความถี่แบบดิจิทัล โดยใช้  
คอร์ดิกอัลกอริทึมที่สามารถโปรแกรมได้ด้วย FPGA  
Programmable Digital Frequency Synthesizer Based on  
CORDIC Algorithm using FPGA

โดย นายรัชชัย สุบิน 44015010  
นายพฤทธิ เกษรัตน์ 44015018

อาจารย์ที่ปรึกษา รศ.ดร. กอบชัย เดชหาญ  
อาจารย์ศรวัฒน์ ชิวปรีชา

บทคัดย่อ

โครงการนี้นำเสนอการออกแบบและสร้างวงจรสังเคราะห์ความถี่แบบดิจิทัล (Digital Frequency Synthesizer) สัญญาณไซน์และโคไซน์โดยใช้คอร์ดิกอัลกอริทึม (Cordic Algorithm) ที่สามารถกำหนดความถี่ของสัญญาณได้ โดยจะรับค่าจากคอมพิวเตอร์ผ่านทางพอร์ตอนุกรม (Serial Port) ส่งผ่านไปยังอุปกรณ์ FPGA (Field Programmable Gate Array) ซึ่งถูกออกแบบให้เป็นวงจรถ่ายสัญญาณดิจิทัล (Digital Oscillator) ที่ใช้โครงสร้างของคอร์ดิกแบบลำดับ โดยในการอธิบายการทำงานพฤติกรรมของวงจรด้วยภาษา VHDL (Very High Speed Integrated Circuit Hardware Description Language)

ABSTRACT

Digital Frequency Synthesizer is designed and implemented, the sinusoidal signal is generated based on CORDIC algorithms. The frequency of signal can be assigned by giving the values from computer and via serial port to FPGA. FPGA is designed to generate the digital oscillator with the parallel CORDIC structure. VHDL describes the operations of the circuit.

เอกสารนี้เป็นเอกสารที่สงวนไว้สำหรับการใช้งานเพื่อการศึกษาเท่านั้น ไม่อนุญาตให้นำไปใช้ประโยชน์ด้านการค้า  
ไม่ว่ากรณีใดๆ ทั้งสิ้น อีกทั้งห้ามมิให้ดัดแปลงเนื้อหา และต้องอ้างอิงถึงเจ้าของเอกสารทุกครั้งที่มีการนำไปใช้

## สารบัญ

	หน้า
บทที่ 1 บทนำ	
1.1 ความเป็นมาและความสำคัญของปริญญาโท	1
1.2 ความมุ่งหมายและวัตถุประสงค์ของโครงการ	1
บทที่ 2 ทฤษฎีและหลักการ	3
2.1 ทฤษฎีตัวกำเนิดสัญญาณ ไซน์แบบดิจิทัล	3
2.2 CORDIC Algorithm	6
2.2.1 การประยุกต์ใช้กับฟังก์ชันไฮเปอร์บอลิก	13
2.2.2 โครงสร้างทางฮาร์ดแวร์ของ CORDIC algorithm	15
2.3 การเขียนภาษา VHDL	20
2.3.1 รูปแบบการบรรยายพฤติกรรม	20
2.3.2 การออกแบบจากบนลงล่าง	22
2.3.3 ภาษา VHDL และ ส่วนประกอบต่างๆของภาษา	24
2.3.3.1 หน่วยการออกแบบเอนทิตี	24
2.3.3.2 หน่วยการออกแบบสถาปัตยกรรม	25
2.3.3.3 หน่วยการออกแบบแพ็คเกจ	29
2.3.3.4 หน่วยการออกแบบโครงสร้าง	30
2.3.4 ชุดคำสั่งลำดับ (Sequential Statements)	31
2.3.4.1. Process Statement	31
2.3.4.2. Wait Statement	32
2.3.4.3. IF-THEN-ELSE statement	33
2.3.4.4. CASE Statement	33
2.4 การส่งข้อมูลแบบอะซิงโครนัส	34
2.4.1 ขั้นตอนการส่งข้อมูล	35
2.4.2 ตรวจสอบความคิดพลาด	35
2.4.3 การส่งข้อมูลแบบซิงโครนัส	36
2.4.4 การส่งข้อมูลซิงโครนัสอักษระ	36
2.4.5 การส่งข้อมูลซิงโครนัสบิต	37
2.4.6 การสื่อสารแบบอนุกรมและ RS-232	38
2.4.7 การสื่อสารแบบอนุกรม	38
2.4.8 การสื่อสารแบบอะซิงโครนัส	39

เอกสารนี้เป็นเอกสารที่สงวนไว้สำหรับการใช้งานเพื่อการศึกษาเท่านั้น ไม่อนุญาตให้นำไปใช้ประโยชน์ด้านการค้า ไม่ว่ากรณีใดๆ ทั้งสิ้น อีกทั้งห้ามมิให้ดัดแปลงเนื้อหา และต้องอ้างอิงถึงเจ้าของเอกสารทุกครั้งที่มีการนำไปใช้

## สารบัญ (ต่อ)

	หน้า
2.4.9 มาตรฐานพอร์ตอนุกรม RS-232	41
2.4.10 คอนเน็คเตอร์สำหรับพอร์ต RS-232 และการเชื่อมต่อ	42
2.4.11 UART	44
2.4.12 ชนิดของ UART	45
2.5 การแปลงดิจิทัลเป็นอนาล็อก	45
2.5.1 ตัวแปลงดิจิทัลเป็นอนาล็อกแบบทีทีแอล	45
บทที่ 3 การออกแบบและการสร้าง	48
3.1 การออกแบบวงจรเชิงเลขค้ำอุปกรณ์ FPGA	48
3.2 การออกแบบโดยใช้ภาษาอธิบายการทำงานของฮาร์ดแวร์	49
3.2.1 การจำลองการทำงานของวงจร	50
3.2.2 การสังเคราะห์วงจร	50
3.2.3 การแบ่งวงจร	50
3.2.4 การวางอุปกรณ์	51
3.2.5 การเชื่อมต่อสัญญาณ	51
3.2.6 การโปรแกรมอุปกรณ์ FPGA	51
3.3 การออกแบบ	51
3.3.1 การออกแบบ โครงสร้างของ CORDIC Algorithm	52
3.4 การเขียนโปรแกรมวิซวลเบสิกเพื่อใช้งานพอร์ตอนุกรม	54
3.4.1 คอนโทรล MSComm	54
3.4.2 ComPort	54
3.4.3 Setting	55
3.4.4 PortOpen	56
3.5 Direct Digital Frequency Synthesizer	57
3.5.1 การออกแบบ และการสร้าง	59
3.6 การสร้างและการออกแบบ CORDIC	61
3.7 วงจรแปลงระดับแรงดัน	61
3.7.1 หลักการทำงาน	
3.8 วงจรแปลงระดับสัญญาณดิจิทัลเป็นอนาล็อก	62
3.9 การออกแบบวงจรและลายวงจร	63

เอกสารนี้เป็นเอกสารที่สงวนไว้สำหรับการใช้งานเพื่อการศึกษาเท่านั้น ไม่อนุญาตให้นำไปใช้ประโยชน์ด้านการค้า  
ไม่ว่ากรณีใดๆ ทั้งสิ้น อีกทั้งห้ามมิให้ดัดแปลงเนื้อหา และต้องอ้างอิงถึงเจ้าของเอกสารทุกครั้งที่มีการนำไปใช้

## สารบัญ (ต่อ)

	หน้า
บทที่ 4 การทดลองและผลการทดลอง	67
4.1 การจำลองการทำงานส่วนของ CORDIC ด้วย MATLAB	67
4.2 โปรแกรมการใช้งานการเชื่อมต่อผ่านพอร์ตอนุกรมโดยใช้วีซวลเบสิก	68
4.3 การออกแบบวงจรส่วนต่างๆ โดยใช้ภาษา VHDL	72
4.3.1 ส่วนของวงจร DIV 1000	72
4.3.2 ส่วนของวงจร LATCH40	73
4.3.3 ส่วนของวงจร ONEPULSE	74
4.3.4 ส่วนของวงจร SERIAL_COMMUNICATION	75
4.3.5 ส่วนของวงจร PHASE_ACCUMULATION	76
4.3.6 ส่วนของวงจร MUX_OUT	77
4.3.7 ส่วนของวงจร LFSR	78
4.3.8 ส่วนของวงจร DDS	79
4.3.8 ส่วนของวงจร CORDIC	80
4.4 ผลการทดสอบการทำงานของ DDS OSCILLATOR	81
4.4.1 การทดสอบการกำเนิดสัญญาณไซน์ ที่ความถี่ต่างๆ	81
4.4.2 การทดสอบการกำเนิดสัญญาณสามเหลี่ยม ที่ความถี่ต่างๆ	86
4.4.3 การทดสอบการกำเนิดสัญญาณสี่เหลี่ยม ที่ความถี่ต่างๆ	88
4.4.4 การทดสอบการกำเนิดสัญญาณฟันเลื่อย ที่ความถี่ต่างๆ	91
4.4.5 การทดสอบการกำเนิดสัญญาณสุ่ม ที่ความถี่ต่างๆ	95
4.7 ผลการทดสอบการทำงานของ CORDIC OSCILLATOR	96
บทที่ 5 บทสรุปและวิจารณ์	102
ภาคผนวก	
กิตติกรรมประกาศ	
บรรณานุกรม	

เอกสารนี้เป็นเอกสารที่สงวนไว้สำหรับการใช้งานเพื่อการศึกษาเท่านั้น ไม่อนุญาตให้นำไปใช้ประโยชน์ด้านการค้า  
ไม่ว่ากรณีใดๆ ทั้งสิ้น อีกทั้งห้ามมิให้ดัดแปลงเนื้อหา และต้องอ้างอิงถึงเจ้าของเอกสารทุกครั้งที่มีการนำไปใช้

## สารบัญรูป

	หน้า
รูปที่ 2.1 โครงสร้างของตัวกำเนิดไซน์แบบตรง	4
รูปที่ 2.2 โครงสร้างของตัวกำเนิดไซน์แบบคู่ควม	5
รูปที่ 2.3 การหมุนของเวกเตอร์ในพิกัดคาร์ทีเซียน	6
รูปที่ 2.4 ผลการกระทำของค่า $\sigma_i$ ที่เกิดกับค่า $\theta$	9
รูปที่ 2.5 แสดงตำแหน่งของเวกเตอร์ R ในแต่ละพิกัด	13
รูปที่ 2.6 โครงสร้างโดยการต่อชุด CORDIC element(CE) ลำดับกัน	16
รูปที่ 2.7 โครงสร้างแบบวนค่ากลับ	16
รูปที่ 2.8 โครงสร้างของชุดคำนวณ CORDIC หนึ่งชุด	17
รูปที่ 2.9 โครงสร้างของ CORDIC algorithm แบบวนค่ากลับ (loop)	18
รูปที่ 2.10 โครงสร้างของ CORDIC algorithm แบบลำดับ (cascaded)	19
รูปที่ 2.11 แสดงขั้นตอนการออกแบบจากบนลงล่าง	23
รูปที่ 2.12 แสดงโครงสร้างโดยทั่วไปของหน่วยการออกแบบเบนเท็ด	24
รูปที่ 2.13 แสดงรูปแบบของ RS flipflop	25
รูปที่ 2.14 แสดงโครงสร้างโดยทั่วไปของหน่วยการออกแบบสถาปัตยกรรม	26
รูปที่ 2.15 แสดงหน่วยการออกแบบสถาปัตยกรรมของ RS flipflop ตามฟังก์ชันบูลีน $Q = \overline{QB} + R$ และ $\overline{QB} = \overline{Q} + S$	27
รูปที่ 2.16 แสดงโครงสร้างภายในสถาปัตยกรรมของ RS flipflop	27
รูปที่ 2.17 แสดงหน่วยการออกแบบสถาปัตยกรรมของ RS flipflop ในลักษณะโครงสร้าง	28
รูปที่ 2.18 แสดงหน่วยการออกแบบสถาปัตยกรรมของ RS flipflop ในลักษณะพฤติกรรม	28
รูปที่ 2.19 แสดงหน่วยการออกแบบสถาปัตยกรรมของ RS flipflop ในลักษณะผสม	29
รูปที่ 2.20 แสดงโครงสร้างโดยทั่วไปของส่วนการประกาศแพ็กเก็ต	30
รูปที่ 2.21 แสดงโครงสร้างโดยทั่วไปของบอดีแพ็กเก็ต	30
รูปที่ 2.22 แสดงโครงสร้างโดยทั่วไปของหน่วยการออกแบบโครงแบบ	31
รูปที่ 2.23 ตัวอย่างการสื่อสารข้อมูลแบบอะซิงโครนัสจากพอร์ตอนุกรมของเครื่อง PC	36
รูปที่ 2.24 บล็อกหรือเฟรมอักขระของการส่งข้อมูลแบบซิงโครนัสอักขระ	
(ก).รูปแบบของเฟรมอักขระ	37
(ข).เฟรมอักขระ 8 บิต	37
รูปที่ 2.25 เฟรมข้อมูลของการส่งข้อมูลแบบซิงโครนัส	38
รูปที่ 2.26 รูปแบบอย่างง่ายที่สุดของข้อมูลอนุกรม	39
รูปที่ 2.27 รูปแบบอย่างง่ายที่สุดของข้อมูลอนุกรมแบบอะซิงโครนัส	40

เอกสารนี้เป็นเอกสารที่สงวนไว้สำหรับการใช้งานเพื่อการศึกษาเท่านั้น ไม่อนุญาตให้นำไปใช้ประโยชน์ด้านการค้า  
ไม่ว่ากรณีใดๆ ทั้งสิ้น อีกทั้งห้ามมิให้ดัดแปลงเนื้อหา และต้องอ้างอิงถึงเจ้าของเอกสารทุกครั้งที่มีการนำไปใช้

## สารบัญรูป (ต่อ)

	หน้า
รูปที่ 2.28 การจัดขาของคอนเน็คเตอร์อนุกรมตามมาตรฐาน RS-232 ทั้งแบบ DB-9 และ DB-25	
(ก).คอนเน็คเตอร์อนุกรม 9 ขาหรือแบบ DB-9 (มองจากด้านหลังคอมพิวเตอร์)	42
(ข).คอนเน็คเตอร์อนุกรม 25 ขาหรือแบบ DB-25 (มองจากด้านหลังคอมพิวเตอร์)	42
รูปที่ 2.29 การต่ออุปกรณ์ภายนอกกับพอร์ทอนุกรมของคอมพิวเตอร์ในลักษณะต่าง ๆ	
(ก). การต่ออุปกรณ์ภายนอกเข้ากับคอมพิวเตอร์แบบ Null modem	43
(ข). การต่ออุปกรณ์ภายนอกเข้ากับคอมพิวเตอร์แบบ RS-232 โดยใช้สายเพียง 3 เส้น	43
รูปที่ 2.30 การแปลงระดับแรงดัน TTL เป็นระดับ ตีทูเอ	45
รูปที่ 2.31 ตัวแปลงดิจิตอลเป็นอนาล็อก 2R แบบ TTL	46
รูปที่ 2.32 ตัวแปลงดิจิตอลเป็นอนาล็อก 2R แบบ TTL ที่ใช้ควมคุมมอเตอร์เล็ก ๆ	47
รูปที่ 3.1 ลักษณะของ FPGA และการนำไปใช้งาน	48
รูปที่ 3.2 ขั้นตอนการออกแบบโดยใช้อุปกรณ์ FPGA	49
รูปที่ 3.3 ขั้นตอนการทำงานของ ตัวกำเนิดสัญญาณไซน์	51
รูปที่ 3.4 การออกแบบโครงสร้างของ CORDIC Algorithm	52
รูปที่ 3.5 โครงสร้างของ CORDIC ใช้คำนวณ SIN, COS	53
รูปที่ 3.6 แสดง Block Diagram โครงสร้างของวงจรสังเคราะห์ความถี่ที่ใช้หน่วยความจำเป็นค่าขนาดของสัญญาณเอาไว้	57
รูปที่ 3.7 วงจรสร้างสัญญาณไซน์แบบเชิงเลข	57
รูปที่ 3.8 แสดงการกำเนิดสัญญาณไซน์แบบดิจิตอล ที่มีค่า Phase Increment เท่ากับ 55	58
รูปที่ 3.9 Phase Increment เท่ากับ 55	59
รูป.3.10 โครงสร้างการกำเนิดสัญญาณแบบตรง	59
รูปที่ 3.11 แสดงการทำงานของวงจรถ่ายสัญญาณ Sine และ Cosine โดยใช้ CORDIC Algorithm	61
รูปที่ 3.12 วงจรแปลงระดับแรงดัน	62
รูปที่ 3.13 วงจรแปลงระดับสัญญาณดิจิตอลเป็นอนาล็อก	62
รูปที่ 3.14 วงจรรวมของ MAX 232 กับ DAC	63
รูปที่ 3.15 ลายวงจรและการวางอุปกรณ์	65
รูปที่ 3.16 ภาพถ่ายอุปกรณ์และวงจรใช้งานจริง	66
รูปที่ 4.1 ผลการจำลองการทำงานของ CORDIC ในการหาค่า $\cos \theta$ และ $\sin \theta$ โดยใช้ MATLAB	67
รูปที่ 4.2 แสดง เมนูหลัก ของโปรแกรมการใช้งาน Digital Oscillator	68
รูปที่ 4.3 แสดงเมนู ของ Digital Cordic Oscillator	69
รูปที่ 4.4 แสดงเมนู ของ Direct Digital Synthesizer	70
รูปที่ 4.5 แสดงเมนู Project Credits	71

เอกสารนี้เป็นเอกสารที่สงวนไว้สำหรับการใช้งานเพื่อการศึกษาเท่านั้น ไม่อนุญาตให้นำไปใช้ประโยชน์ด้านการค้าไม่ว่ากรณีใดๆ ทั้งสิ้น อีกทั้งห้ามมิให้ดัดแปลงเนื้อหา และต้องอ้างอิงถึงเจ้าของเอกสารทุกครั้งที่มีการนำไปใช้

สารบัญรูป (ต่อ)

	หน้า
รูปที่ 4.6 สัญลักษณ์ของส่วนวงจร DIV 1000	72
รูปที่ 4.7 การจำลองการทำงานของส่วนวงจร DIV 1000	72
รูปที่ 4.8 สัญลักษณ์ของส่วนวงจร LATCH	73
รูปที่ 4.9 ผลการจำลองการทำงานของส่วนวงจร LATCH	73
รูปที่ 4.10 สัญลักษณ์ของส่วนวงจร ONEPULSE	74
รูปที่ 4.11 ผลการจำลองการทำงานของส่วนวงจร ONEPULSE	74
รูปที่ 4.12 สัญลักษณ์ของส่วนวงจร SERIAL_COMMUNICATION	75
รูปที่ 4.13 ผลการจำลองการทำงานของส่วนวงจร SERIAL_COMMUNICATION	75
รูปที่ 4.14 สัญลักษณ์ของส่วนวงจร PHASE_ACCUMULATION	76
รูปที่ 4.15 ผลการจำลองการทำงานของส่วนวงจร PHASE_ACCUMULATION	76
รูปที่ 4.16 สัญลักษณ์ของส่วนวงจร MUX_OUT	77
รูปที่ 4.17 ผลการจำลองการทำงานของส่วนวงจร MUX_OUT	77
รูปที่ 4.18 สัญลักษณ์ของส่วนวงจร LFSR	78
รูปที่ 4.19 ผลการจำลองการทำงานของส่วนวงจร LFSR	78
รูปที่ 4.20 สัญลักษณ์ของส่วนวงจร DDS	79
รูปที่ 4.21 ผลการจำลองการทำงานของส่วนวงจร DDS	79
รูปที่ 4.22 สัญลักษณ์ของส่วนวงจร CORDIC	80
รูปที่ 4.23 ผลการจำลองการทำงานของส่วนวงจรCORDIC	80
รูปที่ 4.24 แสดงสัญญาณขาอินพุตที่ความถี่ต่าง ๆ	85
รูปที่ 4.25 รูปแสดงสัญญาณสามเหลี่ยมที่ความถี่ต่าง ๆ	87
รูปที่ 4.26 แสดงสัญญาณสี่เหลี่ยมที่ความถี่ต่าง ๆ	90
รูปที่ 4.27 แสดงสัญญาณฟันเลื่อยที่ความถี่ต่าง ๆ	94
รูปที่ 4.28 แสดงสัญญาณสุ่ม	95
รูปที่ 4.29 แสดงสัญญาณขาอินพุตที่สร้างจาก CORDIC	101

## สารบัญตาราง

	หน้า
ตารางที่ 2.1 แสดงการคำนวณหาค่าของ sine และ cosine	11
ตารางที่ 2.2 แสดงการคำนวณหาค่า $\tan^{-1}\left(\frac{y_0}{x_0}\right)$	12
ตารางที่ 2.3 แสดงความสัมพันธ์ของฟังก์ชันไฮเพอร์บอลิกในพิกัดต่าง ๆ	14
ตารางที่ 2.4 แสดงค่า $\mathcal{O} = (m, i), k_m$ ในแต่ละพิกัด	15
ตารางที่ 2.5 แสดงบิตพาริตีของข้อมูล	41
ตารางที่ 3.1 การหาค่ามุมจากโครงสร้าง CORDIC	53



### 1.1 ความเป็นมาและความสำคัญของปริณญาณิพนธ์

ปัจจุบันความก้าวหน้าทางด้านเทคโนโลยีไมโครอิเล็กทรอนิกส์ ได้รับการพัฒนาอย่างรวดเร็ว ดังที่ได้เห็นได้ว่ามีวงจรดิจิทัลอิเล็กทรอนิกส์หลายวงจร ที่แต่เดิมถูกสร้างขึ้นจากชิ้นส่วนอุปกรณ์อิเล็กทรอนิกส์จำนวนมาก ถูกนำมาประกอบกันอยู่บนแผงไฟฟ้า (Printed Circuit Board หรือ PCB) ที่มีขนาดใหญ่แต่ในปัจจุบันการออกแบบวงจรทางดิจิทัลจะเป็นการออกแบบในลักษณะที่ใช้ภาษาอธิบายพฤติกรรมของวงจร (Hardware Description Language) ที่เป็นภาษาคอมพิวเตอร์ระดับสูง (High Level Language) เช่นเดียวกับ C หรือ Pascal เรียกว่า Hardware description Language หรือ HDL ช่วยในการออกแบบ เพื่อให้การออกแบบนั้นมีประสิทธิภาพ สะดวก รวดเร็ว แล้วใช้ซอฟต์แวร์สังเคราะห์ลอจิก (Logic Synthesis Tool) แปลงให้เป็นข้อมูลที่สามารรถนำไปโปรแกรมลงในชิปไอซีที่สามารถโปรแกรมได้ เช่น FPGA (Field Programmable Gate Array) เพื่อสร้างเป็นวงจรตามที่ต้องการ

ในปริณญาณิพนธ์นี้ได้นำเอาแนวคิดของ CORDIC (Coordinate Rotation Digital Computer) Algorithm มาศึกษาการทำงาน และประยุกต์ใช้งาน กับวงจรกำเนิดสัญญาณดิจิทัล และสามารถกำเนิดสัญญาณ Sinusoidal ที่มีเฟสต่างกัน 90 องศา (Sine และ Cosine) ได้ในเวลาเดียวกัน แล้วนำไปสร้างฮาร์ดแวร์ ซึ่งใช้การบรรยายพฤติกรรมการทำงานด้วยภาษา VHDL (Very High Speed Integrated Circuit Hardware Description Language) ในการออกแบบ

ในงานด้านสื่อสารโทรคมนาคม ที่มีกรใช้วงจรหรือระบบที่ต้องการที่มีเฟสต่างกัน 90 องศาไปใช้งาน เช่น วงจรมอดูเลเตอร์ แบบ Phase Shift Keying (PSK) หรือแบบ Quadrature Modulation ซึ่งสามารถนำวงจรกำเนิดสัญญาณดิจิทัลที่ใช้โครงสร้างของคอดิกมาใช้ร่วมกับวงจรเหล่านี้ได้ เพื่อลดความยุ่งยากในการออกแบบวงจรแบบเดิม จึงควรมีการศึกษาและพัฒนาอุปกรณ์กำเนิดสัญญาณดิจิทัล ที่มีเฟสและความถี่แบบเที่ยงตรงสูง เพื่อให้การทำงานของระบบมีความเที่ยงตรงสูงเช่นกัน

### 1.2 ความมุ่งหมายและวัตถุประสงค์ของโครงการ

ในโครงการกล่าวถึงการนำคอดิกอัลกอริทึมมาประยุกต์ให้งานร่วมกับวงจรกำเนิดสัญญาณดิจิทัล โดยในการอธิบายพฤติกรรมการทำงานของวงจรด้วยภาษา VHDL (Very High Speed Integrated Circuit Hardware Description Language) การทำโครงการนี้มีจุดประสงค์ดังนี้

1. เพื่อศึกษาทฤษฎีและหลักการทำงานของ CORDIC Algorithm และวงจรกำเนิดสัญญาณดิจิทัล ที่มีโครงสร้างแบบคู่ควบ (Couple Form)
2. เพื่อศึกษารูปแบบการเขียนภาษาวีเอชดีแอลในการออกแบบระบบฮาร์ดแวร์ดิจิทัล ซึ่งเริ่มตั้งแต่การออกแบบ แก๊ไขตรวจสอบ จำลองการทำงาน จนถึงขั้นผลิตวงจรหรือสังเคราะห์วงจร
3. เพื่อศึกษาลักษณะการทำงาน การควบคุมและฟังก์ชันการใช้งานต่าง ๆ ของเอฟพีจีเอ

เอกสารนี้เป็นเอกสารที่สงวนไว้สำหรับการใช้งานเพื่อการศึกษาเท่านั้น ไม่อนุญาตให้นำไปใช้ประโยชน์ด้านการค้าไม่ว่ากรณีใดๆ ทั้งสิ้น อีกทั้งห้ามมิให้ดัดแปลงเนื้อหา และต้องอ้างอิงถึงเจ้าของเอกสารทุกครั้งที่มีการนำไปใช้

4. เพื่อศึกษาโปรแกรมต่าง ๆ ที่ใช้ในการออกแบบฮาร์ดแวร์ดิจิทัล เช่น MAXPLUS+II
5. เพื่อศึกษาการเชื่อมต่อคอมพิวเตอร์กับเอฟพีจีเอผ่านทางพอร์ตอนุกรม
6. สามารถสร้างวงจรกำเนิดสัญญาณชาชนัน



เอกสารนี้เป็นเอกสารที่สงวนไว้สำหรับการใช้งานเพื่อการศึกษาเท่านั้น ไม่อนุญาตให้นำไปใช้ประโยชน์ด้านการค้า  
ไม่ว่ากรณีใดๆ ทั้งสิ้น อีกทั้งห้ามมิให้ดัดแปลงเนื้อหา และต้องอ้างอิงถึงเจ้าของเอกสารทุกครั้งที่มีการนำไปใช้

## บทที่ 2 ทฤษฎีและหลักการ

### 2.1 ทฤษฎีตัวกำเนิดสัญญาณไซน์แบบดิจิทัล

ตัวกำเนิดสัญญาณไซน์แบบดิจิทัลจะอยู่ในรูปแบบจำกัดของ two-pole resonator โดยที่ Complex-conjugate poles จะอยู่บน unit circle โดยเราพิจารณาที่ second-order ของระบบซึ่งมี transfer function

$$H(z) = \frac{b_0}{1 + a_1 z^{-1} + a_2 z^{-2}} \quad (2.1)$$

เพื่อให้ pole ทั้งสองตัววางบนเส้นรอบวงในลักษณะ Complex Conjugate ดังนั้นจึงกำหนดค่า  $a_1$  และ  $a_2$  ดังสมการที่(2.2)

$$a_1 = -2r \cos \omega_0 \quad \text{และ} \quad a_2 = r^2 \quad (2.2)$$

เมื่อแทนค่า  $a_1$  และ  $a_2$  ลงในสมการที่ (2.2) จะทำให้ pole ทั้งสองตัวมีค่าดังสมการที่(2.3)

$$p = r e^{\pm j\omega_0} \quad (2.3)$$

แต่เนื่องจากตัวกำเนิดไซน์จำเป็นต้องวาง pole ทั้งสองตัวอยู่บนเส้นรอบวงของวงกลมรัศมีหนึ่งหน่วย ดังนั้นจะต้องกำหนดค่า  $r = 1$  เมื่อกำหนดให้ input ของระบบเป็น  $\delta(n)$  จะได้ผลตอบสนองทาง Output ดังสมการที่ (2.4)

$$h(n) = \frac{b_0 r^n}{\sin \omega_0} u(n) \sin(n+1)\omega_0 \quad (2.4)$$

กำหนดให้  $b_0 = a \sin \omega_0$  และแทนค่า  $r = 1$  ลงในสมการที่(2.4) จะได้ผลตอบสนอง Output ดังสมการที่ (2.5)

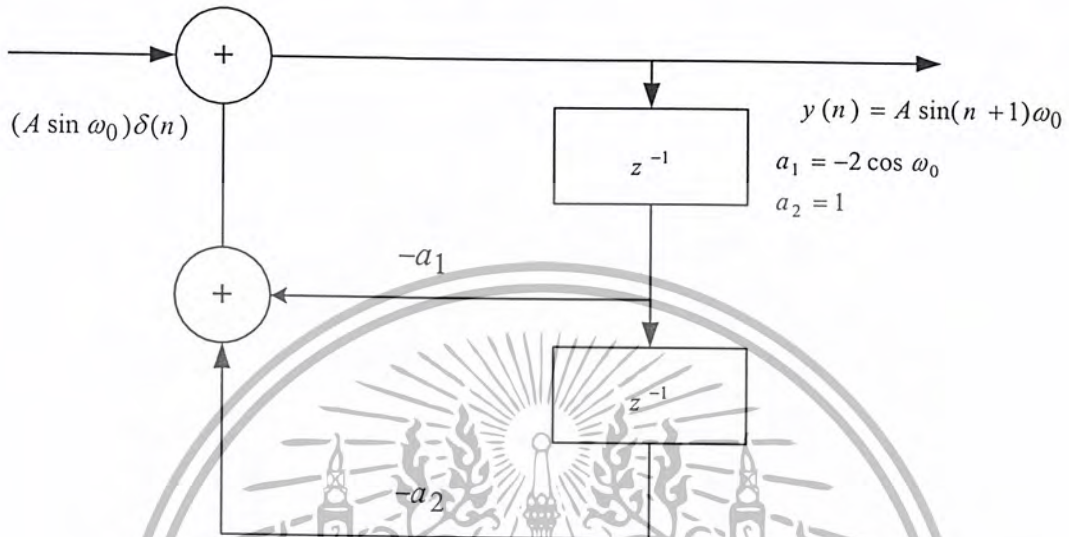
$$h(n) = a \sin(n+1)\omega_0 u(n) \quad (2.5)$$

ดังนั้น impulse response ของระบบ second-order ที่มี pole เป็นคู่ conjugate บน unit circle เป็น sinusoidal และเรียกระบบนี้ว่า Digital Sinusoidal Oscillator หรือ Digital Sinusoidal Generator ตัว Digital Sinusoidal เป็นส่วนประกอบพื้นฐานของ digital frequency synthesizer

เอกสารนี้เป็นเอกสารที่สงวนไว้สำหรับการใช้งานเพื่อการศึกษาเท่านั้น ไม่อนุญาตให้นำไปใช้ประโยชน์ด้านการค้า ไม่ว่ากรณีใดๆ ทั้งสิ้น อีกทั้งห้ามมิให้ตัดแปลงเนื้อหา และต้องอ้างอิงถึงเจ้าของเอกสารทุกครั้งที่มีการนำไปใช้

Block Diagram ของ System Function ของสมการที่ (2.1) แสดงดังรูปที่ 2.1 และสามารถเขียนได้ในลักษณะของสมการ Difference equation ของระบบนี้เป็น

$$y(n) = -a_1 y(n-1) - a_2 y(n-2) + b_0 \delta(n) \quad (2.6)$$



รูปที่ 2.1 โครงสร้างของตัวกำเนิดไซน์แบบตรง

$$h(n) = a \sin(n+1)\omega_0 u(n) \quad (2.7)$$

เมื่อ parameter  $a_1 = -2 \cos \omega_0$  และ  $b = A \sin \omega_0$  และเงื่อนไขเริ่มต้น  $y(-1) = y(-2) = 0$  เพราะฉะนั้นถ้าดูในสมการที่ (2.6) เราจะได้

$$\begin{aligned} y(0) &= A \sin \omega_0 \\ y(1) &= 2 \cos \omega_0 y(0) = 2a \sin 2\omega_0 \cos \omega_0 = A \sin 2\omega_0 \\ y(2) &= 2 \cos \omega_0 y(1) - A \sin \omega_0 \\ &= 2A \cos \omega_0 \sin 2\omega_0 - a \sin \omega_0 \\ &= A(4 \cos^2 \omega_0 \sin \omega_0 - \sin \omega_0) \\ &= A(4 \cos^2 \omega_0 - 1) \sin \omega_0 \\ &= 3A \sin \omega_0 - 4 \sin^3 \omega_0 = A \sin 3\omega_0 \end{aligned}$$

ต่อไปเป็นการประยุกต์ใช้งานโดยหา impulse ที่  $n=0$  จุดประสงค์คือ เป็นการเริ่มต้น Oscillation สัญญาณ sinusoidal หลังจากนั้นจะ Oscillate ด้วยตัวเอง เพราะวาระบบนี้เป็นระบบของ no damping

สิ่งที่เราสนใจคือการ Oscillation สัญญาณ sinusoidal ที่ได้จากระบบนี้ในสมการ(2.6)เพราะได้เงื่อนไขเริ่มต้นจากการที่ set input เป็น 0 โดยเงื่อนไขเริ่มต้น  $y(-1) = 0, y(-2) = -A \sin \omega_0$  ดังนั้น zero input response ของระบบ second-order จะอธิบายโดยสมการ homogeneous difference equation

เอกสารนี้เป็นเอกสารที่สงวนไว้สำหรับการใช้งานเพื่อการศึกษาเท่านั้น ไม่อนุญาตให้นำไปใช้ประโยชน์ด้านการค้า ไม่ว่ากรณีใดๆ ทั้งสิ้น อีกทั้งห้ามมิให้ดัดแปลงเนื้อหา และต้องอ้างอิงถึงเจ้าของเอกสารทุกครั้งที่มีการนำไปใช้

$$y(n) = -a_1 y(n-1) - a_2 y(n-2) \quad (2.8)$$

จากเงื่อนไขเริ่มต้นที่กำหนดมาแล้ว นำไปแทนในสมการ (2.6) แล้วทำการกระตุ้นด้วย impulse ในความเป็นจริง difference equation ในสมการ (2.7) สามารถหาค่าได้โดยตรงจากเอกลักษณ์ตรีโกณมิติ

$$\sin \alpha + \sin \beta = 2 \sin \left( \frac{\alpha + \beta}{2} \right) \cos \left( \frac{\alpha - \beta}{2} \right) \quad (2.9)$$

โดยกำหนดให้  $\alpha = (n+1)\omega_0$ ,  $\beta = (n-1)\omega_0$  และ  $y(n) = \sin(n+1)\omega_0$

ในการประยุกต์ใช้งานการ modulation จะใช้สัญญาณ sinusoidal สองสัญญาณที่มี phase ต่างกัน 90 องศา ซึ่งเราต้องสร้างสัญญาณ sinusoidal นี้คือ  $A \sin \omega_0 n$  และ  $A \cos \omega_0 n$  ซึ่งสร้างจากรูปแบบที่เรียกว่า Coupled-form oscillator ดังนั้นเราจะได้สมการจากสูตรตรีโกณมิติ

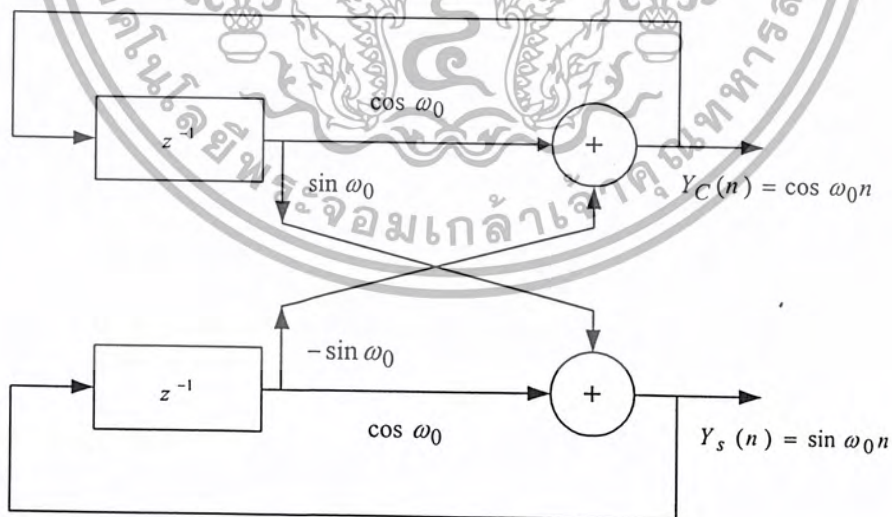
$$\begin{aligned} \cos(\alpha + \beta) &= \cos \alpha \cos \beta - \sin \alpha \sin \beta \\ \sin(\alpha + \beta) &= \sin \alpha \cos \beta + \cos \alpha \sin \beta \end{aligned}$$

กำหนดให้  $\alpha = n\omega_0$ ,  $\beta = \omega_0$

$$y_c(n) = \cos n\omega_0 u(n)$$

$$y_s(n) = \sin n\omega_0 u(n)$$

(2.10)



รูปที่ 2.2 โครงสร้างของตัวกำเนิดไซน์แบบคู่ควบ

เอกสารนี้เป็นเอกสารที่สงวนไว้สำหรับการใช้งานเพื่อการศึกษาเท่านั้น ไม่อนุญาตให้นำไปใช้ประโยชน์ด้านการค้า ไม่ว่ากรณีใดๆ ทั้งสิ้น อีกทั้งห้ามมิให้ตัดแปลงเนื้อหา และต้องอ้างอิงถึงเจ้าของเอกสารทุกครั้งที่มีการนำไปใช้

ดังนั้นเราจะได้สอง Coupled difference equation

$$\begin{aligned} y_c(n) &= (\cos \omega_0)y_c(n-1) - (\sin \omega_0)y_s(n-1) \\ y_s(n) &= (\sin \omega_0)y_c(n-1) - (\cos \omega_0)y_s(n-1) \end{aligned} \quad (2.11)$$

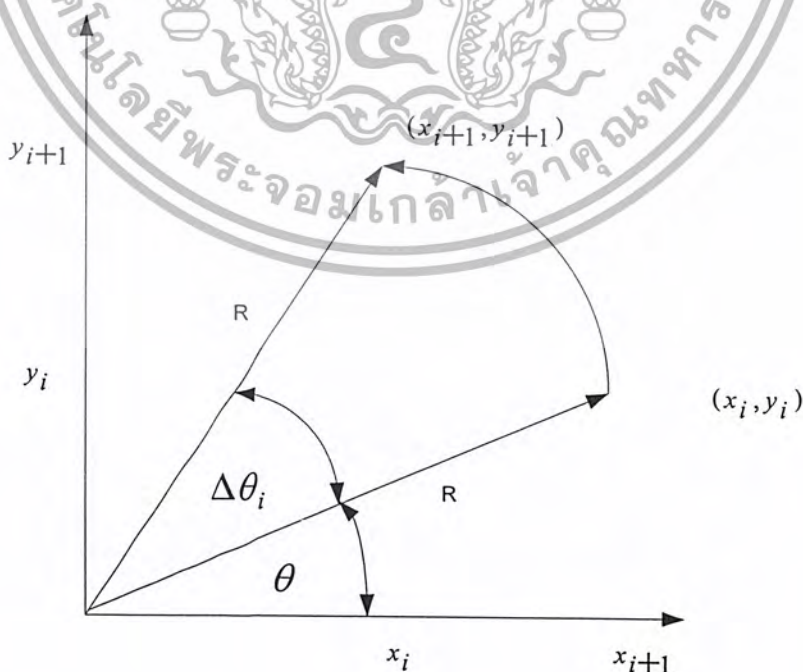
สามารถกระจายอยู่ในรูป Matrix

$$\begin{bmatrix} y_c \\ y_s \end{bmatrix} = \begin{bmatrix} \cos \omega_0 & -\sin \omega_0 \\ \sin \omega_0 & \cos \omega_0 \end{bmatrix} \begin{bmatrix} y_c(n-1) \\ y_s(n-1) \end{bmatrix} \quad (2.12)$$

โครงสร้างของ Coupled-form oscillator ที่สามารถใช้งานได้จริงแสดงดังรูปที่ 2.2 ระบบนี้จะมี 2 output ที่ไม่ต้องมี input ใด ๆ มากระตุ้น แต่เราต้องทำการกำหนดเงื่อนไขค่าเริ่มต้นที่  $y_c(-1) = A \cos \omega_0$  และ  $y_s(-1) = -A \sin \omega_0$  แล้วระบบจะ oscillate ด้วยตัวเอง

## 2.2 CORDIC Algorithm

CORDIC (Coordinate Rotation Digital Computer) เป็นทฤษฎีของการหาค่าในฟังก์ชันในตรีโกณมิติเช่น sine, cosine, tangent, arcsine, arccosine, arctangent เป็นต้น ซึ่งจะทำการคำนวณค่าโดยวิธีการหมุนเวกเตอร์ในระบบของพิกัดคาร์ทีเซียน ซึ่งให้ค่าผลลัพธ์ของขนาดหรือมุมของของเวกเตอร์นั้นๆออกมา การคำนวณจำเป็นต้องมีการกำหนดค่าเริ่มต้นที่ค่าๆหนึ่งแล้วจึงค่อยๆทำการลดค่าหรือวนรอบในการเปลี่ยนแปลงค่าไปเรื่อยๆจนได้ค่าที่ต้องการ โดยจะพิจารณา Vector diagram ดังที่แสดงใน



รูปที่ 2.3

เอกสารนี้เป็นเอกสารที่สงวนไว้สำหรับการใช้งานเพื่อการศึกษาเท่านั้น ไม่อนุญาตให้นำไปใช้ประโยชน์ด้านการค้า ไม่ว่ากรณีใดๆ ทั้งสิ้น อีกทั้งห้ามมิให้ตัดแปลงเนื้อหา และต้องอ้างอิงถึงเจ้าของเอกสารทุกครั้งที่มีการนำไปใช้

จากรูปที่ 2.3 กำหนดให้ R คือขนาดของเวกเตอร์

$\theta$  คือมุมของเวกเตอร์และ  $x, y$  คือตำแหน่งของเวกเตอร์ในพิกัดคาร์ทีเซียน ซึ่งจะได้ความสัมพันธ์คือ

$$\tan \theta = \frac{y_i}{x_i}$$

และ

$$\tan(\theta + \Delta\theta_i) = \frac{y_{i+1}}{x_{i+1}} \quad (2.13)$$

จากเอกลักษณ์ของตรีโกณมิติ

$$\tan(x \pm y) = \frac{\tan x \pm \tan y}{1 \mp \tan x \tan y}$$

เขียนสมการที่ (2.13) ใหม่ได้เป็น



นำ  $\frac{x_i}{y_i}$  คูณเศษและส่วนด้านบนขวาของสมการตลอดแล้วทำการจัดรูปใหม่

$$\frac{y_{i+1}}{x_{i+1}} = \frac{\frac{y_i}{x_i} + \tan \Delta\theta_i}{1 - \left(\frac{y_i}{x_i}\right) \tan \Delta\theta_i}$$

$$\frac{y_{i+1}}{x_{i+1}} = \frac{y_i + x_i \tan \Delta\theta_i}{x_i - y_i \tan \Delta\theta_i} \quad (2.14)$$

พิจารณาเฉพาะขนาดของเวกเตอร์

$$y_{i+1}^2 + x_{i+1}^2 = y_i^2 + x_i^2 \quad (2.15)$$

จาก สมการที่ (2.14) และ (2.15)

$$y_i^2 + x_i^2 = x_{i+1}^2 + y_{i+1}^2 \left[ \frac{y_i + x_i \tan \Delta\theta_i}{x_i - y_i \tan \Delta\theta_i} \right]^2$$

คูณตลอดด้วย  $(x_i - y_i \tan \Delta\theta_i)^2$

$$\begin{aligned} (x_i - y_i \tan \Delta\theta_i)^2 (y_i^2 + x_i^2) &= (x_i - y_i \tan \Delta\theta_i)^2 x_{i+1}^2 + (y_i + x_i \tan \Delta\theta_i)^2 y_{i+1}^2 \\ &= x_{i+1}^2 (x_i^2 + x_i^2 \tan^2 \Delta\theta_i + y_i^2 \tan^2 \Delta\theta_i + y_i^2) \\ &= x_{i+1}^2 (x_i^2 + y_i^2) (1 + \tan^2 \Delta\theta_i) \end{aligned}$$

เอกสารนี้เป็นเอกสารที่สงวนไว้สำหรับการใช้งานเพื่อการศึกษาเท่านั้น ไม่อนุญาตให้นำไปใช้ประโยชน์ด้านการค้าไม่ว่ากรณีใดๆ ทั้งสิ้น อีกทั้งห้ามมิให้ตัดแปลงเนื้อหา และต้องอ้างอิงถึงเจ้าของเอกสารทุกครั้งที่มีการนำไปใช้

$$\therefore x_{i+1} = \frac{x_i - y_i \tan \Delta\theta_i}{\sqrt{1 + \tan^2 \Delta\theta_i}} \quad (2.16)$$

จาก (2.14)

$$y_{i+1} = x_{i+1} \left[ \frac{y_i + x_i \tan \Delta\theta_i}{x_i - y_i \tan \Delta\theta_i} \right]$$

แทน  $x_{i+1}$  จาก (2.16) จะได้

$$\begin{aligned} y_{i+1} &= \frac{x_i - y_i \tan \Delta\theta_i}{\sqrt{1 + \tan^2 \Delta\theta_i}} \left[ \frac{y_i + x_i \tan \Delta\theta_i}{x_i - y_i \tan \Delta\theta_i} \right] \\ &= \frac{y_i - x_i \tan \Delta\theta_i}{\sqrt{1 + \tan^2 \Delta\theta_i}} \end{aligned} \quad (2.17)$$

นำเทอมของส่วนมาพิจารณา

$$\begin{aligned} &= \sqrt{1 + \tan^2 \Delta\theta_i} \\ &= \left( \frac{\cos^2 \Delta\theta_i + \sin^2 \Delta\theta_i}{\cos^2 \Delta\theta_i} \right)^{1/2} \\ &= \left( \frac{1}{\cos^2 \Delta\theta_i} \right)^{1/2} \end{aligned} \quad (2.18)$$

จาก (2.18) เขียนสมการ (2.16) และ (2.17) ใหม่เป็น

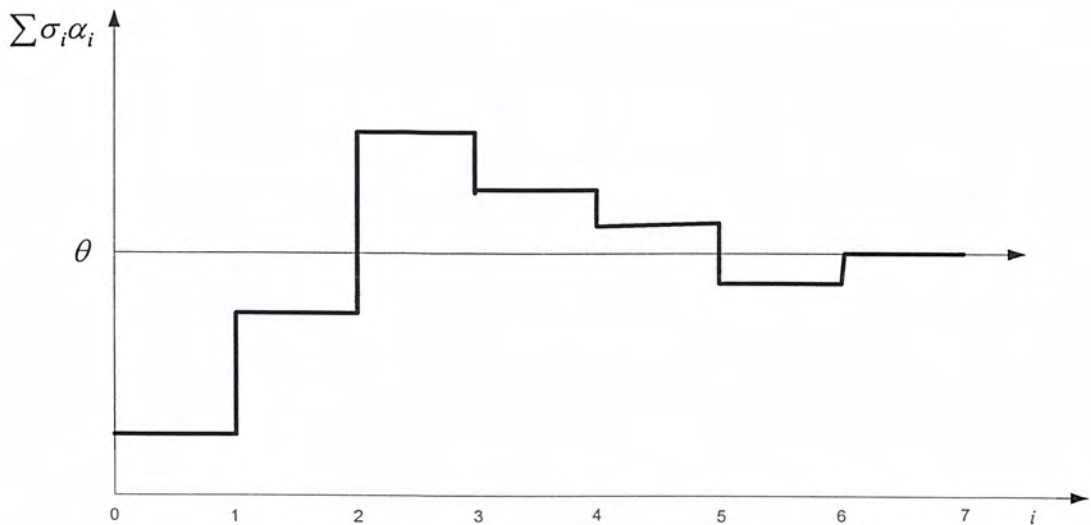
$$\begin{cases} x_{i+1} = x_i \cos \Delta\theta_i - y_i \sin \Delta\theta_i \\ y_{i+1} = y_i \cos \Delta\theta_i + x_i \sin \Delta\theta_i \end{cases} \quad (2.19)$$

เห็นได้ว่าสามารถหาค่าแทนของเวกเตอร์อีกตำแหน่งหนึ่งได้โดยผ่านความสัมพันธ์จากสมการนี้ ซึ่งวิธีการของ CORDIC จะถูกกำหนดค่าการหมุนโดย  $\Delta\theta_i$  และถ้าหากให้ลำดับในการหมุนมีค่าเท่ากับ  $\alpha_i$  โดยมีการหมุนทั้งหมด  $n$  ครั้งและแต่ละครั้งถูกกำหนดเครื่องหมายโดย  $\sigma_i$  ดังนั้นจะทำให้ได้ค่าของ  $\Delta\theta_i$  ตามสมการข้างล่าง

$$\Delta\theta_i = \sum_{i=0}^{n-1} \sigma_i \alpha_i \quad ; \sigma_i \in \{-1, 1\} \quad (2.20)$$

โดยที่  $\sigma_i$  จะมีการเปลี่ยนแปลงตามค่ามุมของแต่ละครั้งที่มีการหมุนเป็นตำแหน่ง  $\alpha_i$  ซึ่งจะขึ้นอยู่กับผลของค่าผลรวมก่อนหน้านั้นเพื่อพิจารณาค่าของ  $\Delta\theta_i$  ไปในทิศทางเดียวโดยเปรียบเทียบกับค่าของ  $\Delta\theta_i$  ดังรูปที่ 2.4

เอกสารนี้เป็นเอกสารที่สงวนไว้สำหรับการใช้งานเพื่อการศึกษาเท่านั้น ไม่อนุญาตให้นำไปใช้ประโยชน์ด้านการค้าไม่ว่ากรณีใดๆ ทั้งสิ้น อีกทั้งห้ามมิให้ตัดแปลงเนื้อหา และต้องอ้างอิงถึงเจ้าของเอกสารทุกครั้งที่มีการนำไปใช้



รูปที่ 2.4 ผลการกระทำของค่า  $\sigma_i$  ที่เกิดกับค่า  $\theta$

จากรูปที่ 2.4 จะเห็นว่าค่าผลรวมของ  $\alpha_i$  ( $\sum \sigma_i \alpha_i$ ) จะมีค่าที่เป็นไปได้ทั้งช่วงที่มากกว่าและน้อยกว่าค่าของมุม  $\theta$  และเมื่อจำนวนค่า  $i$  สูงขึ้นเรื่อยๆ นั่นคือเกิดการหมุนของตำแหน่งเวกเตอร์จำนวนหลายครั้งขึ้นก็จะได้ผลรวมของ  $\alpha_i$  จนเท่ากับค่าของมุม  $\theta$  ซึ่งจะเห็นได้ว่า  $\sigma_i$  แต่ละครั้งเป็นตัวแปรสำคัญที่จะกำหนดให้ค่าผลรวมมีทิศทางเข้าหาค่าของ  $\theta$  และจากวิธีการนี้เองจะได้สมการที่มาช่วยในการพิจารณาเครื่องหมาย(ค่าของ  $\sigma_i$ ) คือ

$$z_{i+1} = z_i - \sum_{i=0}^{n-1} \sigma_i \alpha_i \quad (2.21)$$

โดยที่

$$\sigma_i = \begin{cases} +1 & z_i \geq 0 \\ -1 & z_i < 0 \end{cases} \quad (2.22)$$

พิจารณาจากสมการที่ (2.19) จะเห็นว่าค่าของ  $\Delta\theta_i$  ก็คือ  $\alpha_i$  ที่ตำแหน่ง  $i$  ค่าต่างๆนั้นเองซึ่งสามารถเขียนสมการใหม่ได้เป็น

$$\left. \begin{aligned} x_{i+1} &= x_i \cos \alpha_i - \sigma_i y_i \sin \alpha_i \\ y_{i+1} &= y_i \cos \alpha_i + \sigma_i x_i \sin \alpha_i \end{aligned} \right\} \quad (2.23)$$

เพื่อให้ง่ายต่อการคำนวณจะใช้การประมาณค่าของ  $\tan \alpha_i$  เทียบเทียบกับอนุกรมกำลังของ 2 ดังสมการที่ (2.24)

$$\tan \alpha_i = 2^{-i} \quad ; i = 0, 1, 2, \dots, n-1 \quad (2.24)$$

เอกสารนี้เป็นเอกสารที่สงวนไว้สำหรับการใช้งานเพื่อการศึกษาเท่านั้น ไม่อนุญาตให้นำไปใช้ประโยชน์ด้านการค้าไม่ว่ากรณีใดๆ ทั้งสิ้น อีกทั้งห้ามมิให้ตัดแปลงเนื้อหา และต้องอ้างอิงถึงเจ้าของเอกสารทุกครั้งที่มีการนำไปใช้

จากสมการที่ (2.23) และ (2.24) จะได้ว่า

$$\begin{aligned}x_{i+1} &= \cos \alpha_i [x_i - \sigma_i y_i \tan \alpha_i] \\y_{i+1} &= \cos \alpha_i [y_i + \sigma_i x_i \tan \alpha_i]\end{aligned}$$

ดังนั้น

$$\begin{aligned}x_{i+1} &= k_i [x_i - \sigma_i 2^{-i} y_i] \\y_{i+1} &= k_i [y_i + \sigma_i 2^{-i} x_i]\end{aligned} \quad (2.25)$$

และเมื่อ  $k_i = \cos \alpha_i$  ทำการจัดอยู่ในรูปของเทอม  $2^{-i}$  ได้ดังนี้

$$\begin{aligned}&= \frac{1}{\sqrt{\frac{\cos^2 \alpha_i + \sin^2 \alpha_i}{\cos^2 \alpha_i}}} \\&= \frac{1}{\sqrt{1 + \tan^2 \alpha_i}} \\&= \frac{1}{\sqrt{1 + 2^{-2i}}}\end{aligned}$$

ซึ่งเมื่อกระทำการวนซ้ำหรือหมุนเวกเตอร์ไปแต่ละค่าเรียกค่า  $k_i$  มาแยกพิจารณา ก็จะได้สัมประสิทธิ์ใหม่เป็น

$$k = \prod_{i=0}^{n-1} \frac{1}{\sqrt{1 + 2^{-2i}}} \approx 0.607253 \quad (2.26)$$

ดังนั้น จะพิจารณาเฉพาะเทอมของตัวแปรที่จะนำมาใช้ในการวนซ้ำจากสมการที่ (2.21) และ (2.25) จะเขียนความสัมพันธ์ใหม่ได้เป็น

$$\begin{aligned}x_{i+1} &= x_i - \sigma_i 2^{-i} y_i \\y_{i+1} &= y_i + \sigma_i 2^{-i} x_i \\z_{i+1} &= z_i - \sigma_i \tan^{-1}(2^{-i})\end{aligned} \quad (2.27)$$

ซึ่งจากสมการที่ (2.27) นี้สามารถคำนวณหาค่าผลลัพธ์ที่ต้องการโดยการป้อน  $x_i, y_i$  และ  $z_i$  ที่  $i=0$  เป็นค่าเริ่มต้นให้ระบบโดยที่ค่าของ  $z_0$  จะต้องอยู่ในช่วงของ  $\pm \frac{\pi}{2}$  เท่านั้นซึ่งถ้าค่าของ  $z_0$  นอกเหนือไปจากนี้อาจจะนำคุณสมบัติของตรีโกณมิติมาช่วยดังที่แสดงในสมการที่(2.28)

เอกสารนี้เป็นเอกสารที่สงวนไว้สำหรับการใช้งานเพื่อการศึกษาเท่านั้น ไม่อนุญาตให้นำไปใช้ประโยชน์ด้านการค้าไม่ว่ากรณีใดๆ ทั้งสิ้น อีกทั้งห้ามมิให้ตัดแปลงเนื้อหา และต้องอ้างอิงถึงเจ้าของเอกสารทุกครั้งที่มีการนำไปใช้

$$\begin{aligned}\cos(z \pm 2\pi) &= \cos z, \sin(z \pm 2\pi) = \sin z \\ \cos(z - \pi) &= -\cos z, \sin(z - \pi) = -\sin z\end{aligned}\quad (2.28)$$

เมื่อทำการกำหนดหรือป้อนค่าเริ่มต้นแล้วทำการคำนวณค่าออกมาก็จะได้ผลดังตัวอย่างในตารางที่ 2.1 ซึ่งกำหนดให้  $z_0 = 30^\circ$ ,  $x_0 = k$  และ  $y_0 = 0$

$i$	$\sigma_i$	$x_{i+1} \rightarrow \cos z_0$	$y_{i+1} \rightarrow \sin z_0$	$z_{i+1} \rightarrow 0$
		$k = 0.607253$	0.000000	30.000000
0	1	0.607253	0.607253	-15.00000
1	-1	0.910880	0.303627	11.565051
2	1	0.834973	0.531347	-2.471192
3	-1	0.901391	0.426975	4.653824
4	1	0.874705	0.483312	1.077490
5	1	0.859602	0.510647	-0.712420
6	-1	0.867581	0.497216	0.182754
7	1	0.863697	0.503994	-0.264860
8	-1	0.865666	0.500620	-0.041049

ตารางที่ 2.1 แสดงการคำนวณหาค่าของ sin และ cosine

โดยที่ค่าจริงของ  $\cos 30^\circ = 0.866025$  และ  $\sin 30^\circ = 0.500000$  นอกจากนี้ยังสามารถที่จะหาค่าอื่นๆได้จากการพิจารณาจากผลลัพธ์ของเวกเตอร์ที่ได้จากการหมุนโดยต้องมีตัวใดตัวหนึ่งที่จะถูกนำมาเปรียบเทียบในการพิจารณาเครื่องหมายตัวอย่างเช่น ถ้ากำหนดให้ผลลัพธ์ของ  $y_n = 0$  จะทำให้ได้ผลลัพธ์จากการคำนวณเป็นดังนี้

$$\begin{aligned}x_n &= \sqrt{x_0^2 + y_0^2} \\ y_n &= 0 \\ z_n &= z_0 - \tan^{-1}\left(\frac{y_0}{x_0}\right)\end{aligned}\quad (2.29)$$

เช่นเดียวกันกับวิธีการที่แสดงในตัวอย่างข้างต้นดังตารางที่ 2.1 คือทำการลดค่า  $z_n$  ลงสู่ค่าศูนย์ แต่ในตัวอย่างนี้จะทำการลดค่าของ  $y_n$  ลงแทนดังนั้นเทอมที่จะนำมาใช้ในการพิจารณาเครื่องหมายจะกลายเป็นเทอมของ  $y_i$  ที่ตำแหน่งต่างๆดังสมการ (2.30)

$$\sigma_i = \begin{cases} -1 & y_i \geq 0 \\ +1 & y_i < 0 \end{cases} \quad (2.30)$$

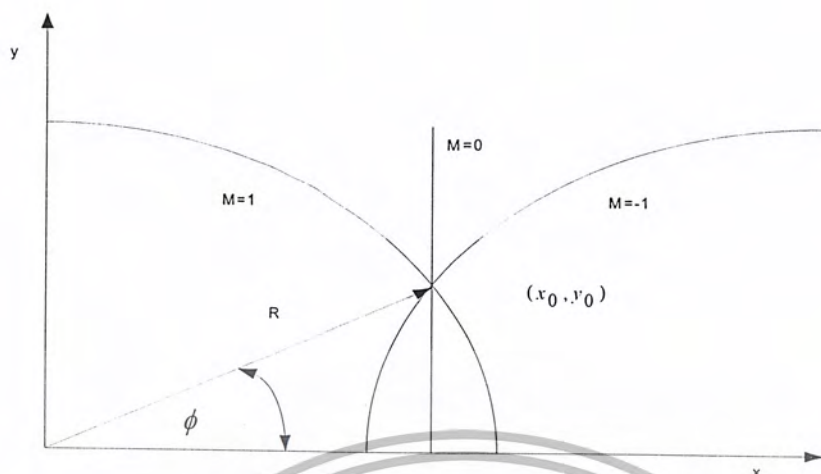
เมื่อทำการกำหนดค่าเริ่มต้นให้ตามสมการที่ (2.30) โดยให้ค่า  $x_0 = 1, y_0 = 0.41421$  และก็จะ  
ได้ผลการคำนวณดังตารางที่ 2.2

$i$	$\sigma_i$	$x_{i+1} = \sqrt{x_0^2 + y_0^2} / k$	$y_{i+1} \rightarrow 0$	$z_{i+1} \rightarrow \tan^{-1}(y_0/x_0)$
		1.000000	0.414210	0.000000
0	-1	1.414210	-0.585790	45.000000
1	1	1.707105	0.121315	18.434949
2	-1	1.737434	-0.305461	32.471192
3	1	1.775617	-0.088282	25.346176
4	1	1.781135	0.022694	21.769842
5	-1	1.781844	-0.032966	23.559752
6	1	1.782359	-0.005125	22.664578
7	1	1.782399	0.008800	22.216964
8	-1	1.782433	0.000184	22.440775

ตารางที่ 2.2 แสดงการคำนวณหาค่า  $\tan^{-1}(y_0/x_0)$

ซึ่งค่าของ  $\tan^{-1} 0.41421 = 22.49983$  จะเห็นได้ว่ายิ่งเพิ่มรอบในการคำนวณมากเท่าใด ค่าที่ได้  
ก็จะใกล้เคียงกับค่าจริงมากขึ้นและยังสามารถนำไปประยุกต์ใช้เพื่อหาค่าอื่นๆในฟังก์ชันตรีโกณมิติได้อีก  
มากมาย

## 2.2.1 การประยุกต์ใช้กับฟังก์ชันไฮเปอร์บอลิก (Hyperbolic Function)



รูปที่ 2.5 แสดงตำแหน่งของเวกเตอร์ R ในแต่ละพิภค

พิจารณาจากรูปที่ 2.5 เป็นการแสดงตำแหน่งของเวกเตอร์ R และมุม  $(\phi)$  ณ จุดของเวกเตอร์  $(x_0, y_0)$  โดยมีตัวแปร  $m$  เป็นตัวกำหนดระบบพิกัดซึ่งจะสามารถเขียนเป็นสมการได้ดังนี้

$$R = \sqrt{x_0^2 + my_0^2} \quad (2.31)$$

$$\phi = \frac{1}{\sqrt{m}} \tan^{-1} \left( \sqrt{m} \frac{y_0}{x_0} \right) \quad (2.32)$$

หรือในทางตรงกันข้ามคือ

$$\begin{aligned} x_0 &= R \cos(\sqrt{m} \phi) \\ y_0 &= \frac{1}{\sqrt{m}} \tan^{-1} \left( \frac{\phi}{\sqrt{m}} \right) \quad \text{โดยที่ } m \in \{1, 0, -1\} \end{aligned} \quad (2.33)$$

ซึ่งจะสามารถแบ่งรูปแบบพิกัดออกเป็น 3 แบบคือฟังก์ชัน ไฮเปอร์บอลิก (Hyperbolic;  $m = -1$ ), เชิงเส้น (Linear;  $m = 0$ ) และวงกลม (Circular;  $m = 1$ ) ดังที่แสดงในรูปที่ 2.6 ดังนั้นในสมการที่ (2.28) สามารถนำมาเขียนความสัมพันธ์ใหม่ได้เป็น

$$\begin{aligned} x_{i+1} &= x_i - m \sigma_i \delta_{m,i} y_i \\ y_{i+1} &= y_i + \sigma_i \delta_{m,i} x_i \\ z_{i+1} &= z_i - \sigma_i \alpha_{m,i} \end{aligned} \quad (2.34)$$

เอกสารนี้เป็นเอกสารที่สงวนไว้สำหรับการใช้งานเพื่อการศึกษาเท่านั้น ไม่อนุญาตให้นำไปใช้ประโยชน์ด้านการค้า ไม่ว่ากรณีใดๆ ทั้งสิ้น อีกทั้งห้ามมิให้ตัดแปลงเนื้อหา และต้องอ้างอิงถึงเจ้าของเอกสารทุกครั้งที่มีการนำไปใช้

โดยที่พารามิเตอร์แต่ละตัวมีค่าดังต่อไปนี้

- $m$  เป็นตัวแปรที่กำหนดพิกัดของระบบที่มีค่าเป็น  $\{1, 0, -1\}$
- $\sigma_i$  ตัวกำหนดทิศทาง(เครื่องหมาย)ของการหมุนแต่ละตำแหน่ง  $\{1, -1\}$
- $\alpha_{m,i}$  มุมที่เปลี่ยนไปที่ค่า  $i$  แต่ละตำแหน่ง
- $\delta_{m,i}$  ค่าของ  $2^{-i}$  ที่จะถูกกำหนดค่า  $i$  ในแต่ละพิกัดต่างๆกัน  $\{0 < \delta_{m,i} \leq 1\}$
- $i$  ตำแหน่งของการหมุน  $\{0, 1, 2, \dots, n-1\}$

ซึ่งในส่วนที่เป็นขนาด(สัมประสิทธิ์ตัวคูณ)และส่วนของมุมแต่ละลำดับในพิกัดต่างๆสามารถจะสรุปความสัมพันธ์ได้ดังนี้

$m$	1	0	-1
$\alpha_{m,i}$	$\tan^{-1} \delta_{1,i}$	$\delta_{0,i}$	$\tanh^{-1} \delta_{-1,i}$
$k_{m,i}^{-1}$	$\sqrt{1 + \delta_{1,i}^2}$	1	$\sqrt{1 - \delta_{-1,i}^2}$

ตารางที่ 2.3 แสดงความสัมพันธ์ของฟังก์ชันไฮเพอร์บอลิกในพิกัดต่างๆ

ดังนั้นในสมการที่ (2.28) และ (2.21) จะถูกนำมาเขียนได้ใหม่ในส่วนของสัมประสิทธิ์ตัวคูณกับผลรวมของมุมหลังการหมุนไปจำนวน  $n$  รอบแล้วได้เป็นดังนี้

$$k_m = \prod_{i=0}^{n-1} k_{m,i} = \prod_{i=0}^{n-1} \frac{1}{\sqrt{1 + m \delta_{m,i}^2}} \quad (2.35)$$

$$\alpha_m = \sum_{i=0}^{n-1} \sigma_i \alpha_{m,i} = \begin{cases} \sum_{i=0}^{n-1} \sigma_i \tan^{-1} \delta_{1,i} & m = 1 \\ \sum_{i=0}^{n-1} \sigma_i \delta_{0,i} & m = 0 \\ \sum_{i=0}^{n-1} \sigma_i \tanh^{-1} \delta_{-1,i} & m = -1 \end{cases} \quad (2.36)$$

จากที่ได้ทราบมาแล้วในตัวอย่างที่แสดงในตารางที่ 2.1 และ 2.2 ซึ่งจะเป็นการหาค่า  $\sin z_0, \cos z_0$  และ  $\tan^{-1} z_0$  ในโหมดของไฮเพอร์บอลิกก็เช่นกันสามารถที่จะกำหนดค่าเริ่มต้นและคำนวณหาผลลัพธ์ได้ด้วยวิธีการเดียวกันนี้ออกจากนี้ยังสามารถนำไปหาค่าของฟังก์ชันพิเศษอื่นๆโดยผ่านความสัมพันธ์ตามสมการที่ (2.25)

เอกสารนี้เป็นเอกสารที่สงวนไว้สำหรับการใช้งานเพื่อการศึกษาเท่านั้น ไม่อนุญาตให้นำไปใช้ประโยชน์ด้านการค้าไม่ว่ากรณีใดๆ ทั้งสิ้น อีกทั้งห้ามมิให้ดัดแปลงเนื้อหา และต้องอ้างอิงถึงเจ้าของเอกสารทุกครั้งที่มีการนำไปใช้

$$e^z = \cosh z + \sinh z$$

$$e^{-z} = \cosh z - \sinh z$$

$$\ln w = 2 \tanh^{-1} \left( \frac{w-1}{w+1} \right)$$

$$\sqrt{w} = \sqrt{\left( w + \frac{1}{4} \right)^2 - \left( w - \frac{1}{4} \right)^2}$$

$$\tan w = \frac{\sin w}{\cos w}$$

$$\tanh w = \frac{\sinh w}{\cosh w} \quad (2.37)$$

และเพื่อให้ง่ายต่อการสร้างของ CORDIC ขั้นตอนการเพิ่มของ  $\delta_{m,i}$  ในแต่ละรอบการคำนวณ จึงพิจารณาในเทอมกำลังของสองคือ

$$\delta_{m,i} = 2^{-s(m,i)} \quad i \in \{0, 1, 2, \dots, n-1\} \quad (2.38)$$

ในส่วนของ  $\delta_{m,i}$  ก็จะมีค่าแตกต่างกันไปตามระบบของพิกัดนั้นๆ ซึ่งในกรณีของไฮเปอร์บอลิกจะทำการคำนวณซ้ำที่  $i = 4, 13, 40, \dots, k, 3k+1$  จึงจะให้ค่าที่ใกล้เคียงความจริงและ  $\tanh^{-1}(2^0)$  จะไม่มีในข้อกำหนด(หาค่าไม่ได้)ดังนั้นสำหรับที่ค่า  $m = -1$  จึงเริ่มที่  $i = 1$  ในตารางข้างล่างนี้จะแสดงตัวอย่างของค่า  $\delta = (m,i)$  ในแต่ละพิกัดและค่า  $k_m$  ที่จะได้ดังนี้

$m$	$s(m,i)$	$k_m$
1	0, 1, 2, 3, 4, 5, ..., $i, \dots$	0.607253
0	1, 2, 3, 4, 5, 6, ..., $i+1, \dots$	1.000000
-1	1, 2, 3, 4, 4, 5, ..., 12, 13, 13, 14, ...	1.207497

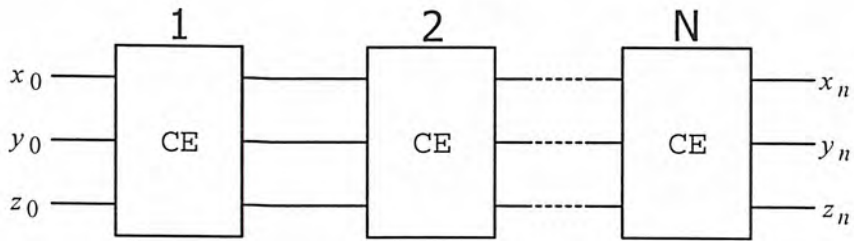
ตารางที่ 2.4 แสดงค่า  $\delta = (m,i)$ ,  $k_m$  ในแต่ละพิกัด

## 2.2 โครงสร้างทางฮาร์ดแวร์ของ CORDIC algorithm

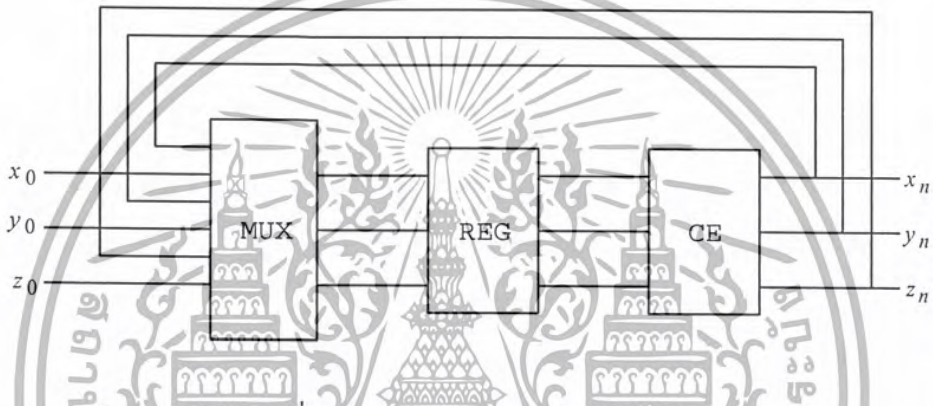
หลักการของ CORDIC algorithm จะสามารถนำไปสร้างเป็นชุดคำนวณของสมการ CORDIC แต่ละชุดต่อกันเป็นจำนวน  $n$  ลำดับซึ่งถ้าพิจารณาตามสมการที่ (2.22) จะเห็นว่าแต่ละชุดจะต้องมีการกำหนดค่าที่ต้องการหา, ค่าตัวแปรที่กำหนดพิกัดของระบบ ( $m$ ) และระดับของตำแหน่งค่า  $i$

เอกสารนี้เป็นเอกสารที่สงวนไว้สำหรับการใช้งานเพื่อการศึกษาเท่านั้น ไม่อนุญาตให้นำไปใช้ประโยชน์ด้านการค้าไม่ว่ากรณีใดๆ ทั้งสิ้น อีกทั้งห้ามมิให้ดัดแปลงเนื้อหา และต้องอ้างอิงถึงเจ้าของเอกสารทุกครั้งที่มีการนำไปใช้

ในรูปที่ 2.6 จะแสดงลำดับของชุดการคำนวณ CORDIC แต่ละชุดหรือฮาร์ดแวร์อาจจะมีการสร้างในลักษณะที่เป็นแบบวนค่าในการคำนวณดังเช่นในรูปที่ 2.7

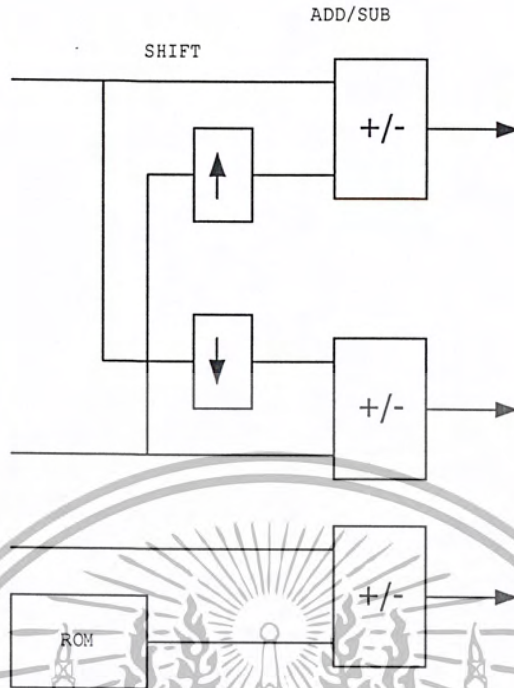


รูปที่ 2.6 โครงสร้างโดยการต่อชุด CORDIC element(CE) ลำดับกัน



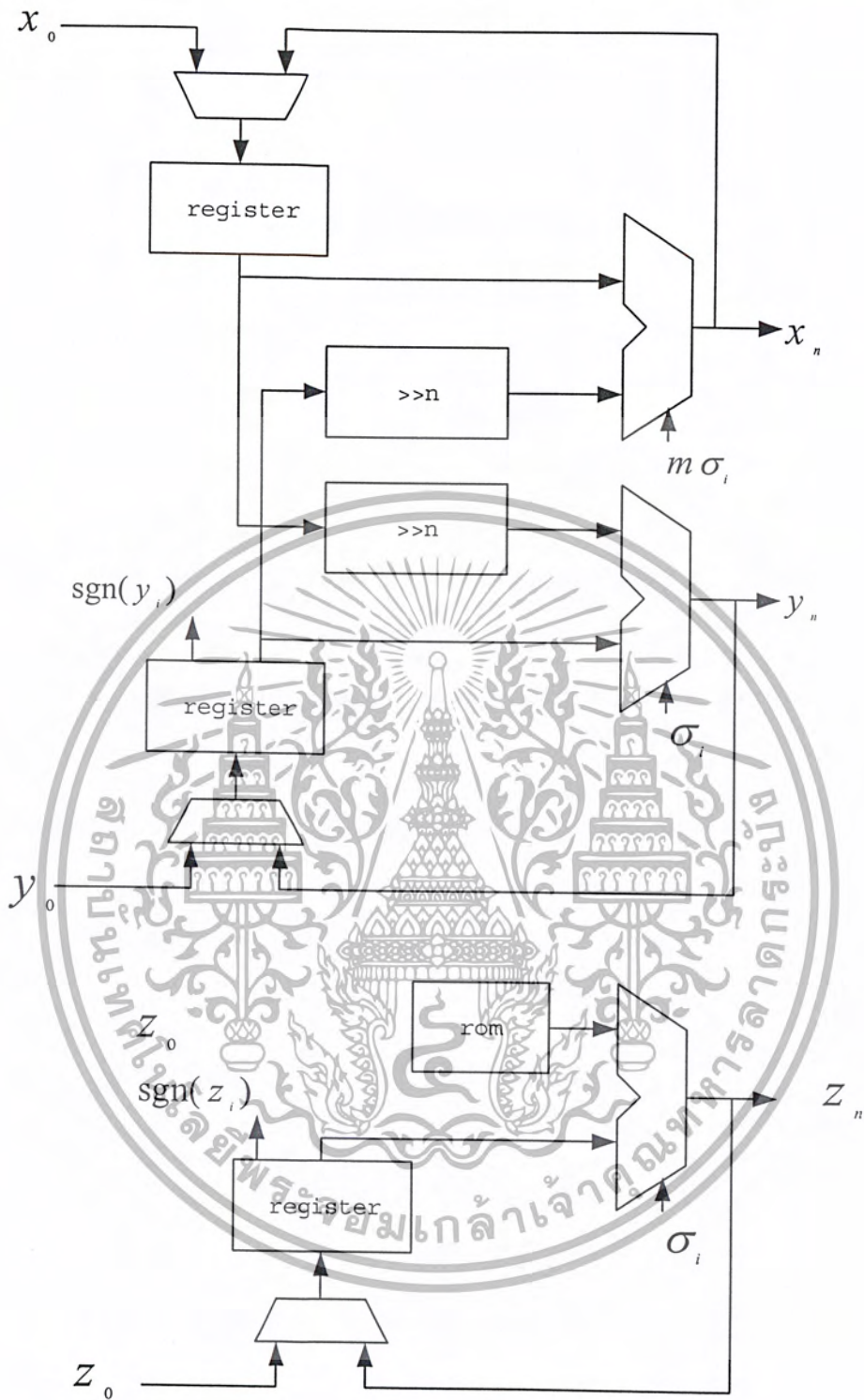
รูปที่ 2.7 โครงสร้างแบบวนค่ากลับ

ส่วนของการสร้างชุดคำนวณของสมการ CORDIC แต่ละชุดนั้นจะพิจารณาการคำนวณในรูปของเลขฐานสอง(binary)ซึ่งจากสมการที่ (2.27) จะเห็นว่าแต่ละสมการจะมีเทอมของการบวกและลบ (adder and subtracter) อยู่สองเทอมใหญ่ๆและส่วนของเทอมย่อยจะมีการคูณของตัวแปรเกิดขึ้นซึ่งตัวแปร  $\sigma_i$  และ  $m$  จะเป็นตัวแปรที่กำหนดเครื่องหมายและในระบบเลขฐานสองการเปลี่ยนเครื่องหมายจะใช้วิธีการทำ two's complement ดังนั้นชุดนี้จึงเพียงแค่เปรียบเทียบเครื่องหมายและส่งไปควบคุมการทำ two's complement ส่วนอีกตัวแปรคือ  $\delta_{m,i}$  ซึ่งก็คือค่าของ  $2^{-i}$  โดยที่ค่าของ  $i$  จะมีค่าแตกต่างกันไปตามระบบพิกัดที่ทำการคำนวณ แต่อย่างไรก็ตามเมื่อพิจารณาในระบบเลขฐานสองแล้วจะเห็นว่าค่าของ  $2^{-i}$  ก็คือการเลื่อน(shift)ไปทางด้านขวามือเป็นจำนวน  $i$  ตำแหน่งนั่นเองซึ่งหมายความว่าค่าของ  $x_i$  และ  $y_i$  ในสมการที่ (2.28) ที่ถูกคูณอยู่กับตัวแปรเหล่านี้จะไม่ถูกนำเข้าวงจรคูณ โดยตรงแต่จะทำการเลื่อนและทำ two's complement ค่าต่างๆแทนซึ่งนับเป็นข้อดีของ CORDIC algorithm ดังนั้นสามารถเขียนโครงสร้างในส่วนของการคำนวณ CORDIC แต่ละชุดได้ดังรูปที่ 2.8



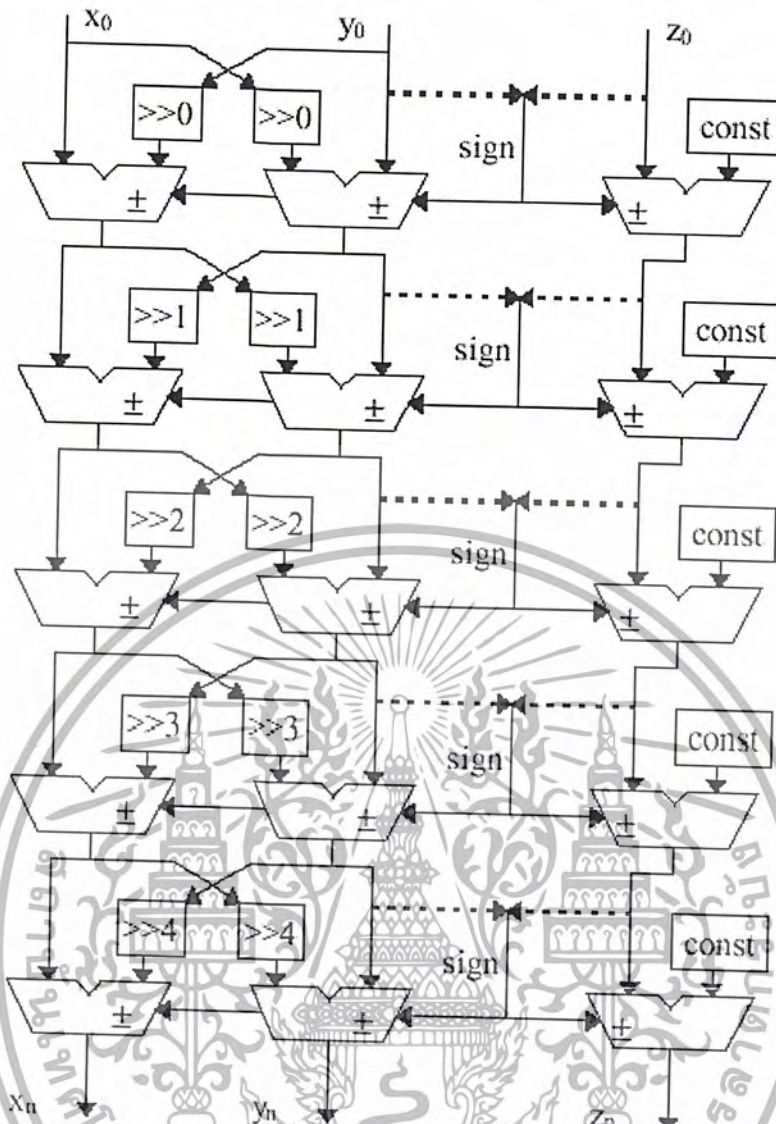
รูปที่ 2.8 โครงสร้างของชุดคำนวณ CORDIC หนึ่งชุด

โดยที่ ROM จะเป็นตัวเก็บค่าของ  $\tan^{-1} \frac{1}{2^i}$  ที่  $i = 0, 1, 2, 3, \dots, N$  ตามจำนวนชุดการคำนวณ



รูปที่ 2.9 โครงสร้างของ CORDIC algorithm แบบวนค่ากลับ (loop)

เอกสารนี้เป็นเอกสารที่สงวนไว้สำหรับการใช้งานเพื่อการศึกษาเท่านั้น ไม่อนุญาตให้นำไปใช้ประโยชน์ด้านการค้า ไม่ว่ากรณีใดๆ ทั้งสิ้น อีกทั้งห้ามมิให้ดัดแปลงเนื้อหา และต้องอ้างอิงถึงเจ้าของเอกสารทุกครั้งที่มีการนำไปใช้



รูปที่ 2.10 โครงสร้างของ CORDIC algorithm แบบลำดับ (cascade)

ในรูปที่ 2.9 และ 2.10 เป็นตัวอย่างแสดงโครงสร้างของ CORDIC algorithm ที่จะถูกสร้างในการนำไปใช้งานจริงซึ่งในรูปจะแสดงในส่วนที่เป็นโครงสร้างของการคำนวณเท่านั้นและสามารถที่จะเพิ่มหรือลดจำนวนรอบการทำงานได้ตามความเหมาะสมทั้งนี้ทั้งนั้นการเปลี่ยนแปลงดังกล่าวก็จะมีผลต่อจำนวนอุปกรณ์ที่นำมาใช้สร้างเป็นฮาร์ดแวร์และความแม่นยำในการคำนวณเป็นต้น ดังนั้นจึงควรพิจารณาเลือกออกแบบใช้งานให้เหมาะสม

## 2.3 การเขียนภาษา VHDL

### 2.3.1 Terminology and Convention

การเขียนรูปแบบของระบบดิจิทัลด้วยภาษา VHDL นั้น จะมีศัพท์เทคนิคเฉพาะ ฉะนั้นในส่วนนี้ จะเป็นการบรรยาย และอธิบายศัพท์บางคำที่จะต้องพบในรายงานชุดนี้

ลักษณะของรูปแบบ ( modal styles ) : ลักษณะการเขียนรูปแบบ ( model ) ด้วยภาษา VHDL สามารถแบ่งได้เป็น

- Behavioral Model : หรือที่เรียกอีกอย่างว่า algorithmic description เป็นรูปแบบที่บรรยายพฤติกรรมของระบบดิจิทัล ในส่วนที่บรรยายมีโครงสร้างคล้ายกับภาษาชั้นสูง ( high level language ) ทั่วไป เช่น PASCAL หรือ C เป็นต้น ในการจำลองการทำงาน ( simulation ) คำสั่งแต่ละคำสั่ง ( statement ) จะถูกประเมินผลเป็นไปตามลำดับ ( sequential ) จากบนลงล่าง ยกเว้นในกรณีของคำสั่ง LOOP หรือการใช้โปรแกรมย่อยรูปแบบลักษณะนี้จะไม่ให้รายละเอียดที่เกี่ยวกับการผลิต หรือโครงสร้างของ Hardware แต่ในทางตรงข้ามที่รายละเอียดเกี่ยวกับความสัมพันธ์ระหว่าง input กับ output ที่ดี

- Dataflow Model : เรียกอีกอย่างหนึ่งได้ว่า “ Register transfer level ” ( RTL ) เป็นรูปแบบที่ถูกเขียนขึ้น เพื่อจุดประสงค์ที่จะใช้เป็นเครื่องมือสำหรับสังเคราะห์วงจรรีเลย์อินทรีย์ รูปแบบลักษณะนี้ส่วนใหญ่จะเป็น procedural constructs และ functional operators

- Structural Model : เป็นรูปแบบที่แสดงการเชื่อมต่อกันระหว่างอุปกรณ์ต่างๆ ที่ประกอบกันขึ้นเป็นวงจรหรือระบบดิจิทัล และสามารถเรียกอีกอย่างได้ว่า “ netlist representation ” เป็นการเขียนที่แสดงให้เห็นโครงสร้างของ hardware

- Mixed - Level Model : จากคุณสมบัติที่อ่อนตัวของภาษา VHDL จึงสามารถที่จะเขียนรูปแบบโดยใช้ลักษณะต่างๆ บรรยายวงจรหรือระบบดิจิทัลเดียวกันได้ ฉะนั้นรูปแบบเช่นนี้จึงมีการเขียนแบบผสม

Concurrency ในภาษา VHDL นั้น ชุดคำสั่งจะทำงานในเวลาเดียวกันและอิสระต่อกัน ลักษณะเช่นนี้เป็นคุณสมบัติที่เป็นความจริงทางฟิสิกส์ของวงจรรีเลย์อินทรีย์ ชุดคำสั่งนี้เรียกว่า “ concurrent statement ” และจะทำงานก็ต่อเมื่อมีการเปลี่ยนแปลงค่าของสัญญาณ

Sequential : นอกจากความสามารถที่ชุดคำสั่งจะทำงานแบบ concurrent แล้วบางครั้งการเขียนรูปแบบในลักษณะที่บรรยายพฤติกรรมของวงจร มีความจำเป็นที่จะต้องให้ชุดคำสั่งทำงานเป็นลำดับขั้นเรียงกันจากบนลงล่าง อย่างเช่นการเขียนแบบ behavioral model เป็นต้น ชุดคำสั่งที่เป็น sequential นี้จะใช้ในโปรแกรมย่อย ( subprogram ) และ process statement

Driver : สัญญาณต่างๆ ( signal ) ใน VHDL นั้นจะถูกควบคุมด้วยตัวขับหรือ “ driver ” สัญญาณเหล่านี้จะรับค่าใหม่ ( ระดับของสัญญาณ ) ได้ด้วยตัวขับนี้เอง

Transaction : การเกิด transaction กับ signal นั้นจะเกิดขึ้นเมื่อมีการกำหนดค่าหนึ่งให้กับ signal นั้น ค่าใหม่ที่ signal ได้รับอาจจะมีผลหรือไม่มีผลทำให้เกิดการเปลี่ยนแปลงของระดับสัญญาณ ( event ) เช่นการเปลี่ยนจากค่า logic ‘0’ เป็นค่า logic ‘1’ เป็นต้น

เอกสารนี้เป็นเอกสารที่สงวนไว้สำหรับการใช้งานเพื่อการศึกษาเท่านั้น ไม่อนุญาตให้นำไปใช้ประโยชน์ด้านการค้าไม่ว่ากรณีใดๆ ทั้งสิ้น อีกทั้งห้ามมิให้ตัดแปลงเนื้อหา และต้องอ้างอิงถึงเจ้าของเอกสารทุกครั้งที่มีการนำไปใช้

Event : คือการเปลี่ยนระดับค่าของ SIGNAL จากระดับหนึ่งไประดับอื่น อย่างเช่น ในระบบดิจิทัลการเปลี่ยนจาก Logic '0' เป็นค่า Logic '1' หรือในทางตรงกันข้ามถือว่า SIGNAL นั้นเกิด "event" ฉะนั้นจะเห็นได้ว่า การที่จะเกิด event ได้นั้นจะต้องเกิด transaction ไม่จำเป็นต้องเกิด event ทุกครั้ง

Sensitivity List : คือรายชื่อของ signal ต่างๆ ที่มีผลทำให้เกิดการทำงานของ concurrent statement เมื่อเกิด event ขึ้นกับ signal ตัวใดตัวหนึ่งหรือหลายตัวพร้อมกันในรายชื่อนั้น

- Object : ในภาษานั้นคำว่า ใช้เขียนเพื่อบ่งบอกถึงองค์ประกอบส่วนหนึ่งของรูปแบบ ซึ่งเปรียบได้เหมือนกับภาษาที่มีไว้สำหรับบรรจุค่าต่างๆ สามารถแบ่งออกได้เป็นสามชั้น ( class ) ด้วยกันคือ

CONSTANT : ได้แก่ object ประเภทหนึ่งที่มีเมื่อกำหนดค่าเริ่มต้นให้แล้วจะคงค่านั้นไว้ตลอด ไม่สามารถดัดแปลงหรือแก้ไขได้ สามารถประกาศใช้ได้ในส่วนประกาศต่างๆ ของรูปแบบ ( model )

SIGNAL : หมายถึง object ประเภทหนึ่งที่สามารถกำหนดค่าที่สัมพันธ์กับเวลาให้ได้นั้น หมายความว่า SIGNAL สามารถรับค่าได้เพียงค่าเดียวเท่านั้นในขณะเวลาหนึ่ง SIGNAL จะรับค่าๆหนึ่งได้จากขั้วสัญญาณหรือ driver ซึ่งตัวขั้วนี้อาจจะเก็บค่าในขนาดสำหรับ SIGNAL ไว้ด้วย SIGNAL สามารถประกาศใช้ได้ในส่วนที่เป็น sequential body เท่านั้น ดังนั้น SIGNAL จึงสามารถถูกนำไปใช้ตลอดโครงสร้างของรูปหรือที่เรียกว่า global object

VARIABLE : หรือตัวแปรได้แก่ object ที่สามารถกำหนดค่าใด ๆ ให้ได้และสามารถที่จะเปลี่ยนแปลงค่าได้ตลอดการจำลองการทำงาน แต่จะเก็บค่าเพียงค่าเดียวเท่านั้นในขณะเวลาหนึ่ง เนื่องจาก VARIABLE สามารถประกาศใช้ได้ในส่วนที่เป็น sequential body เท่านั้นอันได้แก่ส่วนประกอบของ PROCESS, FUNCTION หรือ PROCEDURE ดังนั้น VARIABLE จึงสามารถนำไปใช้ได้เฉพาะในขอบเขตที่ถูกประกาศใช้เท่านั้น (local object)

- ประเภทของ object ที่กำหนดไว้แล้ว (predefined type) : ได้แก่ TYPE ที่กำหนดไว้ใน package ชื่อ STANDARD และกำหนดโดย IEEE ว่าจะต้องมีในระบบที่ใช้พัฒนา VHDL ฉะนั้นจึงไม่จำเป็นต้องประกาศใช้ในทุกรูปแบบที่เขียนขึ้น TYPE ประเภทนี้ได้แก่

- 1) BOOLEAN คือกลุ่มของค่า FALSE และ TRUE
- 2) BIT คือกลุ่มของค่า '0' และ '1'
- 3) INTEGER คือกลุ่มของค่า -2147483647 ถึง 2147483647
- 4) REAL คือกลุ่มของค่า -1.0E38 ถึง 1.5E38
- 5) CHARACTER คือกลุ่มของค่าพัญชนะ 'A' - 'Z', 'a' - 'z' อักษรหรือเครื่องหมายพิเศษ และตัวอักษรควบคุม
- 4) TIME ได้แก่หน่วยเวลาที่มีค่าพื้นฐานเป็นวินาที (second ย่อด้วย s หรือ S)
- 5) SEVERITY LEVEL คือกลุ่มของค่า NOTE, WARNING, ERROR, FAILURE ส่วนต่างในการเขียน VHDL

เอกสารนี้เป็นเอกสารที่สงวนไว้สำหรับการใช้งานเพื่อการศึกษาเท่านั้น ไม่อนุญาตให้นำไปใช้ประโยชน์ด้านการค้าไม่ว่ากรณีใดๆ ทั้งสิ้น อีกทั้งห้ามมิให้ดัดแปลงเนื้อหา และต้องอ้างอิงถึงเจ้าของเอกสารทุกครั้งที่มีการนำไปใช้

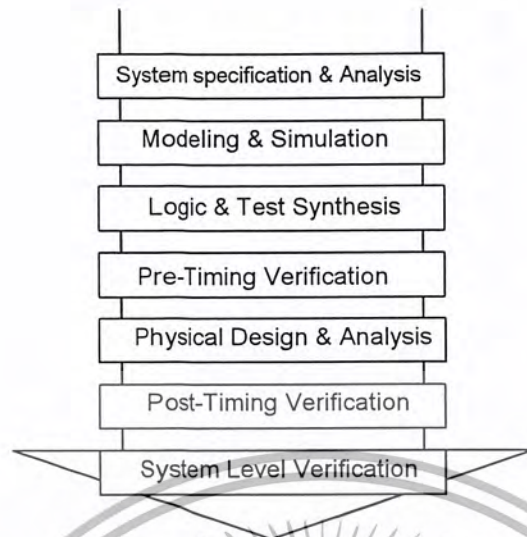
การเขียนรูปแบบหรือ modeling ด้วยภาษา VHDL มีความจำเป็นที่จะต้องแนะนำให้ผู้รู้จักกับส่วนต่าง ๆ ของแบบ (design units) ที่ใช้ภาษาเสียก่อน และนี่ก็เป็นขั้นตอนแรกที่สำคัญที่สุดของการศึกษาศึกษาเรียนรู้การใช้ภาษา VHDL เขียนรูปแบบบรรยายระบบดิจิทัลในมุมมองของการออกแบบลักษณะ Top-Down Design นอกจากนั้นการที่จะเข้าใจในเรื่องของโครงสร้าง และส่วนต่าง ๆ ของรูปแบบ VHDL ให้ถูกต้องเสียก่อน

การออกแบบวงจรเชิงเลข (Digital Circuit) นั้น ในปัจจุบันก้าวหน้าไปอย่างมากโดยการใช้ภาษาบรรยายการทำงานของวงจร (Hardware Description Language : HDL) ซึ่งเป็นภาษาที่ใช้สำหรับออกแบบฮาร์ดแวร์ โดยภาษาที่เป็นมาตรฐานสากลเช่น Verilog หรือ VHDL (VHSIC Hardware Description Language (VHSIC : Very High Speed Integrated Circuit)) หรือภาษาที่ไม่เป็นมาตรฐานเช่น AHDL (Altera Hardware Description Language) หรือ PHDL (Philips Hardware Description Language) เป็นต้น มาบรรยายการทำงานของวงจรที่ได้ออกแบบไว้ ซึ่งในวิทยานิพนธ์นี้ได้ใช้ภาษา VHDL มาทำการออกแบบวงจร Digital Oscillator ทำให้ลดความยุ่งยากในการนำเอาอุปกรณ์มาเชื่อมต่อให้เป็นวงจร รวมทั้งลดเวลาที่ใช้ในการออกแบบและทดสอบการทำงาน ซึ่งมีความแตกต่างเป็นอย่างมากเมื่อเปรียบเทียบกับกรออกแบบในอดีตที่ผ่านมา คือผู้ออกแบบจะต้องนำเอาอุปกรณ์แต่ละตัวที่ทำกรออกแบบไว้ มาทำการต่อทดสอบในแผงวงจรจริง และทำการทดสอบวงจรเพื่อหาข้อผิดพลาด ซึ่งต้องใช้เวลาานกับการแก้ปัญหาแต่ละอย่างที่เกิดขึ้น แต่ในการออกแบบด้วยภาษา VHDL ผู้ออกแบบเพียงแต่เขียนซอร์สโค้ด (Source Code) บรรยายการทำงานของวงจร หลังจากนั้นก็ทำการคอมไพล์ (Compile) แล้วจำลองการทำงาน (Simulate) ดูว่า ได้ฟังก์ชันการทำงานและไทม์มิ่ง (Timing)ตามที่ต้องการหรือไม่จากนั้นก็นำซอร์สโค้ดที่ได้ไปทำการสังเคราะห์ด้วย โปรแกรมสังเคราะห์ (Synthesis Tool) สุดท้ายนำวงจรที่ได้จากการสังเคราะห์ไปทำการแมป (Map) ลงไปยัง FPGA (Field Programmable Gate Array) เพื่อเป็นชิป (Chip) ต้นแบบสำหรับนำไปทดสอบการทำงาน

### 2.3.2 การออกแบบจากบนลงล่าง

ในการพัฒนางจรรวมเชิงเลขขนาดใหญ่ที่มีความซับซ้อน ผู้ออกแบบมักจะมองกรออกแบบให้อยู่ในรูปของบล็อกไดอะแกรมก่อน จากนั้นจึงวิเคราะห์ให้ลึกถึงรายละเอียดต่อไป ซึ่งภาษา VHDL นั้นอนุญาตให้อธิบายการทำงานของแต่ละบล็อก และวิเคราะห์การทำงาน แก้ไขและปรับปรุงการทำงานจากผลที่วิเคราะห์ เพื่อให้ได้กรทำงานตามที่ต้องการโดยการออกแบบในลักษณะนี้เรียกว่า หลักการออกแบบจากบนลงล่าง (Top-Down Design) ซึ่งถ้าเปรียบเทียบกับกรออกแบบจากล่างขึ้นบน (Bottom-Up Design) จะเห็นได้ว่ากรออกแบบจากล่างขึ้นบนจะใช้เวลาในการออกแบบมากกว่าเพราะเป็นการวาดวงจรด้วยอุปกรณ์ต่างๆ (Schematic Capture) ที่ประกอบกันเข้าเป็นวงจรที่ต้องการออกแบบ จำลองกรทำงาน ตรวจสอบความถูกต้อง ซึ่งใช้เวลามาก และถ้าวจรที่ต้องการออกแบบมีความซับซ้อนก็จะเป็นเรื่องที่ยากมากในการออกแบบลักษณะนี้ ดังนั้นการใช้ภาษา VHDL กับหลักการออกแบบจากบนลงล่างจึงเป็นวิธีการที่เหมาะสมสำหรับการออกแบบและพัฒนางจรที่มีความซับซ้อนมากขึ้น ทั้งยังช่วยลดเวลาและค่าใช้จ่ายในการออกแบบ

เอกสารนี้เป็นเอกสารที่สงวนไว้สำหรับการใช้งานเพื่อการศึกษาเท่านั้น ไม่อนุญาตให้นำไปใช้ประโยชน์ด้านการค้าไม่ว่ากรณีใดๆ ทั้งสิ้น อีกทั้งห้ามมิให้ดัดแปลงเนื้อหา และต้องอ้างอิงถึงเจ้าของเอกสารทุกครั้งที่มีการนำไปใช้



รูปที่ 2.11 แสดงขั้นตอนการออกแบบจากบนลงล่าง

จากรูปที่ 2.11 แสดงให้เห็นถึงขั้นตอนการออกแบบจากบนลงล่างทั้งนี้ในทางปฏิบัติอาจจะมีข้อแตกต่างไปจากนี้บ้างเล็กน้อย โดยขั้นตอนของการออกแบบจากบนลงล่างมีรายละเอียด ดังนี้

1. ขั้นตอนการสร้างข้อกำหนดของความต้องการ และวิเคราะห์ระบบ เพื่อหาแนวความคิดและหลักการ (Idea and Concept) ในการแก้ปัญหา
2. ขั้นตอนการเขียนรูปแบบของระบบที่ต้องการออกแบบโดยใช้ภาษา VHDL สำหรับ บรรยายพฤติกรรมการทำงานพร้อมทั้งจำลองการทำงานเพื่อเปรียบเทียบและตรวจสอบความถูกต้องกับข้อกำหนด
3. ขั้นตอนการสังเคราะห์ซึ่งจะต้องทำการกำหนดเทคโนโลยีที่จะมารองรับวงจรที่ออกแบบและอุปกรณ์อิเล็กทรอนิกส์ หรือวงจรในระบบช่วยออกแบบจะทำการสังเคราะห์วงจรที่ได้จากรูปแบบที่เขียนขึ้นให้อยู่ในรูปของวงจรที่ประกอบด้วยระดับเกต (Gate Level) และการเชื่อมต่อกันของอุปกรณ์เหล่านั้นหรือมีก็อยู่ในรูปของเน็ตลิสต์ (Net list) ที่สามารถนำไปผลิตลงบนอุปกรณ์อื่นได้
4. หลังจากการสังเคราะห์วงจรให้อยู่ในระดับเกตหรือเน็ตลิสต์แล้ว ข้อมูลที่ได้นอกจากจะเป็นข้อมูลสำหรับจำลองการทำงานในเรื่องของความถูกต้องของฟังก์ชันแล้ว ยังมีข้อมูลที่เกี่ยวข้องกับเวลาดำย ซึ่งจากความจริงที่ว่า อุปกรณ์อิเล็กทรอนิกส์ทุกชิ้นจะมีเวลาหน่วงของ การเคลื่อนผ่าน (Propagation Delay time) เสมอ ถึงแม้ว่าจะเป็นเวลาที่น้อยมากในระดับนาโนวินาที แต่ถ้าภายในวงจรหนึ่งประกอบด้วยเกตของฟังก์ชันต่างๆจำนวน 10,000 เกต ขึ้นไป เวลาดังกล่าวนี้จะสะสมกันมากขึ้นจนอาจจะทำให้การทำงานของวงจรทั้งหมดผิดไปหรือไม่สามารถทำงานในย่านความถี่สัญญาณนาฬิกาสูงๆได้
5. ขั้นตอนของการผลิตเป็นวงจรจริง (Technology and Device Mapping) โดยนำข้อมูลที่ได้จากการสังเคราะห์มาผลิต ซึ่งอาจจะอยู่ในรูปของอุปกรณ์ FPGA หรือวงจรรวม ASIC

เอกสารนี้เป็นเอกสารที่สงวนไว้สำหรับการใช้งานเพื่อการศึกษาเท่านั้น ไม่อนุญาตให้นำไปใช้ประโยชน์ด้านการค้าไม่ว่ากรณีใดๆ ทั้งสิ้น อีกทั้งห้ามมิให้ดัดแปลงเนื้อหา และต้องอ้างอิงถึงเจ้าของเอกสารทุกครั้งที่มีการนำไปใช้

6. หลังจากที่ได้วางจริงมาแล้วยังต้องมีความจำเป็นที่จะต้องตรวจสอบการทำงานที่ค้างถึง เวลา ด้วยเพื่อความถูกต้องของวงจรครั้งสุดท้ายก่อนที่จะนำไปรวมเข้ากับอุปกรณ์อื่นๆให้เป็นระบบ เพราะใน ขั้นตอนนี้วงจรที่ออกแบบจะประกอบด้วยอินพุตและเอาต์พุตแพด (Pad) ซึ่งเป็นจุดต่อสำหรับรับและส่ง สัญญาณกับภายนอก

7. หลังจากที่น่าวงจรที่ออกแบบรวมเข้ากับอุปกรณ์อื่นๆให้เป็นระบบแล้วนั้น จะต้องทดสอบ การทำงานรวมทั้งระบบร่วมกับอุปกรณ์อื่นๆอีกครั้ง ซึ่งเป็นการทดสอบการทำงานจริงขั้น สุดท้าย

### 2.3.3 ภาษา VHDL และ ส่วนประกอบต่างๆของภาษา

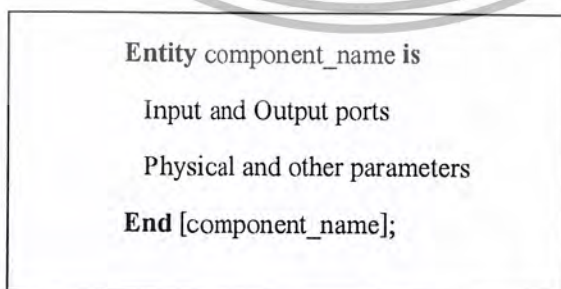
วิวัฒนาการของภาษา VHDL นั้นเริ่มต้นประมาณปี ค.ศ. 1981 โดยที่กระทรวงกลาโหมสหรัฐอเมริกา หรือ DOD (Department of Defence) ได้ทำการพัฒนาโครงการที่มีชื่อว่า VHSIC ซึ่งเป็นการพัฒนาโปรแกรม ซึ่งจัดเป็นภาษาระดับสูงเช่นเดียวกับภาษา C หรือ Pascal แต่สามารถบรรยายพฤติกรรมการทำงานของวงจรเชิงเลข หรือ โครงสร้างของวงจรได้ ทั้งนี้เพื่อให้สามารถออกแบบและสร้างวงจรรวมได้รวดเร็วขึ้น

ในการเขียนรูปแบบบรรยายระบบเชิงเลขในลักษณะของการออกแบบจากบนลงล่างจะต้องทำความเข้าใจในเรื่องของ โครงสร้างและส่วนประกอบต่างๆของรูปแบบภาษา VHDL เสียก่อนซึ่งส่วนประกอบที่สำคัญและเป็นพื้นฐานของการเขียนมี 4 หน่วย คือ

- หน่วยการออกแบบเอนทิตี (Entity Design unit)
- หน่วยการออกแบบสถาปัตยกรรม (Architecture Design unit)
- หน่วยการออกแบบแพ็คเกจ (Package Design unit)
- หน่วยการออกแบบโครงแบบ (Configuration Design unit)

#### 2.3.3.1 หน่วยการออกแบบเอนทิตี

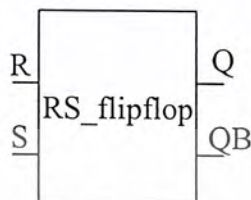
หน่วยการออกแบบนี้เป็นส่วนที่ใช้สำหรับติดต่อระหว่างภายนอกกับรูปแบบที่เขียนขึ้น โดยเป็นการ กำหนดจุดเชื่อมต่อของรูปแบบ กำหนดทิศทางการไหลของสัญญาณ และประเภทของค่าที่สามารถกำหนด ให้กับสัญญาณตามจุดต่างๆของข้อมูลที่ไหลผ่านจุดต่อเหล่านั้น รูปที่ 2.12 แสดงให้เห็นถึงโครงสร้างของ หน่วยการออกแบบเอนทิตี



รูปที่ 2.12 แสดงโครงสร้างโดยทั่วไปของหน่วยการออกแบบเอนทิตี

ส่วนนี้จะขึ้นต้นด้วยคำว่า Entity และ is ระหว่างคำทั้งสองคำเป็นส่วนสำหรับชื่อของรูปแบบที่ต้องการจะเขียน(component\_name)หลังจากนั้นจะตามด้วยส่วนที่ใช้กำหนดช่องทางเข้าและออกของข้อมูล(input-output) รวมทั้งพารามิเตอร์อื่นๆและที่สำคัญคือหน่วยการออกแบบเอนทิตีจะต้องปิดท้ายด้วยคำว่าEndและเครื่องหมายอัฒภาคเสมอ (;)

```
Entity RS_ff is
    port(S,R : in bit;
          Q,QB : out bit);
End RS_ff;
```



(a) หน่วยการออกแบบเอนทิตี

(b) มุมมองของตัวเชื่อมประสาน (Interfacing)

ในรูปของภาษา VHDL

รูปที่ 2.13 แสดงรูปแบบของ RS\_flipflop

ในรูปที่ 2.12 เป็นหน่วยการออกแบบเอนทิตีที่บรรยายอุปกรณ์ชื่อ RS\_flipflop ในส่วนหัวของเอนทิตีมีการกำหนดจุดต่อ 4 จุด ภายใต้จุดคำตั้ง port โดยที่ 2 จุดแรกเป็นจุดให้ข้อมูลไหลผ่านเข้า ได้แก่ R, S ซึ่งกำหนดด้วยทิศทางที่ติดต่อกับโลกภายนอกเป็นการไหลเข้าของข้อมูล (in) ส่วนจุดเอาต์พุตเป็นจุดให้ข้อมูลไหลออก ได้แก่ Q,QB ซึ่งกำหนดด้วยทิศทางที่ติดต่อกับภายนอกเป็นการไหลออก (out) ส่วนประเภทของข้อมูลที่ไหลเข้าและออกนั้นเป็นประเภท bit ที่สามารถมีค่าได้เพียงสองค่าเท่านั้น คือ “0” และ “1” เท่านั้น

### 2.3.3.2 หน่วยการออกแบบสถาปัตยกรรม

หน่วยการออกแบบสถาปัตยกรรมคือส่วนที่ใช้เขียนบรรยายพฤติกรรมของรูปแบบในมุมมองของการจำลองการทำงาน พฤติกรรมต่างๆที่บรรยายในส่วนนี้ขึ้นอยู่กับข้อมูลที่ผ่านเข้าและออกตรงช่องทาง ตลอดจนพารามิเตอร์ต่างๆที่กำหนดในหน่วยการออกแบบเอนทิตี รูปที่ 2.11 แสดงให้เห็นถึงโครงสร้างของหน่วยการออกแบบสถาปัตยกรรม

```

Architecture identifier of component_name is
    [declaration]

    Begin

        Specification of the functionality
        of the component in terms of its
        input lines and as influenced by
        physical and other parameters

    End [identifier];

```

รูปที่ 2.14 แสดงโครงสร้างโดยทั่วไปของหน่วยการออกแบบสถาปัตยกรรม

ส่วนของหน่วยการออกแบบสถาปัตยกรรมเริ่มต้นด้วยคำว่า Architecture และตามด้วยชื่อ (identifier) สิ่งที่ต้องกำหนดลงไปได้แก่ สิ่ง que แสดงให้เห็นว่า Architecture นั้นใช้บรรยายหน่วยการออกแบบเอนทิตีใดๆ (of <entity design unit> is) ส่วนที่อยู่ระหว่าง Architecture และ Begin เป็นพื้นที่ส่วนประกาศหน่วยของสถาปัตยกรรมกำหนด (Architecture declaration area) ที่เป็นส่วนเพื่อเลือก (Option) ในบริเวณนี้สามารถใช้เขียนประกาศกำหนดค่าต่างๆที่จะนำไปใช้ภายในสถาปัตยกรรมนั้นได้ อาทิเช่น ประเภท (Type) ต่างๆ (ตัวอย่างเช่น bit, bit\_vector), สัญญาณ (signal), ค่าคงที่ (constant), โปรแกรมย่อย (ได้แก่ function และ procedure) และอุปกรณ์ (component) ส่วนที่ใช้บรรยายความสัมพันธ์ระหว่างข้อมูลที่ไหลเข้าและไหลออกของรูปแบบ (สัญญาณที่กำหนดในชุดคำสั่ง port) นั้น จะถูกบรรยายในบริเวณเนื้อที่ระหว่างคำว่า Begin กับ End ของหน่วยการออกแบบสถาปัตยกรรม และนอกจากนั้นชุดคำสั่งทุกคำสั่งที่อยู่ภายในบริเวณนี้จะเป็นชุดคำสั่งแบบแข่งขันกัน (Concurrent statement) เท่านั้น คือทุกๆ statement จะทำงานพร้อมกัน ลำดับก่อนหลังจะ ไม่มีผลต่อการทำงานของรูปแบบ หน่วยการออกแบบสถาปัตยกรรมจะต้องปิดท้ายด้วยคำสั่ง End และชื่อของสถาปัตยกรรมนั้นๆ โดยทั่วไปการเขียนรูปแบบระบบเชิงเลขด้วยภาษา VHDL สามารถเขียนได้ในลักษณะต่างๆ ดังนี้

- ลักษณะการไหลของข้อมูล (Dataflow style)
- ลักษณะพฤติกรรม (Behavioral style)
- ลักษณะโครงสร้าง (Structural style)
- ลักษณะผสม (Mixed Model style)

**Architecture dataflow of RS\_ff is**

**Begin**

$Q \leq \text{not}(QB \text{ or } R);$

$QB \leq \text{not}(Q \text{ or } S);$

**End dataflow;**

รูปที่ 2.15 แสดงหน่วยการออกแบบสถาปัตยกรรมของ RS\_flipflop

ตามฟังก์ชันบูลีน  $Q = \overline{QB + R}$  และ  $QB = \overline{Q + S}$

รูปที่ 2.15 ส่วนที่บรรยายความสัมพันธ์ระหว่างข้อมูลที่ไหลเข้า (R, S) กับข้อมูลที่ไหลออก (Q, QB) ประกอบด้วยชุดคำสั่งแบบแข่งขันานาน 2 ชุด ซึ่งเขียนเป็นประเภทการไหลของข้อมูล หรือเรียกว่า ระดับการถ่ายโอนข้อมูลระหว่างรีจิสเตอร์ (RTL : Register Transfer Level)



รูปที่ 2.16 แสดงโครงสร้างภายในสถาปัตยกรรมของ RS\_flipflop

รูปที่ 2.16 เป็นหน่วยการออกแบบสถาปัตยกรรมของ RS\_flipflop ในลักษณะโครงสร้างซึ่งเปรียบเสมือนการนำอุปกรณ์ที่มีอยู่ในไลบรารี (Library) มาต่อเป็นวงจรตามต้องการโดยใช้นอร์เกต 2 อินพุต (nor2) จำนวนสองตัวมาสร้างตามฟังก์ชันบูลีนของรูปที่ 2.19

Architecture struc of RS\_ff is

component nor2

port(a,b : in bit;

c :out bit);

end component;

Begin

U1 : nor2 port map(R,QB,Q);

U2 : nor2 port map(S,Q,QB);

End struc;

รูปที่ 2.17 แสดงหน่วยการออกแบบสถาปัตยกรรมของ RS\_flipflop ในลักษณะโครงสร้าง

Architecture behave of RS\_ff is

Begin

process(R,S)

begin

if R='0' and S='1' then

Q <= '1';

QB <= '0';

elsif R='1' and S='0' then

Q <= '1';

QB <= '0';

end if;

end process;

End behave;

รูปที่ 2.18 แสดงหน่วยการออกแบบสถาปัตยกรรมของ RS\_flipflop ในลักษณะพฤติกรรม

รูปที่ 2.18 เป็นการเขียนบรรยายการทำงานของรูปแบบในลักษณะพฤติกรรม ซึ่งจะเห็นได้ว่ามีลักษณะที่เหมือนกับการเขียนโปรแกรมทั่วไป โดยจะต้องมีการใช้งานส่วนที่เรียกว่า process และการทำงานของรูปแบบจะขึ้นอยู่กับ การเปลี่ยนแปลงของสิ่งที่อยู่ภายใน process (อินพุต R, S) ซึ่งเรียกว่า

เอกสารนี้เป็นเอกสารที่สงวนไว้สำหรับการใช้งานเพื่อการศึกษาเท่านั้น ไม่อนุญาตให้นำไปใช้ประโยชน์ด้านการค้าไม่ว่ากรณีใดๆ ทั้งสิ้น อีกทั้งห้ามมิให้ดัดแปลงเนื้อหา และต้องอ้างอิงถึงเจ้าของเอกสารทุกครั้งที่มีการนำไปใช้

Sensitivity list การเขียนในลักษณะนี้ลำดับก่อนหลังของชุดคำสั่งจะมีผลต่อการทำงานของรูปแบบที่เขียนขึ้น

```

Architecture mixed of RS_ff is
    component nor2
        port(a,b : in bit;
             c : out bit);
    end component;

Begin
    U1 : nor2 port map(R,QB,Q);
    QB <= not(Q or S);
End mixed;

```

รูปที่ 2.19 แสดงหน่วยการออกแบบสถาปัตยกรรมของ RS flipflop ในลักษณะผสม

ไม่ว่าจะเขียนบรรยายส่วนของสถาปัตยกรรมของ RS flipflop ในลักษณะของพฤติกรรม การไหลของข้อมูล โครงสร้าง หรือผสมที่นำเอาแต่ละลักษณะมาเขียนไว้ในส่วนของสถาปัตยกรรมก็ตามต่างก็มีพฤติกรรมเดียวกัน และจะให้ผลลัพธ์จากการทำงานของการทำงานที่เหมือนกัน ซึ่งถือว่าเป็นข้อดีของภาษา VHDL

### 2.3.3.3 หน่วยการออกแบบแพ็คเกจ

ข้อมูลต่างๆ ตลอดจนโปรแกรมย่อยที่เป็นประโยชน์ต่อการเขียนรูปแบบบรรยายระบบเชิงเลขสามารถเก็บไว้ในส่วนของแพ็คเกจได้และข้อมูลเหล่านี้สามารถเรียกไปใช้ได้โดยหน่วยการออกแบบ เอนทิตีหน่วยการออกแบบสถาปัตยกรรมหรือจากหน่วยการออกแบบแพ็คเกจอื่นๆโดยปกติแล้วแพ็คเกจจะแบ่งออกเป็น 2 ส่วน คือ การประกาศแพ็คเกจ (Package Declaration) และส่วนของบอดีแพ็คเกจ (Package Body) เนื่องจากแพ็คเกจถูกสร้างขึ้นเป็นส่วนแยกต่างหากออกจากรูปแบบที่กำลังเขียนอยู่ ฉะนั้นการที่จะนำแพ็คเกจไปใช้นั้นจะต้องมีการเชื่อมโยงหรืออ้างอิงเสียก่อน ซึ่งในภาษา VHDL สามารถกระทำได้ด้วยชุดคำสั่ง USE

#### Package Declaration

ส่วนที่มีความสำคัญที่สุดของแพ็คเกจ(ถ้ามองในแง่ของการนำไปใช้จากภายนอก)ได้แก่ส่วนการประกาศแพ็คเกจ เพราะจะเป็นส่วนที่กำหนดชื่อของสิ่งที่ประกาศอยู่ในแพ็คเกจสำหรับนำไปใช้ภายนอกตัวของแพ็คเกจเองสิ่งใดๆที่ถูกระบุไว้ในส่วนของบอดีแพ็คเกจแต่ไม่ได้ถูกประกาศไว้ในส่วนการประกาศแพ็คเกจจะไม่สามารถถูกนำค่าและพฤติกรรมไปใช้ส่วนนอกได้ ซึ่งสามารถเปรียบเทียบ

เอกสารนี้เป็นเอกสารที่สงวนไว้สำหรับการใช้งานเพื่อการศึกษาเท่านั้น ไม่อนุญาตให้นำไปใช้ประโยชน์ด้านการค้า ไม่ว่ากรณีใดๆ ทั้งสิ้น อีกทั้งห้ามมิให้ดัดแปลงเนื้อหา และต้องอ้างอิงถึงเจ้าของเอกสารทุกครั้งที่มีการนำไปใช้

ได้ดึงสิ่งที่ประกาศไว้ในส่วนของการประกาศเอนทิตีคือจุดเชื่อมต่อหรือพอร์ทที่มีหน้าที่ติดต่อกับโลกภายนอกนั้น โดยทั่วไปแล้วแพ็คเกจสามารถสร้างขึ้นได้โดยไม่จำเป็นต้องมีส่วนบอดีและยังสามารถถูกนำไปใช้จากรูปแบบภายนอกได้ เช่น ใช้สำหรับประกาศชนิด (Type) หรือสัญญาเช่นเดียวกันกับส่วนบอดีแพ็คเกจที่ไม่จำเป็นต้องมีส่วนของการประกาศแพ็คเกจ แต่แพ็คเกจนั้นจะไม่สามารถถูกนำไปใช้จากรูปแบบอื่นได้

```
Package package_name is
    Package_declaration_part
End package_name;
```

รูปที่ 2.20 แสดงโครงสร้างโดยทั่วไปของส่วนการประกาศแพ็คเกจ

#### Package body

โครงสร้างที่ประกอบด้วยคำสั่งต่างๆในรูปของคำสั่งลำดับ (Sequence) ที่ใช้บรรยายฟังก์ชันการทำงานของโปรแกรมย่อย (Subprogram) ที่หลายที่ชื่อของโปรแกรมย่อยนั้นๆที่ถูกประกาศไปในส่วนของการประกาศแพ็คเกจแล้วจะถูกเก็บไว้ในส่วนบอดีแพ็คเกจซึ่งรวมทั้งการกำหนดค่าคงที่ต่างๆอันได้แก่ค่าคงที่ที่ถูกประกาศชื่อก่อนในส่วนของการประกาศแพ็คเกจแต่ถูกกำหนดค่าในส่วนของบอดีแพ็คเกจ ฉะนั้นส่วนบอดีแพ็คเกจจึงไม่จำเป็นต้องมีถ้าในส่วนของการประกาศแพ็คเกจไม่มีการประกาศชื่อที่เป็นโปรแกรมย่อยหรือค่าคงที่ การเขียนบอดีแพ็คเกจนั้นเป็นไปตามกฎเกณฑ์ที่แสดงในรูปที่ 2.21

```
Package body package_name is
    declarative part
End package_name;
```

รูปที่ 2.21 แสดงโครงสร้างโดยทั่วไปของบอดีแพ็คเกจ

#### 2.3.3.4 หน่วยการออกแบบโครงสร้าง

ดังที่ทราบกันแล้วว่ารูปแบบหนึ่งของระบบดิจิทัล ไม่ว่าจะเป็นอะไร จะมีหน่วยการออกแบบเอนทิตีได้ เพียงหนึ่งหน่วยเท่านั้น แต่ในขณะที่ หน่วยการออกแบบเอนทิตี หนึ่งหน่วยนี้อาจจะมีสถาปัตยกรรม ที่เป็นหน่วยรอง ได้หลายหน่วย ดังนั้นจะต้องมีหน่วยการออกแบบโครงสร้างมาเพื่อกำหนดการใช้โครงสร้าง (Configuration) ประกอบเอนทิตีกับหน่วยการออกแบบสถาปัตยกรรมหน่วยไหนเข้าด้วยกัน

เอกสารนี้เป็นเอกสารที่สงวนไว้สำหรับการใช้งานเพื่อการศึกษาเท่านั้น ไม่อนุญาตให้นำไปใช้ประโยชน์ด้านการค้าไม่ว่ากรณีใดๆ ทั้งสิ้น อีกทั้งห้ามมิให้ดัดแปลงเนื้อหา และต้องอ้างอิงถึงเจ้าของเอกสารทุกครั้งที่มีการนำไปใช้

```

Configuration identifier of entity_name is
    Configuration_declarative_part
End;

```

รูปที่ 2.22 แสดง โครงสร้างโดยทั่วไปของหน่วยการออกแบบโครงสร้าง

### 2.3.4 ชุดคำสั่งลำดับ (Sequential Statements)

ภาษา VHDL สามารถใช้เขียนรูปแบบ (modeling) บรรยายระบบดิจิทัลในลักษณะของ behavioral description ที่โครงสร้างภายในประกอบด้วย sequential statement การศึกษาในรายละเอียดของโครงสร้างดังกล่าว สำหรับ software engineering ที่มีความคุ้นเคยกับการเขียน โปรแกรมด้วยภาษาชั้นสูง อาทิเช่น C หรือ PASCAL อยู่ก่อนแล้ว จะสามารถเข้าใจโครงสร้างแบบ sequential ได้ง่าย เพียงแต่ต้องทำความเข้าใจเกี่ยวกับลักษณะการทำงานของ hardware เพิ่มเติม ในภาษา VHDL มีคำสั่งดังต่อไปนี้

- WAIT statement
- VARIABLE assignment
- Signal assignment
- IF-THEN-ELSE statement
- CASE statement
- Loops
- NEXT statement
- EXIT statement
- RETURN statement
- NULL statement
- Procedure call
- ASSERTION statement

จะกล่าวเฉพาะ statement ที่สำคัญๆ เพื่อความเข้าใจในการทำงานแบบ sequential เท่านั้น ตามที่ เคยกล่าวมาแล้วว่าภาษา VHDL เป็นภาษาที่มีคุณสมบัติเป็นแบบแข่งขันานั้น คือ ชุดคำสั่งภายในตัว โครงสร้างจะเป็นชุดคำสั่งแบบแข่งขัน เช่นเดียวกับภาษา ADA ชุดคำสั่งลำดับหรือ sequential statement ที่เรียกว่า อันได้แก่ process statement

#### 2.3.4.1. Process Statement

หัวใจสำคัญของ Concurrent shell ที่ทำให้สามารถเขียน VHDL model เพื่อบรรยายพฤติกรรมของระบบดิจิทัลอิเล็กทรอนิกส์ในลักษณะ behavioral description ได้แก่คำสั่ง process ที่โครงสร้างภายในจะประกอบด้วยชุดคำสั่งแบบลำดับเท่านั้น ชุดคำสั่งเหล่านี้จะทำงานเป็นลำดับจากบนลงล่าง เมื่อ PROCESS ถูกกระตุ้นให้ทำงาน

เอกสารนี้เป็นเอกสารที่สงวนไว้สำหรับการใช้งานเพื่อการศึกษาเท่านั้น ไม่อนุญาตให้นำไปใช้ประโยชน์ด้านการค้า ไม่ว่ากรณีใดๆ ทั้งสิ้น อีกทั้งห้ามมิให้ดัดแปลงเนื้อหา และต้องอ้างอิงถึงเจ้าของเอกสารทุกครั้งที่มีการนำไปใช้





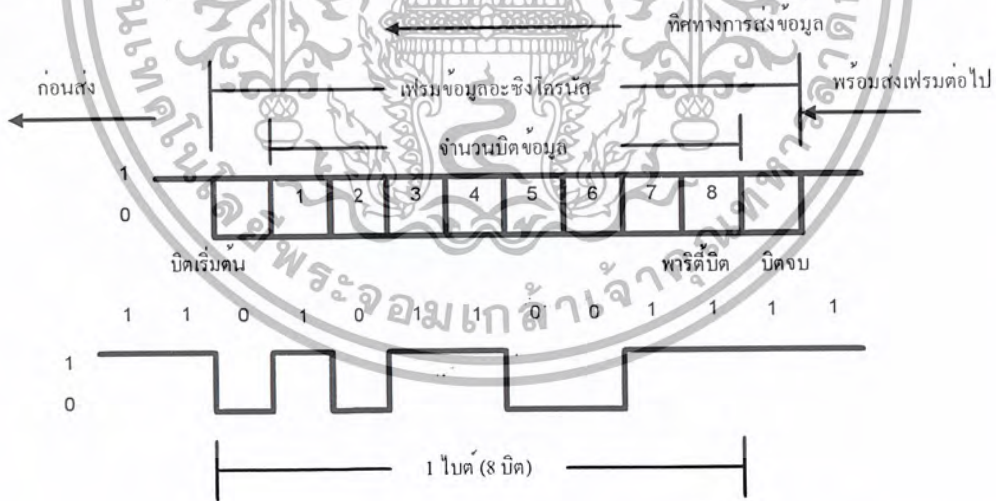
ไม่ขึ้นต่อกัน ที่เรียกว่า asynchronous ดังนั้น concurrent statement ส่วนใหญ่จึงสามารถเขียนแทนได้ด้วย PROCESS statement

ชุดคำสั่งแบบ sequential ไม่สามารถที่จะใช้ในรูปของชุดคำสั่งแบบแข่งขันกันได้ มีบางคำที่สามารถใช้ใน VHDL ได้ทั้งสองรูปแบบ เช่น signal assignment เป็นต้น ชุดคำสั่งที่ใช้ในโครงสร้างแบบ concurrent ซึ่งมีทั้งหมดได้แก่

- 1) Signal assignment statement
- 2) Component instantiation statement
- 3) Assert statement
- 4) Generate statement
- 5) Process statement
- 6) Procedure statement
- 7) Block statement

### 2.4 การส่งข้อมูลแบบอะซิงโครนัส

ในการส่งข้อมูลแบบอะซิงโครนัส กลุ่มของบิตจำนวน 5 บิต (รหัสไบคอต) หรือ 8 บิต (รหัสแอสกี) จะแทนตัวอักษรที่ถูกส่งออกเป็นเฟรม (Frame) บางครั้งเราเรียกว่าเป็นการส่งข้อมูลแบบ “Start/Stop” การส่งข้อมูลจะส่งทีละอักขระโดยที่ช่วงเวลาระหว่างอักขระจะเป็นเท่าไรก็ได้ ดังนั้นเครื่องรับจะต้องตรวจสอบว่า บิตใดเป็นบิตเริ่มต้นของอักขระและบิตใดเป็นบิตสุดท้ายของอักขระ



รูปที่ 2.23 การส่งสัญญาณข้อมูลดิจิทัลเป็นเฟรมโดยวิธีอะซิงโครนัส

ในการส่งอักขระแต่ละตัวจะประกอบด้วยบิตเริ่มต้น (1 บิต) + ข้อมูล (8 หรือ 7 บิต) + 1 พาริตีบิต (แต่อาจจะไม่ใช่ก็ได้) + บิตจบ (1 บิต) รวมเป็น 10 บิต คิดเป็น 1 เฟรม

เอกสารนี้เป็นเอกสารที่สงวนไว้สำหรับการใช้งานเพื่อการศึกษาเท่านั้น ไม่อนุญาตให้นำไปใช้ประโยชน์ด้านการค้า ไม่ว่ากรณีใดๆ ทั้งสิ้น อีกทั้งห้ามมิให้ดัดแปลงเนื้อหา และต้องอ้างอิงถึงเจ้าของเอกสารทุกครั้งที่มีการนำไปใช้

### 2.4.1 ขั้นตอนการส่งข้อมูล

ขั้นตอนการส่งข้อมูลดิจิทัลโดยวิธีอะซิงโครนัสมีดังนี้

1. ก่อนจะเริ่มทำการส่งข้อมูล สัญญาณจะมีค่าเป็น “1” ตลอดเวลา
2. เมื่อเริ่มส่งข้อมูลสัญญาณของบิตแรกจะเปลี่ยนเป็น “0” นั่นคือบิตเริ่มต้น เครื่องรับจะเริ่มสัญญาณนาฬิกาของตัวเอง เมื่อเวลาผ่านไป  $\frac{1}{2}$  บิต ถ้าสัญญาณยังคงเป็น “0” ต่อไปอีก  $\frac{1}{2}$  บิต ต่อมาก็จะเป็นการเริ่มของการส่งสัญญาณข้อมูล แต่สัญญาณกลับไปเป็น “1” อีก ก็แสดงว่าเกิดความผิดพลาดอันเกิดจากสัญญาณรบกวนในสายส่ง และยังไม่มียังสัญญาณข้อมูลใด ๆ ส่งมายังปลายทาง

3. หลังจากได้เริ่มบิตเริ่มต้นแล้ว ผู้ส่งจะเริ่มส่งรหัสบิตของอักขระ อาจจะเป็น 5 บิต หรือ 8 บิต หรือ 7 บิต แล้วตามด้วยพาริตีบิต (อาจจะใช้หรือไม่ใช้ก็ได้) ตามรูปที่ 1 เป็นการส่งสัญญาณข้อมูลขนาด 8 บิต สำหรับ 1 อักขระ โดยเป็นสัญญาณข้อมูล 7 บิต บิตที่ 8 เป็นพาริตีบิต (Odd) จากนั้นสัญญาณจะเป็น “1” ไปอีก 1 บิต ซึ่งถือว่าเป็นบิตจบ สัญญาณจะเป็น “1” ต่อไปเรื่อย ๆ จนกว่าจะเริ่มมีการส่งสัญญาณข้อมูลในเฟรมต่อไป

การส่งสัญญาณแบบอะซิงโครนัสมีใช้กันอย่างกว้างขวาง เพราะเทคนิคการส่งข้อมูลไม่ยาก รวมทั้งสายส่งสัญญาณก็มีราคาถูก ส่วนใหญ่ใช้ในการส่งรับข้อมูลระหว่างเครื่องคอมพิวเตอร์ส่วนบุคคล (PC) กับศูนย์บริการข้อมูลที่อยู่ไกลออกไป เช่น โฮสต์คอมพิวเตอร์ของตลาดหลักทรัพย์หรือระบบธนาคาร

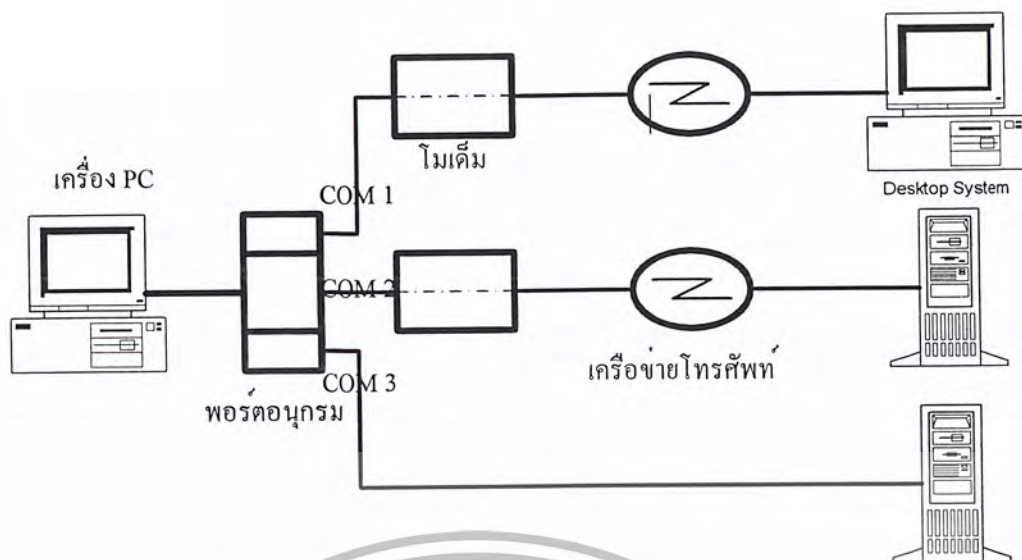
เนื่องจากการสื่อสารข้อมูลดิจิทัลแบบอะซิงโครนัสมีความเร็วในการส่งข้อมูลต่ำ จึงมักใช้กับเทอร์มินอลที่ไม่มีบัฟเฟอร์ นอกจากนั้นเวลาประมาณ 20 เปอร์เซ็นต์ของการส่งอักขระแต่ละตัวจะสูญเสียไปกับบิตเริ่มต้น บิตจบ และพาริตีบิต

ในการส่งข้อมูลที่เป็นบล็อกโดยในแต่ละบล็อกจะมีอักขระมากกว่า 1 อักขระ มักจะส่งโดยวิธีซิงโครนัสซึ่งจะกล่าวต่อไป

### 2.4.2 การตรวจสอบความผิดพลาด

การตรวจสอบความผิดพลาดของข้อมูลในการสื่อสารข้อมูลดิจิทัลแบบอะซิงโครนัส เราสามารถตรวจสอบได้จากพาริตีบิต ซึ่งเป็นพาริตีคี่ (Odd) และพาริตีคู่ (Even) เช่น ถ้าเราส่งข้อมูลเป็นพาริตีคู่ นั่นคือเมื่อรวมบิตของอักขระทั้งหมดที่เป็น “1” กับพาริตีบิต (ซึ่งอาจจะเป็น “0” หรือ “1”) แล้วจะได้เป็นจำนวนคู่ ซึ่งเมื่อเครื่องรับได้รับเฟรมข้อมูลไปแล้ว ถ้ารวมบิตของ “1” ทั้งหมดได้เป็นจำนวนคี่แล้ว แสดงว่าข้อมูลที่รับมามีความผิดพลาดเกิดขึ้น แต่นับบิต “1” ทั้งหมดได้จำนวนคู่เช่นกัน เราก็ไม่สามารถตรวจสอบความผิดพลาดได้

ตัวอย่างจากรูปที่ 2.23 บิตข้อมูลมี 7 บิตคือ 1011001 และกำหนดพาริตีบิตเป็นพาริตีคู่ ดังนั้นค่าของพาริตีบิตจึงเป็น “1” เพื่อให้จำนวนบิต “1” ทั้งหมดใน 8 บิตรวมกันเป็นเลขคู่ วิธีการตรวจสอบความผิดพลาดในการส่งข้อมูลแบบอะซิงโครนัสดังที่ได้กล่าวมาเราเรียกว่า การตรวจสอบพาริตี (Parity Check)



รูปที่ 2.23 ตัวอย่างการสื่อสารข้อมูลดิจิทัลแบบอะซิงโครนัสจากพอร์ตอนุกรมของเครื่อง PC

#### 2.4.3 การส่งข้อมูลแบบซิงโครนัส

สำหรับการสื่อสารข้อมูลคอมพิวเตอร์ที่ให้ประสิทธิภาพที่ดีกว่าการสื่อสารข้อมูลแบบอะซิงโครนัส คือการสื่อสารข้อมูลแบบซิงโครนัส ลักษณะของข้อมูลที่ถูกส่งผ่านสายส่งผ่านสายสื่อสารจะถูกส่งไปเป็นกลุ่มบิต (Block of Characters or Bits) โดยไม่จำเป็นต้องมีบิตเริ่มต้นและบิตจบ เช่นเดียวกับการสื่อสารแบบอะซิงโครนัส

การพิจารณาเวลาเริ่มต้นและเวลาดิ้นสุดของบิตข้อมูลแต่ละบิตเราพิจารณาจากกลุ่มบิต ส่วนหัว (Header) และกลุ่มบิตส่วนท้าย (Trailer) ของบิตข้อมูล กลุ่มบิตพิเศษทั้ง 2 กลุ่มนี้เป็นกลุ่มบิตที่แทนข่าวสารการควบคุมการส่งข้อมูลมากกว่าที่จะบิตข้อมูล (ข้อมูลที่รวมเข้ากับข่าวสารการควบคุมการส่งข้อมูลนี้เราเรียกว่า (Frame) รูปแบบของเฟรมนั้นขึ้นอยู่กับว่า การส่งข้อมูลนั้นจะเป็นแบบอะซิงโครนัสอักขระ (Character Synchronization) หรือแบบซิงโครนัสบิต (Bit Synchronization)

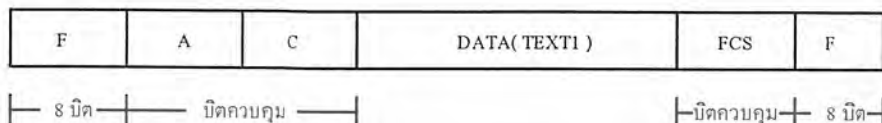
#### 2.4.4 การส่งข้อมูลซิงโครนัสอักขระ

การส่งข้อมูลแบบซิงโครนัสอักขระ เฟรมที่ใช้ในการส่งข้อมูลจะมีรูปแบบเป็นเฟรมอักขระ (Character Oriented Frame) คืออักขระในบิตข้อมูลจะถูกเรียงลำดับกัน ส่วนบิตพิเศษที่แทนการควบคุมก็จะอยู่ในรูปของอักขระเช่นกัน เฟรมข้อมูลจะเริ่มต้นด้วยอักขระซิงโครนัส (Synchronization Character) หรือเราเรียกสั้น ๆ ว่า อักขระซิงค์ (SYN) ซึ่งอาจจะมีมากกว่า 1 อักขระ (ดูรูปที่ 2.24 ประกอบ) อักขระซิงค์จะมีรูปแบบของบิตที่แน่นอน เพื่อให้ทางผู้รับสามารถรู้ได้ทันทีว่าเมื่อมีอักขระซิงค์เข้ามาที่เครื่องรับแสดงว่าจะเป็นการเริ่มต้นของบิตข้อมูลแล้ว ทางผู้รับก็จะเตรียมพร้อมรับบิตข้อมูลที่จะตามมา ต่อมาอักขระซิงค์ก็จะเป็นอักขระควบคุมซึ่งจะเป็นข่าวสาร เช่น บอกจุดเริ่มต้นของบิตข้อมูล จำนวนอักขระในบิตข้อมูล ความยาวของบิตข้อมูล เป็นต้น จากนั้นจึงตามบิตข้อมูล

เอกสารนี้เป็นเอกสารที่สงวนไว้สำหรับการใช้งานเพื่อการศึกษาเท่านั้น ไม่อนุญาตให้นำไปใช้ประโยชน์ด้านการค้าไม่ว่ากรณีใดๆ ทั้งสิ้น อีกทั้งห้ามมิให้ดัดแปลงเนื้อหา และต้องอ้างอิงถึงเจ้าของเอกสารทุกครั้งที่มีการนำไปใช้



เครื่องรับของผู้รับจะรอคอยสัญญาณดิจิทัล หรือกลุ่มบิตที่ผ่านเข้ามาที่มีรูปแบบเดียวกันกับ แฟล็กเพื่อเป็นสัญญาณให้เริ่มต้นเฟรมข้อมูล หลังจากแฟล็กเริ่มต้นผ่านไปแล้วจะเป็นกลุ่มของบิตควบคุม (Control Field) ทำหน้าที่บอกความยาวของบิตข้อมูล ตำแหน่งปลายทางของผู้รับ วิธีการอ่านบิตข้อมูล และข่าวสารอื่น ๆ จากนั้นจะเป็นบิตข้อมูลจริง ๆ ที่ต้องการส่งไปให้ผู้รับ จบบิตข้อมูลจะเป็นบิตควบคุม ตรวจสอบความผิดพลาดของข้อมูล (Frame Check Sequence) และจะจบ เฟรมด้วยแฟล็กจบ



รูปที่ 2.25 เฟรมข้อมูลของการส่งข้อมูลแบบซิงโครนัส

#### 2.4.6 การสื่อสารแบบอนุกรมและ RS-232

มีทางเลือกอยู่ 2 ทางในการที่จะเคลื่อนย้ายข้อมูลจากคอมพิวเตอร์ไปยังอุปกรณ์ต่อพ่วงอื่น ๆ หรือ คอมพิวเตอร์ด้วยกัน นั่นคือการรับส่งข้อมูลแบบขนานและการรับส่งข้อมูลแบบอนุกรม การรับส่งข้อมูลแบบขนานจะเป็นการรับหรือส่งข้อมูลคราวละ 4 หรือ 8 บิตในเวลาเดียวกัน ซึ่งจะทำการรับและส่งข้อมูลทำได้ที่ความเร็วสูง ซึ่งก็หมายความว่าจำนวนของสายที่ใช้ในการส่งจะต้องมีมากเท่ากับจำนวนบิตของข้อมูลที่จะส่งด้วย นอกจากนี้ยังจะต้องรวมถึงสายที่ใช้สำหรับการควบคุมและการตรวจสอบการรับส่งข้อมูลด้วย ซึ่งอาจจะต้องใช้สายมากถึง 2 เท่าของจำนวนบิตของข้อมูลที่จะส่งได้ ซึ่งก็เป็นปัญหาในเรื่องราคาของสายที่ใช้ในการเชื่อมต่อแบบขนานจะมีราคาแพง

ในขณะที่การรับส่งข้อมูลแบบอนุกรมเป็นการรับส่งข้อมูลครั้งละ 1 บิต แต่ก็สามารถรับส่งข้อมูลได้คราวละหลาย ๆ บิตได้ หากแต่จะต้องมีการตกลงกันระหว่างตัวส่งและตัวรับว่าจะรับส่งข้อมูลคราวละกี่บิต ตัวรับจะคอยเช็คข้อมูลมาให้ครบทุกบิตเสียก่อนจึงทำการประมวลผล ส่งผลให้การสื่อสารข้อมูลอนุกรมอาจมีความเร็วต่ำกว่าแบบขนาน ในด้านจำนวนสายสัญญาณการรับส่ง ข้อมูลแบบอนุกรมจะใช้จำนวนสายที่น้อยกว่ามาก อย่างน้อยที่สุดใช้เพียง 2 - 3 เส้นเท่านั้น แต่อัตราเร็วในการรับส่งข้อมูลอาจต่ำกว่าแบบขนาน อย่างไรก็ตามการรับส่งแบบอนุกรมสามารถใช้สายสัญญาณที่มีความยาวมากกว่าแบบขนาน ทำให้ระยะทางในการสื่อสารข้อมูลแบบอนุกรมสามารถทำได้มากกว่า

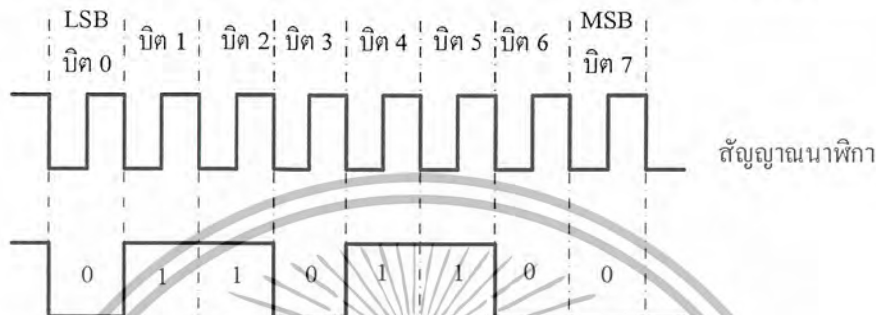
#### 2.4.6 การสื่อสารแบบอนุกรม

การสื่อสารแบบอนุกรมนั้นจะแบ่งได้เป็น 2 แบบ คือ การสื่อสารอนุกรมแบบซิงโครนัสและการสื่อสารอนุกรมแบบอะซิงโครนัส การสื่อสารแบบซิงโครนัสจะมีสัญญาณนาฬิกา ร่วมอยู่กับการรับและส่งสัญญาณด้วย ตัวอย่างการส่งข้อมูลแบบซิงโครนัสก็คือคีย์บอร์ดของคอมพิวเตอร์ ซึ่งสายเส้นหนึ่งจะเป็นสายของสัญญาณนาฬิกา ส่วนสายอีกเส้นจะเป็นสายของข้อมูล ดังนั้นการติดต่อกับแบบซิงโครนัสนี้

จะต้องใช้สายในการเชื่อมต่ออย่างน้อยที่สุด 3 เส้นคือ สัญญาณนาฬิกา, ข้อมูล และกราวด์ รูปที่ 2.24 แสดงให้เห็นถึงไทมิ่งไดอะแกรมของการส่งข้อมูลแบบซิงโครนัส

#### 2.4.7 การสื่อสารข้อมูลแบบอะซิงโครนัส

การสื่อสารข้อมูลแบบอะซิงโครนัสคือการรับและส่งข้อมูลไปในสาย โดยไม่จำเป็นต้องมีสัญญาณนาฬิกาไปด้วยเหมือนกับการรับส่งข้อมูลแบบซิงโครนัส แต่จะใช้การกำหนดค่าสัญญาณนาฬิกา ทั้งภาครับและภาคส่งให้มีค่าเท่ากัน ซึ่งเรียกสัญญาณนาฬิกาที่ใช้ในการกำหนดค่าให้ภาครับ



รูปที่ 2.26 รูปแบบอย่างง่ายที่สุดของข้อมูลอนุกรม

และภาคส่งนี้ว่า อัตราการถ่ายเทข้อมูล หรือ บอดเรต (Baud rate) มีหน่วยเป็นบิตต่อวินาที (bit per second: bps)

รูปแบบของข้อมูลที่ใช้ในการรับส่งแบบอะซิงโครนัสจะประกอบด้วย 4 ส่วนด้วยกัน คือ

1. บิตเริ่มต้น (Start Bit) ซึ่งจะมีขนาด 1 บิต
2. บิตข้อมูลแบบอนุกรมจะมีขนาด 5, 6, 7 หรือ 8 บิต
3. บิตตรวจสอบพาริตี (Parity Bit) จะมีขนาด 1 บิตหรือไม่มี
4. บิตปิดท้าย (Stop Bit) จะมีขนาด 1, 1.5 หรือ 2 บิต

รูปที่ 2.27 แสดงรูปแบบของข้อมูลอนุกรมแบบอะซิงโครนัส ซึ่งเมื่อไม่มีข้อมูลที่ส่ง ขา DATA จะมีสถานะลอจิก "1" ซึ่งจะเรียกสถานะนี้ว่าสถานะหยุดรอ (Waiting State) การเริ่มต้นส่งข้อมูลจะเริ่มจากการให้ขา DATA มีลอจิก "0" ด้วยช่วงระยะเวลา 1 บิต ซึ่งจะเรียกบิตนี้ว่าบิตเริ่มต้นจากนั้นบิตข้อมูลจะถูกส่งออกไป โดยเริ่มจากบิตที่มีค่านัยต่ำสุด (LSB) ก่อน ซึ่งข้อมูลในไบต์ที่จะส่งอาจจะมีจำนวน 5, 6, 7 หรือ 8 บิตก็ได้ จากนั้นจะตามด้วยบิตพาริตี ซึ่งใช้เพื่อตรวจสอบความผิดพลาดที่เกิดขึ้นจากการส่งข้อมูล บิตสุดท้ายที่จะส่งบิตปิดท้าย ซึ่งจะให้ขาดค่ามีสถานะลอจิก 1 อีกครั้งด้วยระยะเวลาอย่างน้อย 1 บิต 1.5 บิต หรือ 2 บิต เพื่อเป็นการแสดงว่าสิ้นสุดข้อมูลแล้ว

อุปกรณ์พิเศษที่ได้รับการออกแบบมา สำหรับการรับและส่งข้อมูลแบบอะซิงโครนัสเรียกว่า Universal Asynchronous Receiver / Transmitter หรือ UART อัตราความเร็วในการรับและส่งข้อมูลของการรับส่งข้อมูลแบบอะซิงโครนัสคือ ค่าบอดเรต ซึ่งก็คือค่าจำนวนบิตต่อวินาทีที่ใช้ ในการรับและส่ง

ข้อมูล บอดเรตมาตรฐานที่ใช้สำหรับพอร์ตอนุกรม RS-232 ได้แก่ 110, 150, 300, 600, 1200, 2400, 4800, 9600, และ 19200 บิตต่อวินาที



รูปที่ 2.27 รูปแบบอย่างง่ายที่สุดของข้อมูลอนุกรมแบบอะซิงโครนัส

และมีค่าเพิ่มมากขึ้นตามเทคโนโลยีของคอมพิวเตอร์ ซึ่งการรับส่งแบบอนุกรมโดยไม่ผ่านโมเด็ม อาจจะสามารถกำหนดค่าบอดเรตได้สูงถึง 115200 บิตต่อวินาที เนื่องจากบอดเรตคือ จำนวนบิตของข้อมูลที่สามารถถ่ายทอดได้ภายใน 1 วินาที ยกตัวอย่าง ข้อมูลอนุกรมถูกส่งในลักษณะ 8 บิต ไม่มีการตรวจสอบพาริตี มีบิตเริ่มต้น 1 บิต และบิตปิดท้าย 1 บิต ความยาวของข้อมูลที่รับส่งนี้เท่ากับ 10 บิต ถ้าใช้บอดเรตในการส่งข้อมูลเท่ากับ 9600 บิตต่อวินาที ก็สามารถรับส่งข้อมูลได้ด้วยความเร็ว 960 ไบต์ต่อวินาที และถ้ามีการใช้พาริตีความเร็วในการรับส่งข้อมูลจะเหลือเป็น 872 ไบต์ ต่อวินาที

การตรวจสอบพาริตีสามารถกำหนดให้เป็นแบบคี่ (Odd) แบบคู่ (Even) หรือไม่มีการตรวจสอบพาริตีก็ได้ การตรวจสอบพาริตีเป็นการตรวจสอบจำนวนรวมของบิตที่เป็นลอจิก “1” ภายในข้อมูลที่ส่งไป 1 ไบต์ว่ามีจำนวนรวมเป็นเลขคู่หรือเลขคี่โดยต้องรวมบิตพาริตีเข้าไปด้วย ยกตัวอย่างข้อมูลที่ทำการส่งมีขนาด 8 บิต และมีค่าเท่ากับ 99 ฐานสิบหก หรือ 10011001 ฐานสอง จะเห็นว่าข้อมูลในไบต์นี้มีจำนวนลอจิก “1” จำนวน 4 ตัวซึ่งเป็นเลขคู่ ดังนั้นถ้ากำหนดค่าพาริตีเป็นคู่ค่าในบิตพาริตี จะต้องมีลอจิกเป็น “0” แต่ถ้าพาริตีเป็นคี่ ค่าบิตพาริตีจะต้องเป็น “1” เพื่อให้ข้อมูล 1 ไบต์รวมทั้งบิตพาริตีมีจำนวนบิตที่เป็นลอจิก “1” มีจำนวนรวมกันเป็นเลขคี่ ในตารางที่ 1 แสดงตัวอย่างของบิตพาริตีในการรับส่งข้อมูลอนุกรม

บิตพาริตีถูกสร้างขึ้นจากภาคส่งข้อมูลของ UART ซึ่งทางภาครับจะต้องทำการกำหนดคุณสมบัติการตรวจสอบพาริตีคี่หรือพาริตีคู่ จากนั้นภาครับของ UART จะทำการตรวจสอบค่าพาริตีที่เกิดขึ้นว่าเป็นคู่หรือเป็นคี่ โดยการนับจำนวนลอจิก “1” ทั้งหมดรวมทั้งบิตพาริตีด้วย ถ้ากำหนดพาริตีไว้เป็นคู่แต่อ่านค่าตัวเลขในการนับได้ออกมาเป็นเลขคี่ ทางภาครับจะแสดงข้อผิดพลาดออกมาให้ผู้ใช้งานทราบ นับเป็นการตรวจสอบความผิดพลาดที่เกิดขึ้นในการถ่ายทอดได้ง่ายที่สุด แต่จะเชื่อถือได้เมื่อมีบิตข้อมูลที่ทำการส่งผิดพลาดเพียงบิตเดียวเท่านั้น ถ้าข้อมูลที่ทำการส่งมีบิตที่ผิดพลาดมากกว่า 1 บิต การตรวจสอบด้วยวิธีการนี้จะไม่ได้ผล สำหรับการตั้งพาริตีบิตเป็น NONE นั้นทั้งภาครับและภาคส่ง จะไม่มีการตรวจสอบพาริตี

## ตารางที่ 2.5 บิตพาริตีของข้อมูล

ข้อมูล	บิตพาริตีคู่	บิตพาริตีคี่
00000000	0	1
00000001	1	0
00000010	1	0
00000011	0	1
00000100	1	0
11111110	0	1
11111111	1	0

### 2.4.9 มาตรฐานพอร์ตอนุกรม RS-232

มาตรฐานการเชื่อมต่อแบบอนุกรม RS-232 เป็นมาตรฐานอุตสาหกรรมที่ออกแบบมาเพื่อใช้ในการส่งข้อมูลอนุกรมและแบบอะซิงโครนัส 2 ทิศทาง โดยมาตรฐาน RS-232 ในอดีตนั้นถูกออกแบบมาเพื่อการส่งผ่านข้อมูลจากคอมพิวเตอร์ไปยังโมเด็มเพียงอย่างเดียว เพื่อที่จะนำข้อมูลจากโมเด็มนี้สื่อสารผ่านสายโทรศัพท์ไปยังคอมพิวเตอร์อีกชุดที่อยู่ห่างไกลกัน โดยคณะกรรมการที่เรียกว่า สมาคมอุตสาหกรรมอิเล็กทรอนิกส์ (Electronic Industrial Association : EIA) ได้วางมาตรฐานที่มีชื่อเรียกว่า EIA RS-232 มาตรฐานนี้ในช่วงแรกจะใช้คอนเน็คเตอร์เป็นแบบ 1 DB-25 โดยกำหนดความยาวสูงสุดของสายสัญญาณไว้ที่ 50 ฟุต มีระดับสัญญาณตั้งแต่ -3 ถึง -12V แสดงว่ามีข้อมูล (Mark) และ +3 ถึง +12V แสดงว่าเป็นช่องว่าง (Space)

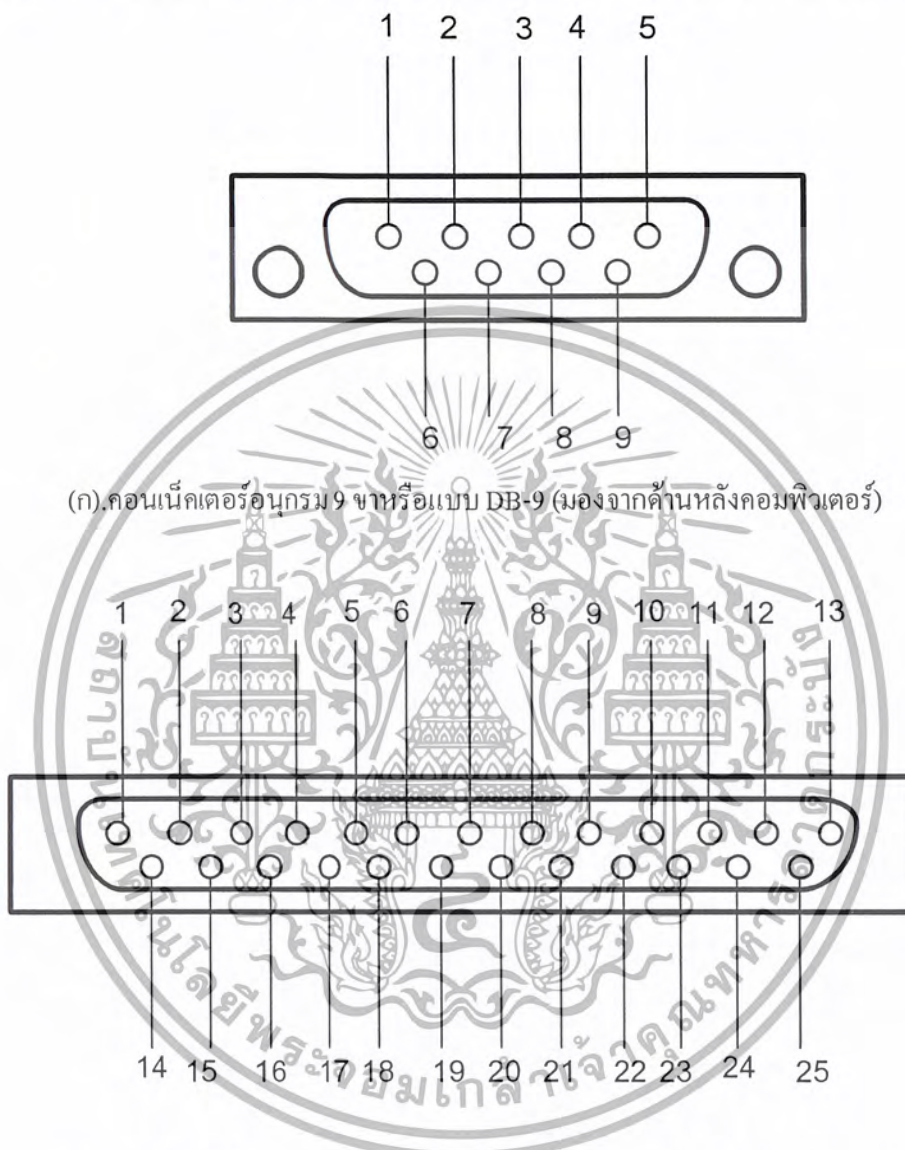
มาตรฐาน RS - 232 ได้กำหนดรูปแบบของอุปกรณ์เชื่อมต่อข้อมูล (Data Terminal Equipment : DTE) กับข้อมูลปลายทาง (Data Circuit Terminating : DCE) ไว้ว่าอุปกรณ์ DTE จะ ต้องเป็นอุปกรณ์ที่มีการประมวลผลในตัว เช่น ไมโครคอนโทรลเลอร์ หรือ ไมโครคอมพิวเตอร์ซึ่งมีความสามารถในการสร้างบิตข้อมูลแบบอนุกรมได้ ส่วนอุปกรณ์ DCE จะทำหน้าที่เป็นเพียงตัวรับข้อมูลที่ส่งมาจาก DTE เท่านั้น โดยการรับส่งข้อมูลระหว่างอุปกรณ์ทั้งสองจะกระทำผ่าน มาตรฐาน RS - 232

ข้อแตกต่างของอุปกรณ์ DTE และอุปกรณ์ DCE อย่างหนึ่งที่เราเห็นได้ชัดคือ คอนเน็คเตอร์ของ DTE จะเป็นตัวผู้ ส่วนคอนเน็คเตอร์ของ DCE จะเป็นตัวเมียซึ่งพอร์ตของคอมพิวเตอร์ที่ใช้กันอยู่ทั่วไปจะเป็นแบบ DTE ส่วนคอนเน็คเตอร์ที่อยู่โมเด็มจะเป็นแบบ DCE สำหรับการใช้งานบนคอมพิวเตอร์ พอร์ตอนุกรม RS - 232 มักถูกใช้เชื่อมต่อกับโมเด็ม หรือเมาส์ โดยสามารถรับส่งข้อมูลได้ที่ความยาวของสายสัญญาณสูงสุดถึง 20 เมตร

เอกสารนี้เป็นเอกสารที่สงวนไว้สำหรับการใช้งานเพื่อการศึกษาเท่านั้น ไม่อนุญาตให้นำไปใช้ประโยชน์ด้านการค้า ไม่ว่ากรณีใดๆ ทั้งสิ้น อีกทั้งห้ามมิให้ดัดแปลงเนื้อหา และต้องอ้างอิงถึงเจ้าของเอกสารทุกครั้งที่มีการนำไปใช้

#### 2.4.10 คอนเน็คเตอร์สำหรับพอร์ต RS-232 และการเชื่อมต่อ

มาตรฐานการเชื่อมต่อแบบ RS-232 จะใช้คอนเน็คเตอร์แบบ DB-9 ตัวผู้ หรือคอนเน็คเตอร์แบบ DB-25 จะมีขาต่อใช้งานเพียง 9 เส้นเช่นเดียวกับคอนเน็คเตอร์แบบ DB-9 เนื่องจากขาอื่นที่เคยใช้งานในอดีต ปัจจุบันมีการใช้งานไม่มากนัก โดยแสดงรูปร่างและตำแหน่งคังรูปที่ 2.28 (ก) และ 2.28 (ข)



รูปที่ 2.28 การจัดขาของคอนเน็คเตอร์อนุกรมตามมาตรฐาน RS-232 ทั้งแบบ DB-9 และ DB-25

สำหรับการเชื่อมต่อคอมพิวเตอร์กับอุปกรณ์ภายนอกในรูปที่ 2.29 ลูกศรในรูปแสดงถึงทิศทางของข้อมูล ในรูปที่ 2.29 (ก) เป็นการเชื่อมต่อแบบ Null modemหรือการเชื่อมต่อโดยตรงโดยไม่ผ่าน

เอกสารนี้เป็นเอกสารที่สงวนไว้สำหรับการใช้งานเพื่อการศึกษาเท่านั้น ไม่อนุญาตให้นำไปใช้ประโยชน์ด้านการค้าไม่ว่ากรณีใดๆ ทั้งสิ้น อีกทั้งห้ามมิให้ดัดแปลงเนื้อหา และต้องอ้างอิงถึงเจ้าของเอกสารทุกครั้งที่มีการนำไปใช้

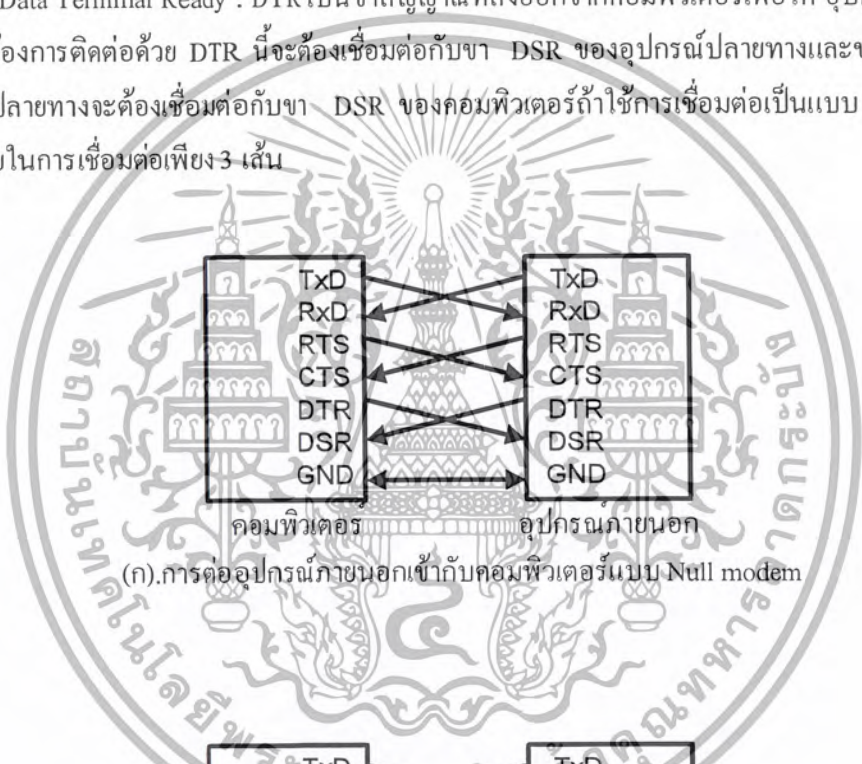
โมเด็มโดยมีการตรวจสอบหรือเฮนซ์เช็คเต็มรูปแบบ ส่วนรูปที่ 2.29(ข) เป็นการเชื่อมต่อแบบ Null modem ในลักษณะที่ใช้สายสัญญาณเพียง 3 เส้น โดยเส้นหนึ่งสำหรับส่งข้อมูลอีกเส้นหนึ่งรับข้อมูลและเส้นสุดท้ายเป็นกราวด์ สำหรับรายละเอียดดังนี้

Data Carrier Detect : DCD หรืออาจเรียกว่าCarrier Detect : CD ขานี้จะแอกติฟ เมื่อมีการส่งสัญญาณพาห้จากอุปกรณ์สื่อสารข้อมูล เช่น โมเด็มสำหรับการใช้งานปกติ ขานี้จะไม่ได้ถูกใช้งานมากนัก

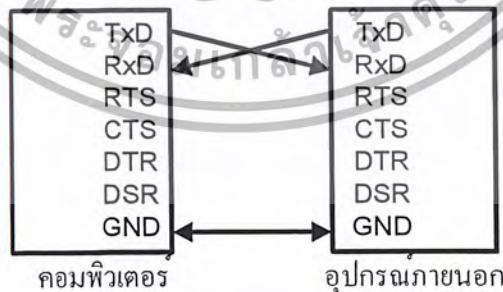
Receiver Data : RD หรือ RxD ขานี้ใช้เพื่อรับสัญญาณอนุกรมเข้ามายังคอมพิวเตอร์โดยนำข้อมูลที่อ่านได้เก็บไว้ในรีจิสเตอร์บัฟเฟอร์

Transmitted Data : TD หรือ TxD ขานี้ใช้เพื่อส่งข้อมูลจากคอมพิวเตอร์โดยนำข้อมูลที่เก็บอยู่ในบัฟเฟอร์สำหรับส่งข้อมูลออกไป

Data Terminal Ready : DTR เป็นขาสัญญาณที่ส่งออกจากคอมพิวเตอร์เพื่อให้ อุปกรณ์ปลายทางรับรู้ว่า ต้องการติดต่อกับ DTR นี้จะต้องเชื่อมต่อกับขา DSR ของอุปกรณ์ปลายทางและขา DTR ของอุปกรณ์ปลายทางจะต้องเชื่อมต่อกับขา DSR ของคอมพิวเตอร์ถ้าใช้การเชื่อมต่อเป็นแบบ Null modem ซึ่งใช้สายในการเชื่อมต่อเพียง 3 เส้น



(ก).การต่ออุปกรณ์ภายนอกเข้ากับคอมพิวเตอร์แบบ Null modem



(ข). การต่ออุปกรณ์ภายนอกเข้ากับคอมพิวเตอร์แบบ RS-232 โดยใช้สายเพียง 3 เส้น

รูปที่ 2.29 การต่ออุปกรณ์ภายนอกกับพอร์ทอนุกรมของคอมพิวเตอร์ในลักษณะต่าง ๆ

เอกสารนี้เป็นเอกสารที่สงวนไว้สำหรับการใช้งานเพื่อการศึกษาเท่านั้น ไม่อนุญาตให้นำไปใช้ประโยชน์ด้านการค้า ไม่ว่ากรณีใดๆ ทั้งสิ้น อีกทั้งห้ามมิให้ดัดแปลงเนื้อหา และต้องอ้างอิงถึงเจ้าของเอกสารทุกครั้งที่มีการนำไปใช้

จะต้องต่อขา DTR และ DSR ของตัวมันเองเข้าด้วยกันและต้องต่อกับขา DCD ด้วยในกรณีที่โปรแกรมสื่อสารที่ใช้มีการตรวจจับสัญญาณพาห้

Signal Ground : GND ขากราวน้ของระบบ

Data Set Ready : DSR ขานี้จะใช้คู่กับขา DTR เพื่อตรวจสอบการเชื่อมต่อกันระหว่างคอมพิวเตอร์กับอุปกรณ์ปลายทาง ซึ่งขา DSR นี้จะเป็นขาสำหรับข้อมูลจากภายนอกซึ่งถูกส่งมาจากขา DSR

Request To Send : RTS เป็นขาสำหรับส่งสัญญาณร้องขอให้ทางอุปกรณ์ปลายทางส่งข้อมูลกลับมายังคอมพิวเตอร์ โดยขาที่รับสัญญาณ RTS ก็คือขา CTS ในกรณีที่ใช้การเชื่อมต่อแบบ Null modem 3 สาย จะต้องเชื่อมต่อขา RTS และ CTS ของตัวมันเองเข้าด้วยกัน เพื่อจะให้การรับและส่งข้อมูลเกิดขึ้นได้ตลอดเวลา

Clear To Send : CTS ขานี้จะคอยรับสัญญาณจากขา RTS เมื่อรับสัญญาณได้ ข้อมูลที่ขา Tx/D จะถูกส่งออกไป ดังนั้นขานี้จึงถูกใช้เพื่อตรวจสอบอุปกรณ์ต่อพ่วงว่าพร้อมที่จะรับข้อมูลหรือไม่

Ring Indicator : RI ใช้แสดงสถานะสัญญาณเรียกจากสายโทรศัพท์ปกติในการสื่อสาร โดยทั่วไปสายนี้จะไม่ถูกใช้งานจะใช้ก็ต่อเมื่อมีการเชื่อมต่อกับโมเด็มกับโปรแกรมมีการตรวจสอบสัญญาณนี้เท่านั้น

#### 2.4.11 UART

UART มาจากคำว่า Universal Asynchronous Receiver Transmitter ซึ่งหมายถึง อุปกรณ์ที่ทำหน้าที่รับส่งข้อมูลแบบอะซิงโครนัสนั่นเอง สำหรับการสื่อสารอนุกรมบนคอมพิวเตอร์แล้ว UART ถือว่าเป็นหัวใจสำคัญของการสื่อสารอนุกรม

หน้าที่หลักของ UART คือทำหน้าที่แปลงข้อมูลที่อยู่ในรูปแบบขนานจากคอมพิวเตอร์ให้อยู่ในรูปแบบอนุกรม แบบอะซิงโครนัสแล้วส่งออกไปและทำหน้าที่แปลงสัญญาณอนุกรมแบบอะซิงโครนัสที่ป้อนเข้ามายังคอมพิวเตอร์แล้วยังแจ้งข้อมูลอื่นให้คอมพิวเตอร์ทราบด้วย เช่น อัตราเร็วในการรับส่งข้อมูล (บอดเรต), รูปแบบการส่งข้อมูล, ความผิดพลาดที่เกิดขึ้นระหว่างการถ่ายทอด ข้อมูล (ผิดพลาดจากพาห้ริตี้, เฟรมข้อมูล, โอเวอร์รัน) เป็นต้น

ภายใน UART จะมีส่วนของวงจรสร้างบอดเรตแบบโปรแกรมได้ โดยการกำหนดค่าตัวหารให้กับสัญญาณนาฬิกาของ UART โดยตัวหารนี้มีขนาด 16 บิต ดังนั้นจึงสามารถกำหนดตัวหารอยู่ในช่วง 1-65535 UART สามารถรับส่งข้อมูลได้ทั้งแบบ Half duplex และ full duplex โดยการส่งแบบ Half duplex เป็นการส่งแบบทิศทางเดียว ส่วนการส่งแบบ Full duplex สามารถรับและส่งในคราวเดียวกัน

#### 2.4.12 ชนิดของ UART

ในเครื่องคอมพิวเตอร์ทั่วไปมี UART สองเบอร์คือ 8250 ซึ่งเป็นแบบที่ใช้กันมานาน UART เบอร์นี้จะมีบัฟเฟอร์สำหรับรับและส่งข้อมูลตำแหน่งเดียวกัน ทำให้การรับและส่งข้อมูลถูกจำกัดความเร็วอยู่ที่ 57.6 กิโลบิตต่อวินาทีเท่านั้น แต่ UART เบอร์นี้ถือว่าเป็นด้านแบบของ UART โดยคอมพิวเตอร์ทุก ๆ รุ่นจะต้องสนับสนุนการทำงานตามรูปแบบของ UART เบอร์นี้

เอกสารนี้เป็นเอกสารที่สงวนไว้สำหรับการใช้งานเพื่อการศึกษาเท่านั้น ไม่อนุญาตให้นำไปใช้ประโยชน์ด้านการค้าไม่ว่ากรณีใดๆ ทั้งสิ้น อีกทั้งห้ามมิให้ดัดแปลงเนื้อหา และต้องอ้างอิงถึงเจ้าของเอกสารทุกครั้งที่มีการนำไปใช้

UART อีกระบบคือ 16450 มีความสามารถรับส่งข้อมูลได้ด้วยความเร็ว 115,200 บิต ต่อวินาที และเริ่มรีจิสเตอร์สำหรับพักข้อมูลสำหรับ UART นอกจากนั้นยังเพิ่มส่วนของชิพรีจิสเตอร์แบบ FIFO ขนาด 16 ไบท์ เข้าไปทำให้สามารถสนับสนุนความเร็วในการรับส่งข้อมูลที่ 256 กิโลบิตต่อวินาที ได้โดยคอมพิวเตอร์ในปัจจุบันใช้ UART เบอร์นี้หรือใหม่กว่า เช่นเบอร์ TL164C750 ซึ่งมีรีจิสเตอร์แบบ FIFO ขนาด 16 ไบท์ทำงานได้ที่ระดับแรงดัน +5 V และ +3 V มีโหมดประหยัดพลังงานสามารถรับส่งข้อมูลได้ด้วยความเร็ว 1 เมกะบิตต่อวินาทีเมื่อใช้สัญญาณนาฬิกา 16 เมกะเฮิรตซ์

อย่างไรก็ตาม ความเร็วในการส่งข้อมูลที่มากมายของ UART เบอร์ใหม่ ๆ ก็ไม่ได้ช่วยให้การรับส่งข้อมูลของคอมพิวเตอร์ขึ้น เนื่องจากว่าคอมพิวเตอร์ยังใช้ความถี่ของสัญญาณนาฬิกาในการแปลงข้อมูลข้อมูลเพียง 1.8432 เมกะเฮิรตซ์เท่านั้น

## 2.5 การแปลงดิจิตอลเป็นอนาล็อก(Analog to Digital Conversion)

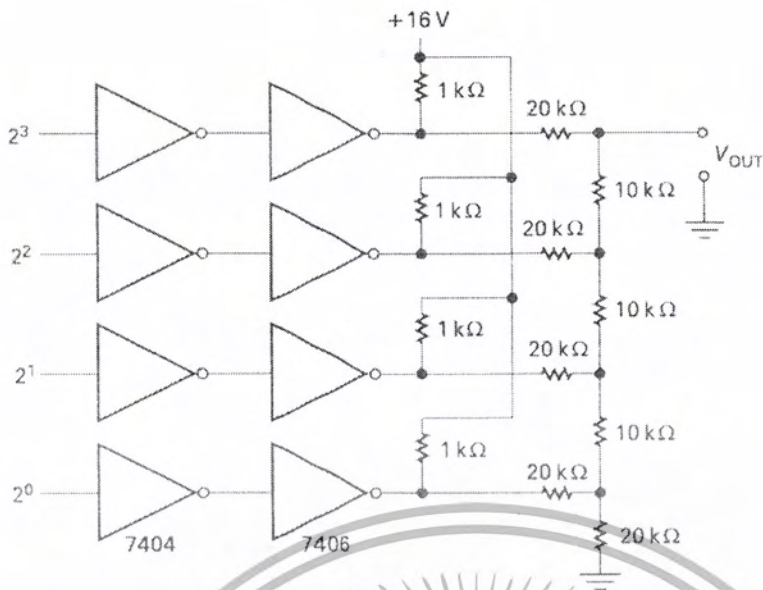
### 2.5.1 ตัวแปลงดิจิตอลเป็นอนาล็อกแบบทีทีแอล(The TTL Digital to Analog Converter)

การทำให้โครงข่ายทำงานนั้น 1 จะต้องมีแรงดันจากแหล่งจ่าย และ 0 จะต้องเป็นกราวด์หรือ 0 โวลต์ แรงดันเอาต์พุตของทีทีแอลจะให้ 0 โวลต์ที่คิดหรืออย่างแย่ที่สุดก็เป็น 0.4 โวลต์ แต่ว่า 1 แรงดันเป็น 3.5 โวลต์ โดยการใช้เอาต์พุตแบบ คอลเลกเตอร์เปิด(Open-Collector) เช่น 7406 หรือ 7407 ตัวต้านทานที่ดึงไปที่  $V_s$  เราสามารถแปลงระดับแรงดันทีทีแอลไปเป็นแรงดันที่ต้องการ โดยการใช้โครงข่ายตัวแปลงดิจิตอลเป็นอนาล็อกแรงดันเอาต์พุตของ 7406 ไม่ใช่กราวด์ หรือ  $V_s$  ที่แท้จริงแต่ก็ใกล้เคียงกันมาก แสดงในรูป 2.30



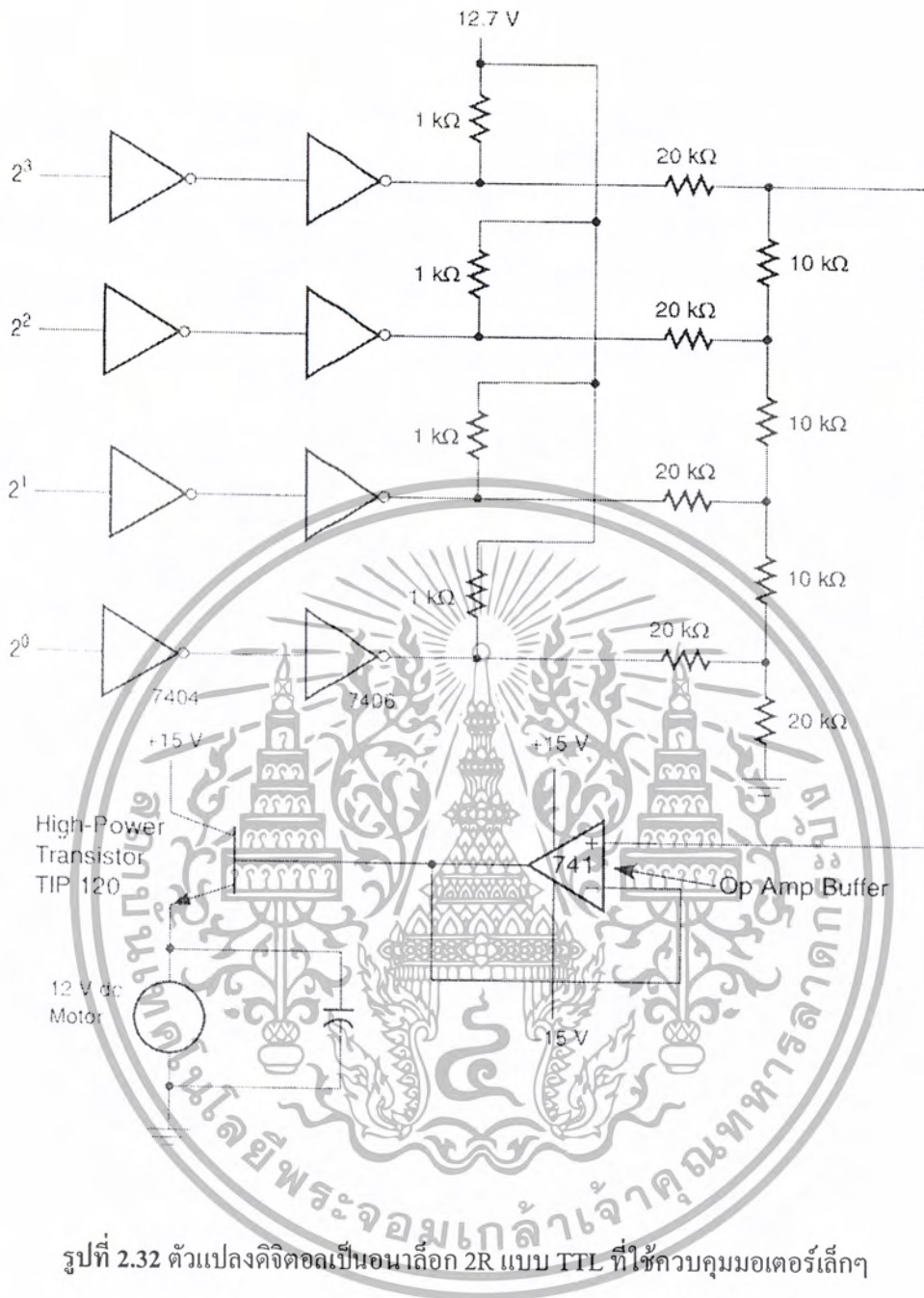
รูปที่ 2.30 การแปลงระดับแรงดัน TTL เป็นระดับคิทูเอ

จากรูป 2.30 แสดงชนิดของบัฟเฟอร์ที่ใช้สร้าง ตัวแปลงดิจิตอลเป็นอนาล็อกแบบทีทีแอลที่มีเอาต์พุตสูงสุด 15 โวลต์ เมื่อเอาต์พุตของ 7406 เป็นต่ำ(Low) อย่างดีที่สุดจะเป็น 0.1-0.2 โวลต์จากกราวด์ และจะทำให้เกิดความผิดพลาดขึ้น และเมื่อเอาต์พุต 7406 เป็นสูง(High) อิมพีแดนซ์แรงดันที่ 20 กิโลโอห์มจะเป็น 16 โวลต์ ในการกระทำแบบนี้ต้องบวกความต้านทาน 1 กิโลโอห์ม กับ 20 กิโลโอห์ม หมายความว่า ความต้านทาน  $2R$  มีขนาดน้อย(5% ในกรณีนี้) ขณะที่เป็น 16 โวลต์ และไม่สูงจากกราวด์มากนักเมื่อเป็นต่ำ



รูปที่ 2.31 ตัวแปลงดิจิทัลเป็นอนาล็อก 2R แบบ TTL

ความผิดพลาดบางประการสามารถตัดออกไปได้ โดยการใช้ทฤษฎีอื่น แต่การใช้ตัวแปลงดิจิทัลเป็นอนาล็อกหลายตัวความผิดพลาดที่น้อยยอมรับได้ ในรูปที่ 2.31 แสดงถึงตัวแปลงดิจิทัลเป็นอนาล็อกใช้ควบคุมความเร็วของดีซีมอเตอร์ เช่น อาจใช้กับแขนกล ตัวแปลงดิจิทัลเป็นอนาล็อกใช้ออปแอมป์เป็นบัฟเฟอร์



รูปที่ 2.32 ตัวแปลงดิจิทัลเป็นอนาล็อก 2R แบบ TTL ที่ใช้ควบคุมมอเตอร์เล็กๆ

เอกสารนี้เป็นเอกสารที่สงวนไว้สำหรับการใช้งานเพื่อการศึกษาเท่านั้น ไม่อนุญาตให้นำไปใช้ประโยชน์ด้านการค้า ไม่ว่ากรณีใดๆ ทั้งสิ้น อีกทั้งห้ามมิให้ดัดแปลงเนื้อหา และต้องอ้างอิงถึงเจ้าของเอกสารทุกครั้งที่มีการนำไปใช้

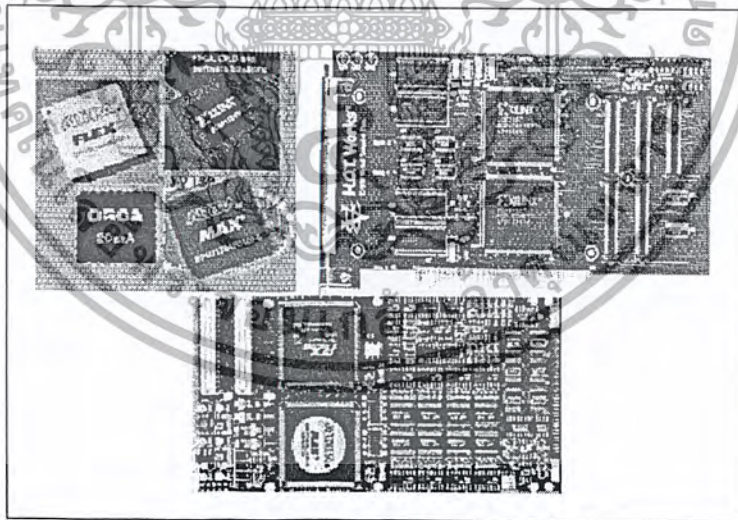
### บทที่ 3

#### การออกแบบและการสร้าง

##### 3.1 การออกแบบวงจรเชิงเลขด้วยอุปกรณ์ FPGA

อุปกรณ์ FPGA (Field Programmable Gate Array) เป็นอุปกรณ์ที่ใช้ในการโปรแกรมวงจรที่ได้ ออกแบบลงไปเพื่อให้อุปกรณ์ FPGA มีฟังก์ชันการทำงานตามที่ออกแบบไว้ ในการทำ FPGA ซึ่งเป็นวิธีการออกแบบ IC (Integrated Circuit) แบบ Semicustom อีกวิธีหนึ่ง เมื่อเทียบกับการทำ ASICs (Application Specific Integrated Circuits) แล้วนั้นก็ยังมีทั้งข้อดีและข้อเสีย คือ การทำ FPGA จะมีข้อจำกัดในด้านขนาดของวงจรเพราะภายในอุปกรณ์ FPGA จะมีจำนวนเกต (gate) ให้ใช้จำนวนจำกัด และการทำ FPGA ก็เหมาะสำหรับการทำผลิตภัณฑ์ต้นแบบหรือเพื่อผลิตในปริมาณต่ำ ส่วนข้อดีของการทำ FPGA ก็คือระยะเวลาที่ใช้ในการทำตั้งแต่เขียนรหัส (code) อธิบายฮาร์ดแวร์จนกระทั่งดาวน์โหลด (download) นั้น น้อยกว่าการทำ ASIC มากและการตรวจสอบหรือแก้ไขการออกแบบก็ทำได้สะดวก

การทำ FPGA ในปัจจุบันมีประสิทธิภาพและความสะดวกมากขึ้น ทั้งนี้ก็เนื่องจากทางบริษัทผู้ผลิตอุปกรณ์ FPGA ได้เพิ่มความสามารถของอุปกรณ์ FPGA โดยเพิ่มจำนวนองค์ประกอบภายในหรือปรับปรุงโครงสร้างสถาปัตยกรรมภายในและยังได้เพิ่มประสิทธิภาพของซอฟต์แวร์ที่ใช้ทำ PPR (Partitioning, Placement and Routing) สำหรับอุปกรณ์นั้นๆด้วย ลักษณะของตัว FPGA และการนำไปใช้งานแสดงดังในรูปที่ 3.1

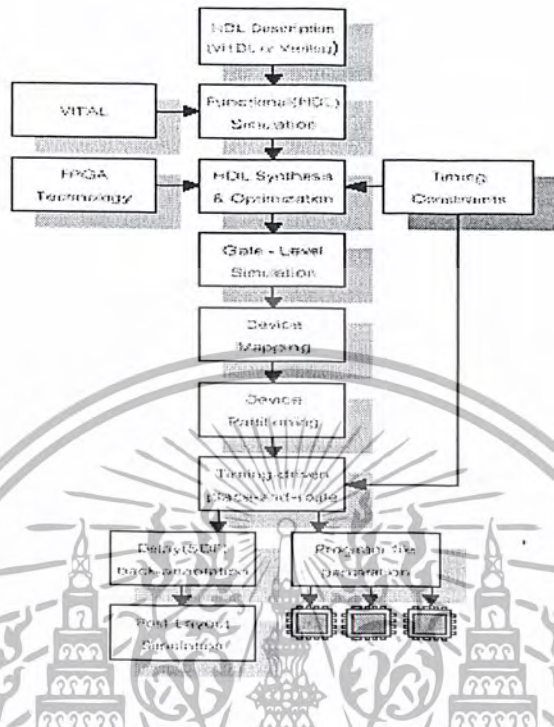


รูปที่ 3.1 ลักษณะของตัว FPGA และการนำไปใช้งาน

สำหรับตัวอุปกรณ์ FPGA นั้นก็มีโครงสร้างพื้นฐาน เทคโนโลยีที่ใช้สร้าง ตลอดจนเทคนิควิธีการโปรแกรมที่แตกต่างกันสำหรับผู้ผลิตแต่ละราย นอกจากนั้นอุปกรณ์ FPGA ของแต่ละผู้ผลิตก็มีโครงสร้างและความสามารถที่แตกต่างกันบางส่วน ในการใช้งานนั้นอุปกรณ์ FPGA สามารถนำไปประยุกต์ใช้งาน

เอกสารนี้เป็นเอกสารที่สงวนไว้สำหรับการใช้งานเพื่อการศึกษาเท่านั้น ไม่อนุญาตให้นำไปใช้ประโยชน์ด้านการค้าไม่ว่ากรณีใดๆ ทั้งสิ้น อีกทั้งห้ามมิให้ดัดแปลงเนื้อหา และต้องอ้างอิงถึงเจ้าของเอกสารทุกครั้งที่มีการนำไปใช้

ได้ เช่น การประมวลผลสัญญาณเชิงเลข ( DSP : Digital Signal Processing) การออกแบบ ไมโครคอนโทรลเลอร์ เป็นต้น โดยมีขั้นตอนในการออกแบบ ดังแสดงในรูปที่ 3.2



รูปที่ 3.2 ขั้นตอนการออกแบบโดยใช้อุปกรณ์ FPGA

3.2 การออกแบบโดยใช้ภาษาอธิบายการทำงานของฮาร์ดแวร์

ในการออกแบบวงจรเชิงเลขนั้นทำได้โดยการวาดวงจร หรือใช้ภาษาอธิบายฮาร์ดแวร์ ในขั้นตอนนี้เป็นขั้นตอนที่ไม่แตกต่างกันระหว่างการออกแบบด้วย FPGA และ ASIC ในกรณีที่ใช้ภาษาอธิบายฮาร์ดแวร์ แต่ในกรณีที่ออกแบบโดยวิธีการวาดวงจรจะแตกต่างกันโดยที่การทำวิธีนี้จะต้องคำนึงถึงเทคโนโลยีที่จะใช้ซึ่งแต่ละเทคโนโลยีก็มีความแตกต่างกันไป จะเห็นได้ว่าการออกแบบโดยใช้ภาษาอธิบายฮาร์ดแวร์ทำได้สะดวกกว่า เพราะการทำด้วยวิธีนี้ไม่ต้องคำนึงถึงเทคโนโลยีที่จะใช้ (Technology independence) และที่สำคัญการออกแบบด้วยวิธีนี้สามารถที่จะแก้ไข โมเดล (Model) หรือเปลี่ยนแปลงเทคโนโลยีได้สะดวกกว่าเพราะไม่ต้องวาดวงจรใหม่ นั่นคือการออกแบบโดยใช้ภาษาอธิบายฮาร์ดแวร์จะทำให้โมเดลที่ได้ไม่ขึ้นกับเทคโนโลยี

ในการเขียนโค้ด สิ่งที่ต้องคำนึงถึงคือเขียนอย่างไรจึงจะสามารถสังเคราะห์เป็นวงจรได้และให้คุณสมบัติของวงจรตามที่กำหนด เพราะลักษณะการเขียน โค้ดจะมีผลโดยตรงกับวงจรที่ได้ เนื่องจากในการสังเคราะห์วงจรนั้นซอฟต์แวร์สังเคราะห์วงจร (Synthesis Tools) จะทำการสังเคราะห์ตามโค้ดที่เขียน ถ้าอธิบายการทำงานของวงจรเดียวกันแต่เขียน โค้ดในลักษณะที่ต่างกันเมื่อสังเคราะห์แล้วจะได้อุปกรณ์ที่ต่างกัน และจากวงจรที่ต่างกัน เมื่อนำไปทำต้นแบบด้วย FPGA หรือการทำ ASIC แล้วจะได้ไอซีที่มี

เอกสารนี้เป็นเอกสารที่สงวนไว้สำหรับการใช้งานเพื่อการศึกษาเท่านั้น ไม่อนุญาตให้นำไปใช้ประโยชน์ด้านการค้าไม่ว่ากรณีใดๆ ทั้งสิ้น อีกทั้งห้ามมิให้ดัดแปลงเนื้อหา และต้องอ้างอิงถึงเจ้าของเอกสารทุกครั้งที่มีการนำไปใช้

คุณสมบัติต่างกันทั้งในด้านของขนาดหรือความเร็ว (area and time) ส่วนการเขียนโค้ดลักษณะใดเพื่อให้ได้ผลลัพธ์ที่ดีที่สุดนั้นก็ขึ้นอยู่กับประสบการณ์ในการออกแบบ

### 3.2.1 การจำลองการทำงานของวงจร (Simulation)

ขั้นตอนนี้เป็นขั้นตอนที่สำคัญเพราะเป็นขั้นตอนที่ใช้ตรวจสอบฟังก์ชันการทำงานของวงจรว่าถูกต้องหรือไม่ มีข้อผิดพลาดตรงไหน เพื่อที่จะได้ทำการแก้ไขให้ถูกต้อง ในขั้นตอนนี้จะใช้ซอฟต์แวร์สำหรับทำการจำลองการทำงานของวงจร เช่น V-System และ ModelSim ของบริษัท Model Technology

### 3.2.2 การสังเคราะห์วงจร

ในขั้นตอนนี้จะใช้ซอฟต์แวร์สังเคราะห์วงจร (Synthesis tools) ทำการสังเคราะห์โค้ดเพื่อให้ได้เป็นวงจรขึ้นมา แต่ต้องตรวจสอบด้วยว่าซอฟต์แวร์นั้นๆ สนับสนุนเทคโนโลยี FPGA (FPGA Library) ที่ต้องการใช้หรือไม่ โดย FPGA ที่นิยมใช้งานของบริษัท Xilinx ตระกูล XC4000 และบริษัท Altera ตระกูล FLEX 10 K ซอฟต์แวร์สังเคราะห์วงจรที่นิยมใช้เช่น โปรแกรม Leonardo Spectrum ของบริษัท Exemplar Logic ซึ่งในขั้นตอนนี้ซอฟต์แวร์สังเคราะห์วงจรจะแปลงโค้ดและทำการ অপติไมซ์ (Optimization) เพื่อให้ได้วงจรตามเทคโนโลยีที่เลือกใช้ นอกจากนี้ยังสามารถกำหนดข้อบังคับสำหรับวงจรได้เช่น ข้อบังคับในเรื่องของเวลา (time constraints) หรือข้อบังคับในเรื่องของพื้นที่ ซึ่งข้อบังคับเหล่านี้จะถูกนำไปใช้ในขั้นตอน অপติไมซ์เพื่อให้วงจรที่ได้เป็นไปตามที่กำหนด ส่วนสำคัญในการ অপติไมซ์คือการเทียบ (mapping) วงจรให้เข้ากับเทคโนโลยีที่ใช้เพื่อให้ได้วงจรที่เหมาะสมกับโครงสร้างสถาปัตยกรรมภายในอุปกรณ์ FPGA ในกรณีของ Xilinx ตระกูล XC4000 และ Altera ตระกูล FLEX 10 K จะเทียบโดยใช้วิธี LUT (Look Up Table) เมื่อทำการสังเคราะห์วงจรเสร็จแล้วซอฟต์แวร์สังเคราะห์วงจรก็จะมีรายงานผลว่าวงจรที่ออกแบบไปนั้นเป็นอย่างไร เช่น มีความหน่วง (delay) เท่าไร ใช้ทรัพยากรต่างๆ ใน FPGA อะไรบ้าง เป็นต้น

### 3.2.3 การแบ่งวงจร (Partitioning)

ขั้นตอนนี้เป็นการแบ่งวงจรที่ได้จากการสังเคราะห์ให้เป็นส่วนย่อยๆ สำหรับลงใน CLBs, IOBs หรือองค์ประกอบอื่นๆ ภายในอุปกรณ์ FPGA สำหรับเกณฑ์ที่ใช้ในการแบ่งคือให้แต่ละส่วนที่จะแยกออกจากกันมีจำนวนสัญญาณที่เชื่อมต่อระหว่างกันน้อยที่สุดเท่าที่จะทำได้เพื่อช่วยลดความหนาแน่นในตอนทำการเชื่อมต่อสัญญาณ (routing) ในขั้นตอนนี้จะใช้ซอฟต์แวร์ทำ โดยซอฟต์แวร์จะเทียบส่วนประกอบของวงจรเช่น เกท (gate), ฟลิปฟลอป (flip flop) ลงในทรัพยากรต่างๆ ที่มีอยู่ภายในอุปกรณ์ FPGA (CLBs, IOBs, BUFT และ edge decoder) หลังจากทำขั้นตอนนี้เสร็จแล้วสามารถที่จะทราบว่าจะวงจรใช้จำนวนทรัพยากรภายในอุปกรณ์ FPGA ไปเท่าไร ส่วนซอฟต์แวร์ที่ใช้ในขั้นตอนนี้ขึ้นอยู่กับตัว FPGA ที่ใช้งาน เช่น FPGA ของบริษัท Xilinx จะใช้ Xilinx Foundation Series 2.1i ซึ่งซอฟต์แวร์ตัวนี้จะรวมเอาซอฟต์แวร์ย่อยอื่นๆ อีก เพื่อให้การทำ PPR (Partitioning, Placement and Routing) เป็นไปอย่างต่อเนื่อง ส่วน FPGA ของบริษัท Altera จะใช้ Altera MAX+II

เอกสารนี้เป็นเอกสารที่สงวนไว้สำหรับการใช้งานเพื่อการศึกษาเท่านั้น ไม่อนุญาตให้นำไปใช้ประโยชน์ด้านการค้าไม่ว่ากรณีใดๆ ทั้งสิ้น อีกทั้งห้ามมิให้ดัดแปลงเนื้อหา และต้องอ้างอิงถึงเจ้าของเอกสารทุกครั้งที่มีการนำไปใช้

### 3.2.4 การวางอุปกรณ์ (Placement)

ขั้นตอนนี้เป็นการเลือกทำเลที่ตั้งของแต่ละส่วนของวงจรที่ผ่านการแบ่งวงจร (partitioning) มาแล้วว่าจะอยู่ในตำแหน่งใดในอุปกรณ์ FPGA เพื่อให้ได้ผลลัพธ์ที่ดีที่สุด เช่นวงจรส่วนไหนควรอยู่ใกล้กันเพื่อจะได้ค้นหาเส้นทาง (route) ได้ง่ายหรือช่วยลดความหน่วง จะเห็นได้ว่าตำแหน่งภายในอุปกรณ์ FPGA นั้นมีความสำคัญเพราะถ้าจัดวางวงจรลงในตำแหน่งที่ไม่เหมาะสมแล้วจะทำให้ความหน่วงเพิ่มขึ้นหรือตัว Router ทำการค้นหาเส้นทางสัญญาณได้ไม่หมด

### 3.2.5 การเชื่อมต่อสัญญาณ (Routing)

ในขั้นตอนนี้เป็นการเชื่อมต่อสัญญาณระหว่างองค์ประกอบต่างๆ ภายในอุปกรณ์ FPGA เช่น ระหว่าง CLBs หรือระหว่าง CLBs กับ IOBs ขั้นตอนนี้จะทำต่อเนื่องจากการวางอุปกรณ์ ในกรณีที่ทำการวางอุปกรณ์ไว้ไม่ดีซอฟต์แวร์ก็จะทำการเชื่อมต่อสัญญาณได้ไม่หมดหรือเกิดความหน่วงเกินค่าที่กำหนด ในข้อบังคับ โดยสามารถทำขั้นตอนนี้ได้โดยใช้ซอฟต์แวร์ เช่นกัน หรือจะทำการเชื่อมต่อสัญญาณด้วยตัวเอง (manual layout) ก็ได้ แต่ทางที่ดีควรใช้ซอฟต์แวร์ทำดีกว่าโดยให้ทำการค้นหาเส้นทางหลายๆครั้งเพื่อหาครั้งที่ดีที่สุด นอกจากนั้นการกำหนดข้อบังคับทางเวลา (time constraints) จะช่วยให้ผลที่ได้จากการทำการเชื่อมต่อสัญญาณดีขึ้นได้

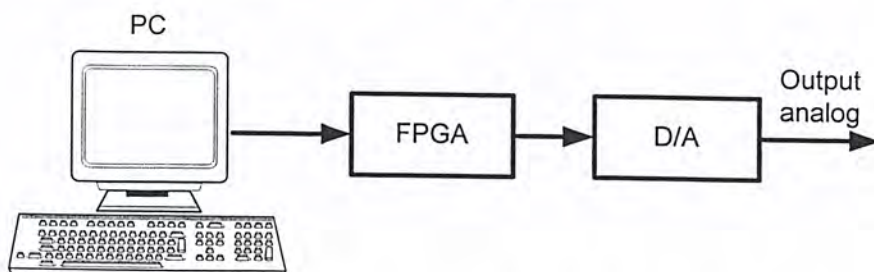
### 3.2.6 การโปรแกรมอุปกรณ์ FPGA (Configuration)

หลังจากที่วงจรผ่านขั้นตอนต่างๆจนกระทั่งผ่านการทำ PPR (Partitioning, Placement and Routing) แล้วนั้น ถึงตอนนี้ก็สามารถที่จะดาวน์โหลด (download) ลงในอุปกรณ์ FPGA ได้แล้ว ในการดาวน์โหลดนี้ก่อนอื่นต้องแปลงแบบวงจรรวมที่ได้ให้เป็นข้อมูลวงจร (Configuration data) ซึ่งอยู่ในรูปของบิตสตรีม (Bit-stream) ก่อนแล้วจึงดาวน์โหลดลงไปเพื่อให้อุปกรณ์ FPGA มีฟังก์ชันการทำงานตามวงจรที่ออกแบบไว้

จากที่อธิบายมาทั้งหมดจะเห็นได้ว่าการออกแบบเพื่อทำ FPGA นั้น ทำได้สะดวกกว่าการทำ ASIC มากเพราะใช้เวลาน้อยกว่ามาก ส่วนสำคัญที่ใช้ในการทำ FPGA คือซอฟต์แวร์ที่ใช้ตั้งแต่การเขียนโค้ดอธิบายฮาร์ดแวร์จนกระทั่งดาวน์โหลดลงในอุปกรณ์ FPGA ซึ่งซอฟต์แวร์ที่ใช้ต้องเป็นซอฟต์แวร์ที่ใช้ทำงานต่อเนื่องกัน

## 3.3 การออกแบบ

การออกแบบตัวกำเนิดสัญญาณไซน์แบบดิจิทัลด้วย FPGAs เป็นการออกแบบโดยการนำเอา personal Computer(PC) กับ FPGAs ต่อทำงานร่วมกัน ดังรูปที่ 3.3



รูปที่ 3.3 ขั้นตอนการทำงานของ ตัวกำเนิดสัญญาณไซน์

เอกสารนี้เป็นเอกสารที่สงวนไว้สำหรับการใช้งานเพื่อการศึกษาเท่านั้น ไม่นิยมนำไปใช้ประโยชน์ด้านการค้า ไม่ว่ากรณีใดๆ ทั้งสิ้น อีกทั้งห้ามมิให้ดัดแปลงเนื้อหา และต้องอ้างอิงถึงเจ้าของเอกสารทุกครั้งที่มีการนำไปใช้

โดยสามารถอธิบายการทำงานได้ดังนี้ใช้คอมพิวเตอร์ทำหน้าที่รับข้อมูลจากคีย์บอร์ด ( keyboard) พร้อมทั้งแสดงข้อมูลออกมาทางหน้าจอคอมพิวเตอร์โดยผ่านโปรแกรมวิซวลเบสิก(Visual Basic) แล้วทำการส่งค่าไปยังอุปกรณ์ FPGA ที่ทำหน้าที่เป็นตัวประมวลผลทางดิจิทัลซึ่งจะได้อธิบายต่อไป แล้วนำค่าที่ประมวลผลได้ส่งค่าไปยัง D/A จะได้เอาต์พุต ออกมาเป็นสัญญาณไซน์ (sinusoidal) ตามต้องการ

ส่วนของ FPGA จะสร้างฮาร์ดแวร์โดยอาศัยการอธิบายพฤติกรรมการทำงานของวงจรด้วยภาษาวีเอชดีแอล(VHDL)จะประกอบไปด้วย 2 ส่วนคือส่วนของโครงสร้างของ CORDIC และส่วนของโครงสร้างของวงจรถ่ายสัญญาณดิจิทัลที่มีโครงสร้างแบบตรง(Direct Digital Frequency Synthesizer)

### 3.3.1 การออกแบบโครงสร้างของ CORDIC Algorithm

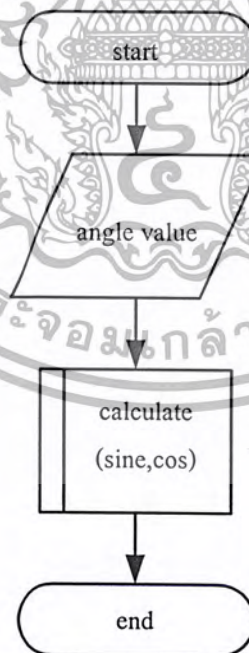
จากหลักการของ CORDIC Algorithm ซึ่งแสดงในรูปสมการพื้นฐานคือ

$$x_{i+1} = x_i \cos \theta_i = y_i \sin \theta_i$$

$$y_{i+1} = x_i \sin \theta_i + y_i \cos \theta_i$$

สามารถเขียนในรูปMatrix

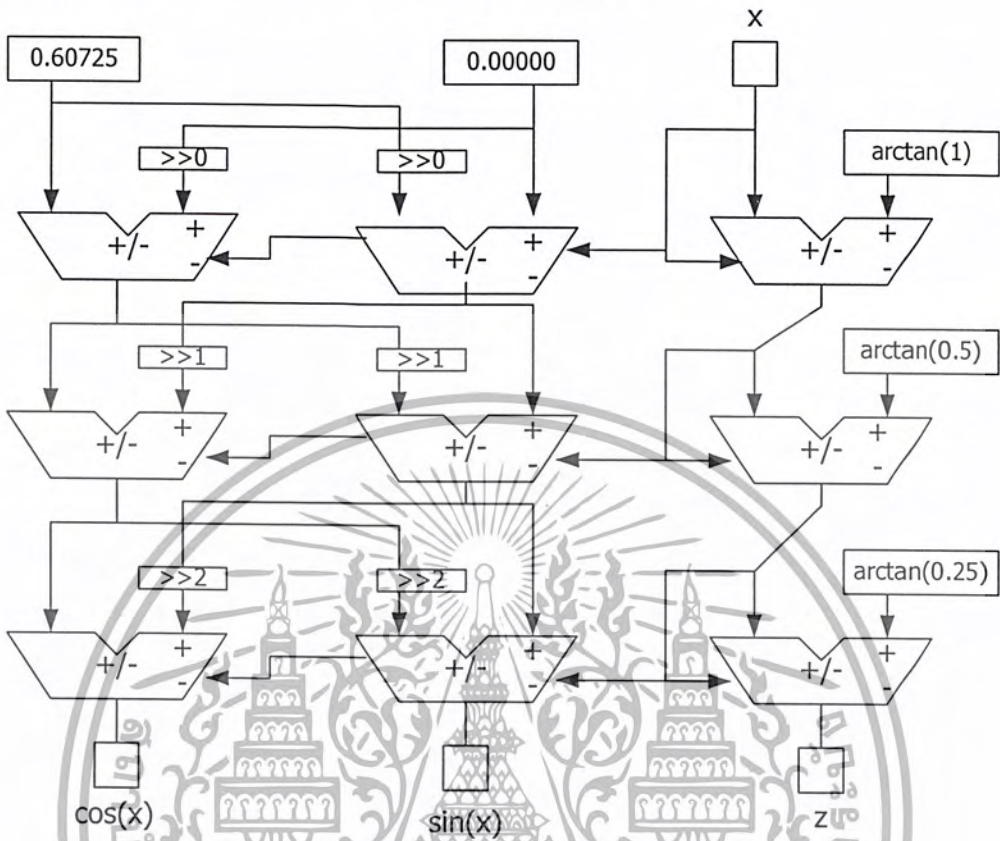
$$\begin{bmatrix} x_{i+1} \\ y_{i+1} \end{bmatrix} = \begin{bmatrix} \cos \theta_i & -\sin \theta_i \\ \sin \theta_i & \cos \theta_i \end{bmatrix} \begin{bmatrix} x_i \\ y_i \end{bmatrix}$$



รูปที่ 3.4 การออกแบบโครงสร้างของ CORDIC Algorithm

เอกสารนี้เป็นเอกสารที่สงวนไว้สำหรับการใช้งานเพื่อการศึกษาเท่านั้น ไม่อนุญาตให้นำไปใช้ประโยชน์ด้านการค้าไม่ว่ากรณีใดๆ ทั้งสิ้น อีกทั้งห้ามมิให้ตัดแปลงเนื้อหา และต้องอ้างอิงถึงเจ้าของเอกสารทุกครั้งที่มีการนำไปใช้

จาก Flow Chat สามารถอธิบายการทำงานได้ดังนี้ ส่วนของ CORDIC จะรับค่ามุมมาจากคอมพิวเตอร์จะคำนวณหาค่า  $\cos \theta$  และ  $\sin \theta$  เพื่อกำเนิดสัญญาณดิจิทัล



รูปที่ 3.5 โครงสร้างของ CORDIC ใช้คำนวณ SIN,COS

ตัวอย่างของการหาค่า COS และ SIN จากโครงสร้างของ CORDIC โดยใช้โปรแกรม MATLAB

มุม (องศา)	$\cos\theta$	$\sin\theta$
30	0.8660	0.500
45	0.7071	0.7071
60	0.5000	0.8660
90	-7.1115e-008	1.000

ตารางที่ 3.1 การหาค่ามุมจากโครงสร้าง CORDIC

เอกสารนี้เป็นเอกสารที่สงวนไว้สำหรับการใช้งานเพื่อการศึกษาเท่านั้น ไม่อนุญาตให้นำไปใช้ประโยชน์ด้านการค้า ไม่ว่ากรณีใดๆ ทั้งสิ้น อีกทั้งห้ามมิให้ดัดแปลงเนื้อหา และต้องอ้างอิงถึงเจ้าของเอกสารทุกครั้งที่มีการนำไปใช้

### 3.4 การเขียนโปรแกรมวิซวลเบสิกเพื่อใช้งานพอร์ตอนุกรม

#### 3.4.1 คอนโทรล MSComm

สำหรับการใช้งานวิซวลเบสิกตั้งแต่เวอร์ชัน 2 เป็นต้นมา ในวิซวลเบสิกจะมีคัสตอมคอนโทรล สำหรับการสื่อสารอนุกรมผ่านทางพอร์ตอนุกรมของคอมพิวเตอร์มาให้ โดยในวิซวลเบสิก เวอร์ชัน 2 และเวอร์ชัน 3 จะใช้ชื่อว่า MSCOMM.VBX ส่วนเวอร์ชัน 4 ใช้ชื่อว่า MSCOMM16.OCX สำหรับการ ทำงานกับระบบปฏิบัติการ 16 บิต และ MSCOMM32.OCX สำหรับการ ทำงานกับระบบปฏิบัติการ 32 บิต สำหรับในวิซวลเบสิก เวอร์ชัน 5 จะมีเพียง MSCOMM32.OCX เท่านั้นเพราะถูกออกแบบมาให้ใช้งานกับ ระบบปฏิบัติการ 32 บิต

MSComm จัดเตรียมทางเลือกเอาไว้ 2 ทางเพื่อความสะดวกในการสื่อสารข้อมูลทางแรกคือการ สื่อสาร ข้อมูลที่กระตุ้นด้วยเหตุการณ์ (event-driven communications) เป็นรูปแบบการใช้งานที่มี ประสิทธิภาพมากสำหรับการตอบสนองแบบทันทีทันใด เช่น เมื่อตัวอักษรถูกส่งมาที่พอร์ตอนุกรมหรือ เกิดการเปลี่ยนแปลงที่ขา Data Carrier Detect ( DCD ) หรือขา Request To Send RST ) เหตุการณ์ Oncomm ของ MSComm จะสามารถตรวจจับสัญญาณได้ทันที ซึ่งจะกล่าวถึงรายละเอียดในหัวข้อ คุณสมบัติ CommEvent ต่อไป ส่วนทางเลือกที่สองเป็นการคอยตรวจสอบค่าเหตุการณ์และความผิดพลาด ที่เกิดขึ้นด้วยการดูค่าที่เปลี่ยนแปลงภายในคุณสมบัติ CommEvent หลังจากให้โปรแกรมทำงานในฟังก์ชัน ต่าง ๆ ไปเรียบร้อยแล้วซึ่งวิธีใช้งานได้ดีในกรณีที่โปรแกรมมีขนาดเล็ก

คอนโทรล MSComm 1 ตัวสามารถควบคุมการทำงานของพอร์ตอนุกรมได้ 1 พอร์ต ถ้าใน โปรแกรมที่ใช้งานต้องการติดต่อพอร์ตอนุกรมมากกว่า 1 พอร์ตจะต้องใช้คอนโทรล MSComm มากกว่า 1 ตัว เพื่อควบคุมพอร์ตอนุกรมในแต่ละพอร์ต โดยแอสเครสของพอร์ตอนุกรมและ แอสเครสของการ เกิดอินเทอร์รัปต์สามารถเปลี่ยนแปลงได้จากการแก้ไขค่าที่ Control Panel

ถึงแม้ว่าคอนโทรล MSComm จะมีคุณสมบัติ (property) มากมาย แต่สามารถทำความเข้าใจ ได้ไม่ยากดังนี้

#### 3.4.2 CommPort

ใช้ในการกำหนดและอ่านค่าพอร์ตอนุกรมที่ติดต่อกันอยู่ ( COM1, COM2 , COM3, Com4 )

รูปแบบการใช้งาน

object, CommPort[ = value ]

โดย Value เป็นค่าของพอร์ตอนุกรม ชนิดของข้อมูลเป็น Integer ค่า Value สามารถกำหนดได้ ในช่วง 1-16 ( ค่าเริ่มต้นกำหนดไว้ที่ 1 ) เมื่อมีการกำหนดค่าแล้วทำการเปิดพอร์ต โดยใช้คุณสมบัติ PortOpen แต่วาพอร์ตนั้น ไม่มีอยู่ในระบบ MSComm จะสร้างสัญญาณแสดงข้อผิดพลาด error 68 ขึ้นมา ซึ่งหมายถึงอุปกรณ์ตัวนี้ไม่มีอยู่ในระบบ ดังนั้นการเขียนโปรแกรมจึงต้องกำหนดตำแหน่งของพอร์ต อนุกรมก่อนที่จะใช้คำสั่ง OpenPort

### 3.4.3 Setting

ในการกำหนดและอ่านค่าอัตราบอด, พาริตี, จำนวนบิตข้อมูล, จำนวนบิตปิดท้าย  
รูปแบบการทำงาน

object.Setting [ = value ]

ค่า Value มีชนิดข้อมูลเป็นแบบ String มีรูปแบบเป็น “BBBB,P,D,S” โดย BBBB เป็นค่าอัตรา  
บอด, P เป็นค่าพาริตี, D เป็นจำนวนของบิตข้อมูล และ S เป็นจำนวนข้อมูลของบิตปิดท้าย ปกติแล้วค่านี้  
ถูกกำหนดไว้เป็น “9600,N,8,1”

ค่าบอดเรตมาตรฐานที่ใช้กับ MSComm มีดังนี้

110 บิตต่อวินาที

300 บิตต่อวินาที

600 บิตต่อวินาที

1200 บิตต่อวินาที

2400 บิตต่อวินาที

9600 บิตต่อวินาที (ค่าปกติ)

14400 บิตต่อวินาที

19200 บิตต่อวินาที

28800 บิตต่อวินาที

38400 บิตต่อวินาที ( สงวน )

56000 บิตต่อวินาที ( สงวน )

12800 บิตต่อวินาที ( สงวน )

256000 บิตต่อวินาที ( สงวน )

สำหรับค่ามาตรฐานในการกำหนดค่าพาริตีมีดังนี้

สัญลักษณ์

รายละเอียด

E

พาริตีคู่ (Event)

M

ลอจิก “1” (Mark)

N

ไม่ใช่ (ค่าปกติ)

O

พาริตี (Odd)

S

ลอจิก “0” (space)

ค่าที่ใช้ในการกำหนดจำนวนบิตมี 5 ค่าคือ 4,5,6,7 และ 8 (เป็นค่าปกติ)

ค่าที่ระบุจำนวนบิตปิดท้ายมี 3 ค่าคือ 1 (เป็นค่าปกติ) ,1,5 และ 2

เอกสารนี้เป็นเอกสารที่สงวนไว้สำหรับการใช้งานเพื่อการศึกษาเท่านั้น ไม่อนุญาตให้นำไปใช้ประโยชน์ด้านการค้า  
ไม่ว่ากรณีใดๆ ทั้งสิ้น อีกทั้งห้ามมิให้ดัดแปลงเนื้อหา และต้องอ้างอิงถึงเจ้าของเอกสารทุกครั้งที่มีการนำไปใช้

ตัวอย่างการใช้งานคำสั่ง Setting โดยจะเป็นการกำหนดค่าบอดเรตเท่ากับ 9600 ไม่มีพาริตี จำนวนข้อมูล 8 บิต และบิตปิดท้าย 1 บิต สามารถเขียนโปรแกรมได้ดังนี้

```
MSComm.Setting = "9600, N, 8, 1"
```

หมายเหตุ สาเหตุที่ค่ากำหนดจะต้องอยู่ภายในเครื่องหมายคำพูด "" เนื่องจาก ค่าที่กำหนดนี้อยู่ในรูป ตัวแปร String

#### 3.4.4 PortOpen

ใช้ในการกำหนดและอ่านค่าสถานะของพอร์ตอนุกรม เพื่อเปิดและปิดพอร์ตอนุกรม รูปแบบการใช้งาน

```
object.PortOpen [ = value ]
```

ค่า Value มีชนิดข้อมูลเป็นแบบบูลีน คือ True และ False โดย True หมายถึงการเปิดพอร์ตอนุกรม และ False หมายถึงการปิดพอร์ตอนุกรม สำหรับการปิดพอร์ตนั้นจะมีการเคลียร์บัฟเฟอร์รับข้อมูลและบัฟเฟอร์ส่งข้อมูลด้วย คอนโทรล MSComm จะปิดพอร์ตอนุกรมโดยอัตโนมัติเมื่อออกจากโปรแกรมก่อนที่จะใช้คุณสมบัติ PortOpen ต้องตรวจสอบให้แน่ใจก่อนว่าคุณสมบัติ CommPort นั้นได้ทำการกำหนดตำแหน่งของพอร์ตอนุกรมไว้ถูกต้องหรือไม่ มิเช่นนั้น MSComm จะแสดงข้อผิดพลาด error 68 แจ้งแก่ผู้ใช้งาน หรือถ้าพอร์ตอนุกรมนั้นถูกปิดเอาไว้แล้ว โปรแกรมก็จะแจ้งข้อผิดพลาดออกมาเช่นเดียวกัน

ถ้าคุณสมบัติ DTREnable หรือ RTSEnable ถูกกำหนดให้เป็น True ก่อนที่จะทำการเปิดพอร์ต ค่าคุณสมบัตินี้ DTREnable หรือ RTSEnable จะถูกเซตเป็น False หลังจากเปิดพอร์ต แต่ถ้าเซตเป็น False หลังจากเปิดโปรแกรมแล้ว ค่าที่กำหนดไว้จะเป็นค่าเดิม

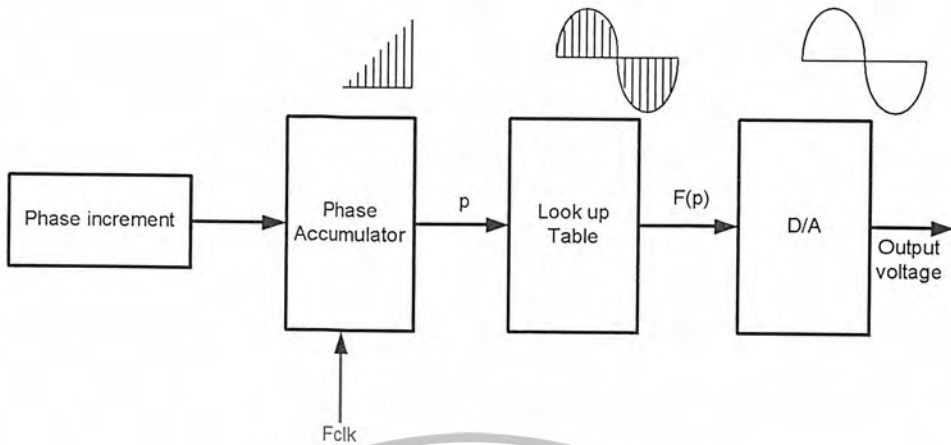
ตัวอย่างการใช้คำสั่งเปิดพอร์ต เพื่อติดต่อสื่อสารกับพอร์ตอนุกรม COM1 และมีบอดเรต 9600 บิตต่อวินาที ไม่มีพาริตี จำนวนข้อมูล 8 บิต และบิตปิดท้าย 1 บิต มีดังนี้

```
MSComm1.Setting = "9600, N, 8, 1"
```

```
MSComm1.Commport = 1
```

```
MSComm1.PortOpen = True
```

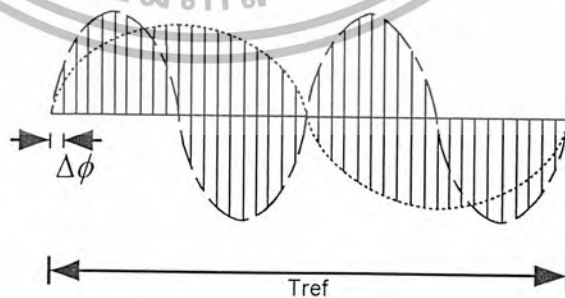
### 3.5 Direct Digital Frequency Synthesizer ( DDS )



รูปที่ 3.6 แสดง Block Diagram โครงสร้างของวงจรสังเคราะห์ความถี่ที่ใช้หน่วยความจำเป็นค่าขนาดของสัญญาณเอาไว้

วงจรสังเคราะห์ความถี่ดิจิทัลออกแบบโดยตรง มีโครงสร้างหลัก ๆ ตามรูปที่ 3.6 จะอาศัยหน่วยความจำเพื่อเก็บค่าขนาดของสัญญาณที่เฟสต่าง ๆ เอาไว้ ซึ่งรูปสัญญาณที่เก็บเอาไว้ อาจจะเป็นรูปสัญญาณไซน์ (Sine) สัญญาณรูปฟันเลื่อย (sawtooth) หรือรูปสัญญาณอื่น ๆ ที่ผู้ใช้งานได้ทำการออกแบบไว้ เมื่อต้องการรูปสัญญาณออกมาที่เอาท์พุท ก็จะมีการเรียกข้อมูลทีเฟสต่าง ๆ ที่เก็บเอาไว้ออกมา เพื่อป้องกันให้กับวงจรแปลงสัญญาณดิจิทัลเป็นอนาลอก ดังรูปที่ 3.6

หากต้องการจะเปลี่ยนความถี่ของสัญญาณก็ทำได้โดย การเปลี่ยนอัตราความเร็วเรียกข้อมูลออกจากหน่วยความจำ (เป็นความเร็วของสัญญาณนาฬิกา) หรือเปลี่ยนลำดับการเรียกข้อมูลที่เฟสต่าง ๆ เพื่อให้จำนวนของ ข้อมูลในหนึ่งคาบของสัญญาณเปลี่ยนไป ดังเช่นในรูปที่ 3.7 จะเห็นว่า มีรูปของสัญญาณสองความถี่ รูปสัญญาณที่มีความถี่สูงกว่า จะมีจำนวนข้อมูลที่ถูกเรียกออกมา น้อยกว่ารูปสัญญาณที่มีความถี่ต่ำกว่า



รูปที่ 3.7 วงจรสร้างสัญญาณไซน์แบบเชิงเลข

เอกสารนี้เป็นเอกสารที่สงวนไว้สำหรับการใช้งานเพื่อการศึกษาเท่านั้น ไม่อนุญาตให้นำไปใช้ประโยชน์ด้านการค้าไม่ว่ากรณีใดๆ ทั้งสิ้น อีกทั้งห้ามมิให้ตัดแปลงเนื้อหา และต้องอ้างอิงถึงเจ้าของเอกสารทุกครั้งที่มีการนำไปใช้

มีข้อสังเกตคือ ระยะ ระหว่างข้อมูลที่ถูกเรียกออกมาของสัญญาณทั้งสองความถี่มีค่าเท่ากัน ดังนั้นความละเอียดในการเปลี่ยนความถี่ขึ้นอยู่กับขนาดของหน่วยความจำที่ใช้เก็บข้อมูล

หลักการของวงจรสังเคราะห์ความถี่ดิจิทัลแบบโดยตรง ( Direct Digital Frequency Synthesizer ) นั้นจะมีสัญญาณนาฬิกา ( Fclk ) นำมาป้อนให้กับส่วนของ Phase Accumulator ซึ่งวงจรนี้จะทำการบวกวนซ้ำด้วยค่าที่รับเข้ามาจากส่วน เพิ่มเฟส ผลของการบวกจะได้ค่าออกมาเป็น เฟสสะสม P ค่าสะสมเฟส P นี้จะมีลักษณะเพิ่มขึ้นด้วยจำนวนเท่ากันทุกครั้งที่ทำกรบวก ตามจังหวะสัญญาณนาฬิกาอ้างอิง ( Fclk ) ค่าเฟสสะสม P จะนำไปใช้ในตารางเปิดดู ( Look up table ) ซึ่งได้จัดเก็บค่าขนาดของรูปสัญญาณไว้แล้ว ซึ่งจะได้สัญญาณ F(P) ออกมา ซึ่งเป็นค่าแบบดิจิทัล มาทำการเปลี่ยนเป็นค่า อนุalog ด้วยวงจร Digital – to – Analog Conwertor (DAC) ก็จะได้ Output voltage เป็นสัญญาณแบบที่ต้องการ ความถี่ที่สามารถกำเนิดได้จากโครงสร้างนี้ คือ

$$F_{out} (min) = F_{clk} / 2^N$$

$$F_{out} = (Frequency\ Input \times F_{clk}) / 2^N$$

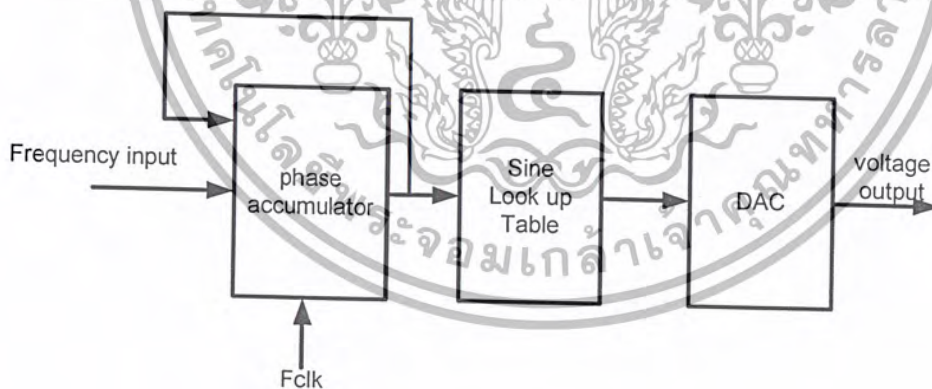
เมื่อ

Fout = Frequency Output

Fclk = Frequency Clock

N = จำนวน bit ของ Phase Accumulator

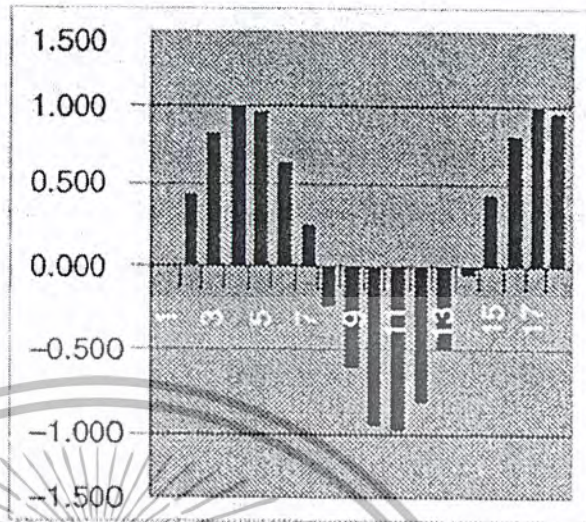
ถ้าค่า N มีค่ามาก Step size ของความถี่จะมีความละเอียดมากขึ้นด้วย



รูปที่ 3.8 แสดงการกำเนิดสัญญาณไซน์แบบดิจิทัล ที่มีค่า Phase Increment เท่ากับ 55

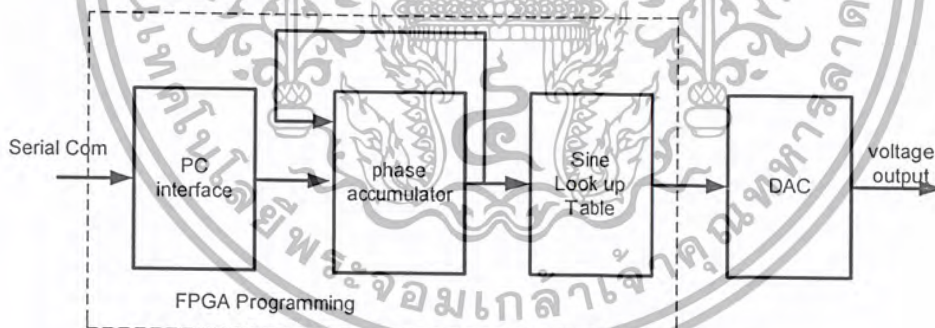
## Phase increment register &gt; 55

Time	Phase	Sinus
0	0	0.000
1	55	0.462
2	110	0.819
3	165	0.991
4	220	0.940
5	275	0.676
6	330	0.259
7	385	-0.216
8	440	-0.643
9	495	-0.924
10	550	-0.996
11	605	-0.843
12	660	-0.500
13	715	-0.044
14	770	-0.423
15	825	0.793
16	880	0.985
17	935	0.954



รูปที่ 3.9 Phase Increment เท่ากับ 55

## 3.5.1 การออกแบบ และการสร้าง



รูป.3.10 โครงสร้างการกำเนิดสัญญาณแบบตรง

ในการออกแบบและการสร้างโครงสร้างของ การกำเนิดสัญญาณแบบตรง ( Direct Digital Frequency Synthesizers ) ที่ออกแบบโดยใช้ VHDL เมื่อให้ FPGA ทำงานนั้นจะมีอยู่ 3 ส่วนหลัก ๆ คือ

. ส่วนที่ใช้ติดต่อกับคอมพิวเตอร์ ( Computer Interface ) ซึ่งส่วนนี้จะใช้ในการรับข้อมูล แบบ Asynchronous ซึ่งมีข้อมูล 8 bits และ Start bit 1 bit และ Stop bit 1 bit ผ่านทางพอร์ตอนุกรมของคอมพิวเตอร์ ในส่วนทาง Hardware นั้นจะต้องมีวงจรปรับระดับแรงดันก่อนที่จะส่งเข้า FPGA ด้วย

ในการออกแบบทางด้าน FPGA ของส่วนนี้ ก็จะประกอบไปด้วยส่วนหลัก ๆ คือ

เอกสารนี้เป็นเอกสารที่สงวนไว้สำหรับการใช้งานเพื่อการศึกษาเท่านั้น ไม่อนุญาตให้นำไปใช้ประโยชน์ด้านการค้า ไม่ว่ากรณีใดๆ ทั้งสิ้น อีกทั้งห้ามมิให้ดัดแปลงเนื้อหา และต้องอ้างอิงถึงเจ้าของเอกสารทุกครั้งที่มีการนำไปใช้

1.1 ส่วนหารความถี่ เนื่องจากสัญญาณนาฬิกาที่ป้อนให้วงจรทำงานนั้นใช้ความถี่ 9.6 MHz แต่อัตราการส่งของข้อมูลที่ออกจากคอมพิวเตอร์ ผ่านทางพอร์ตอนุกรมนั้น เรากำหนดอัตราการรับส่งที่ 9600 บิต ต่อวินาที ดังนั้นต้องทำการหารสัญญาณนาฬิกา เพื่อให้ได้ 9600 Hz เพื่อให้การรับส่งข้อมูลเป็นไปอย่างถูกต้อง

1.2 ส่วนของการรับข้อมูล จะเป็นส่วนที่ใช้รับข้อมูลจากคอมพิวเตอร์ และจะมีการตรวจสอบ Stop bit เพื่อใช้เป็นสัญญาณ enable ให้กับส่วนของวงจร Latch ด้วย

1.3 ส่วนของวงจร Latch จะรับค่าเข้ามาเก็บไว้จนข้อมูลที่ส่งจากคอมพิวเตอร์รับได้หมด แล้วจึงจะทำการส่งข้อมูลไปให้ส่วนอื่น ๆ ที่ต้องใช้งานต่อไป

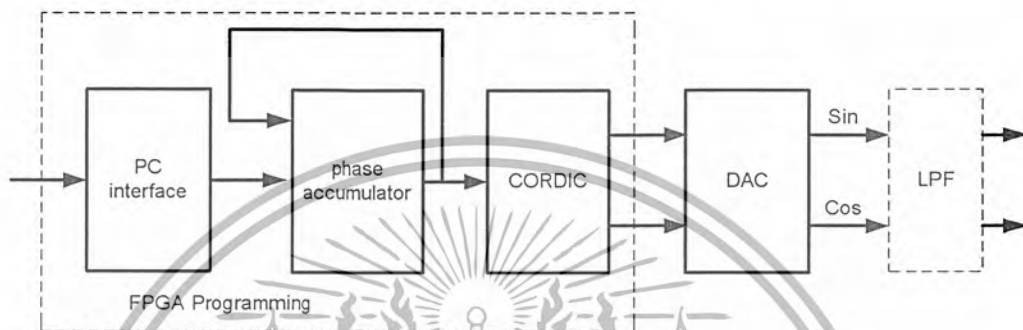
2. ส่วนของวงจร Phase Accumulator ในส่วนของ Phase Accumulator นี้ ได้ทำการออกแบบให้ทำการประมวลผลสัญญาณขนาด 24 bits และจะมีการส่งออกเป็น Output เพื่อไปใช้เป็น Address ของ Look up table ของสัญญาณที่ได้ออกแบบไว้

3. ส่วนของตารางเปิดดู (Look up table) เป็นส่วนที่ใช้ในการเก็บรูปแบบของสัญญาณที่เราจะทำการกำเนิดออกไป ซึ่งในส่วนนี้โครงสร้าง DDS ที่ออกแบบไว้จะกำเนิดรูปแบบสัญญาณได้ 5 รูปแบบสัญญาณ โดยรูปแบบสัญญาณไซน์ และสัญญาณสามเหลี่ยม จะมีการเก็บค่าไว้ในตารางเปิดดู โดยใช้เพียง 64 ค่า ส่วนของสัญญาณรูปสี่เหลี่ยม จะเก็บค่าไว้เพียง 2 ค่า คือ "0" และ "1" ในการกำเนิดสัญญาณแบบนี้ ทำได้โดยการตรวจสอบ bit สูงสุดที่รับเข้ามาจาก Phase Accumulator

สัญญาณรูปฟันเลื่อย ได้จากค่า Output ของ Phase Accumulator และสัญญาณสุ่มจะได้จากโครงสร้างของ Linear Feed Back Shift Register (LFSR) ซึ่งค่าสัญญาณทุกแบบจะใช้ 8 bit เพื่อส่งให้กับ Digital-to-Analog Converter ขนาด 8 bit

### 3.6 การสร้างและการออกแบบ CORDIC

ในการสร้างของการกำเนิดสัญญาณแบบ CORDIC นี้จะให้สัญญาณ Sine และ Cosine พร้อมกัน ซึ่งโครงสร้างเล็ก ๆ จะคล้ายกับโครงสร้างของการออกแบบวงจรถ่ายกำเนิดสัญญาณแบบตรง ต่างกันตรงที่เราจะใช้ส่วนของ CORDIC นี้ไปทำงานแทนการใช้ Look up table ซึ่งค่าอินพุตของ CORDIC ก็ได้มาจากส่วนของวงจร Phase Accumulator ซึ่งมีขนาด 20 bit และการประมวลผลจะใช้โครงสร้างของ CORDIC แบบลำดับ ซึ่งใช้การประมวลผล 10 ลำดับ ก่อนที่จะได้ค่าสัญญาณ Sine และ Cosine ขนาด 8 bit ส่งให้ส่วนวงจร Digital-to-Analog Converter



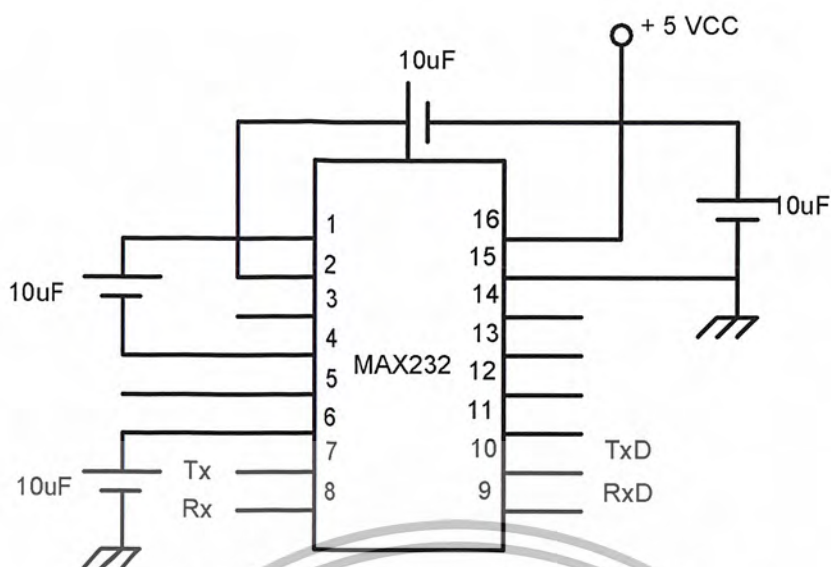
รูปที่ 3.11 แสดงการทำงานของวงจรถ่ายกำเนิดสัญญาณ Sine และ Cosine โดยใช้ CORDIC Algorithm

### 3.7 วงจรแปลงระดับแรงดัน

ในการเชื่อมต่ วงจรที่ทำงานระดับแรงดันแบบที่ทีแอล- เข้ากับพอร์ต RS-232 ของเครื่องคอมพิวเตอร์ที่มีระดับแรงดัน -15 โวลต์ ถึง +15 โวลต์ นั้นจะต้องมีวงจรพิเศษเพื่อทำการเปลี่ยนแปลงระดับแรงดันให้เหมาะสมซึ่งในที่นี้เราได้เลือกใช้ MAX 232 ซึ่งใช้อุปกรณ์ประกอบจากภายนอกน้อยคือใช้ C เพียง 5 ตัวเท่านั้น

#### 3.7.1 หลักการทำงาน

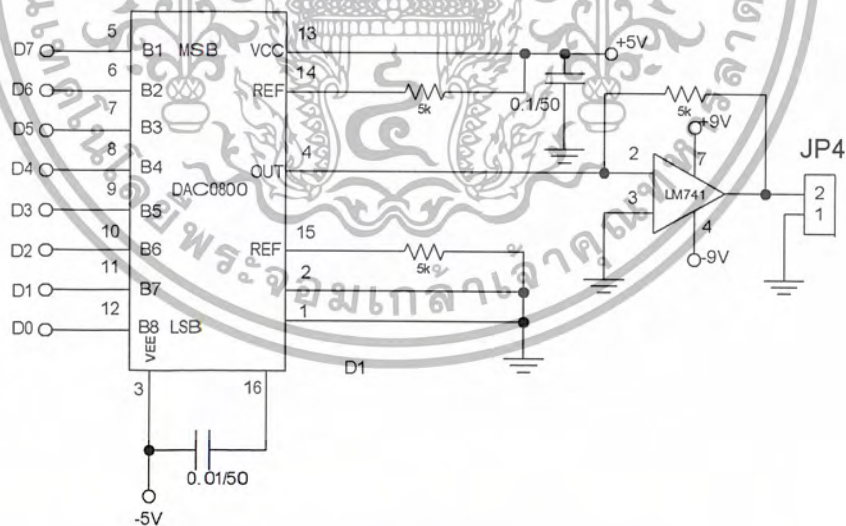
จากวงจรจะใช้ C ที่ต่อระหว่างขา 1 กับ 3, ระหว่างขา 4 กับ 5, ขา 2 กับ 6 เป็นตัวกำหนดระดับแรงดันที่ใช้ในการเชื่อมต่อโดยขา R11 และ R21 จะเป็นขาที่รับระดับแรงดัน -15 โวลต์ ถึง +15 โวลต์ และแปลงออกเป็นแรงดัน 0 โวลต์ และ +5 โวลต์ ตามลำดับ ออกที่ขา R10 และ R20 ส่วนขา T11 และ T21 จะรับแรงดันที่เป็น 0 โวลต์ และ +5 โวลต์ ตามลำดับ แปลงเป็นระดับแรงดัน -10 โวลต์ +10 โวลต์ ออกที่ขา T10 และ T20



รูปที่ 3.12 วงจรแปลงระดับแรงดัน เบอร์ MAX232

### 3.8 วงจรแปลงระดับสัญญาณดิจิทัลเป็นอนาล็อก

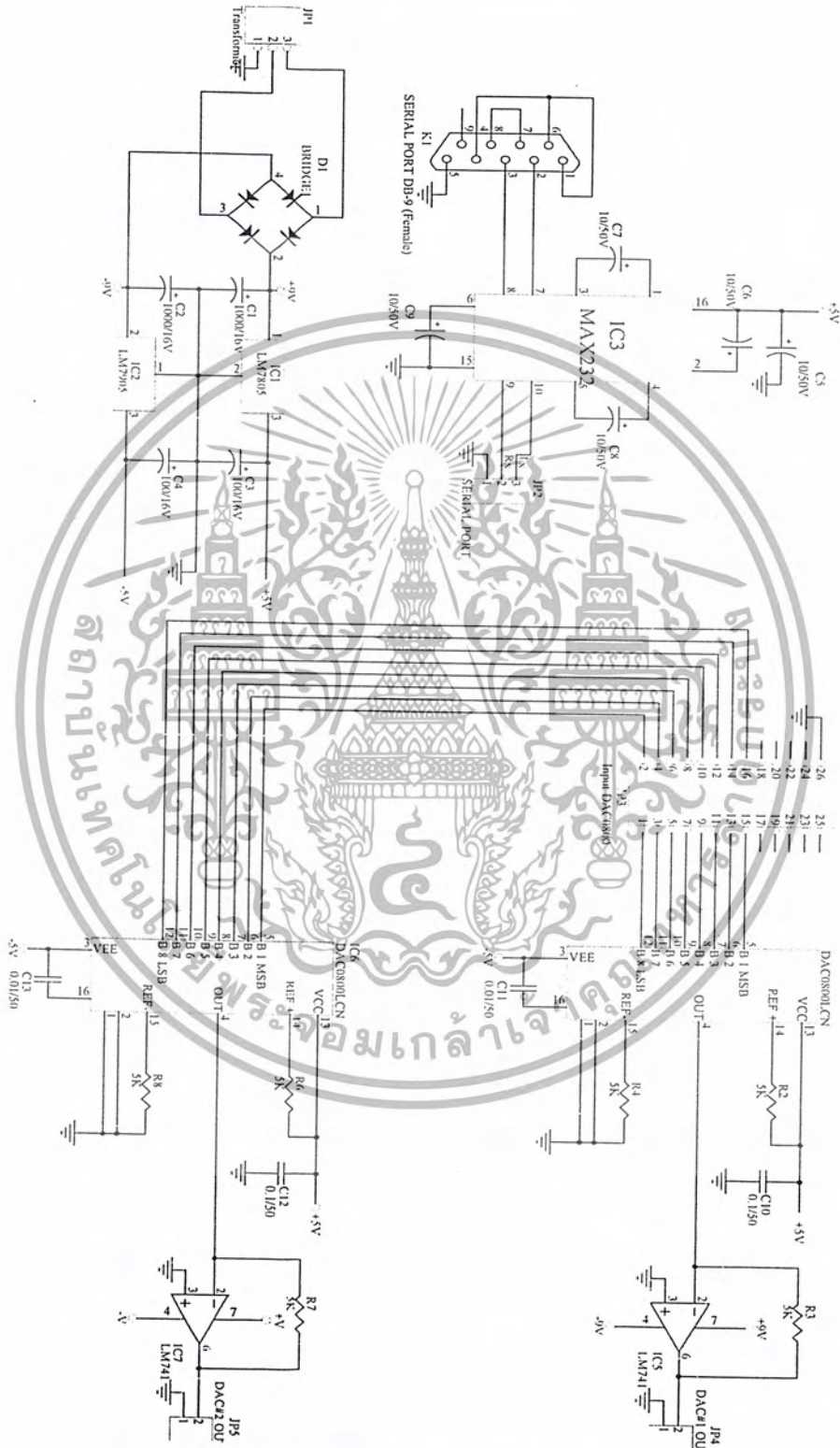
เป็นส่วนที่นำสัญญาณ Output จาก FPGA ที่เป็นสัญญาณแบบดิจิทัล ขนาด 8 bit มาแปลงให้สัญญาณ Analog โดยใช้ IC DAC0800 วงจรใช้งานแสดงดังรูป



รูปที่ 3.13 วงจรแปลงระดับสัญญาณดิจิทัลเป็นอนาล็อก

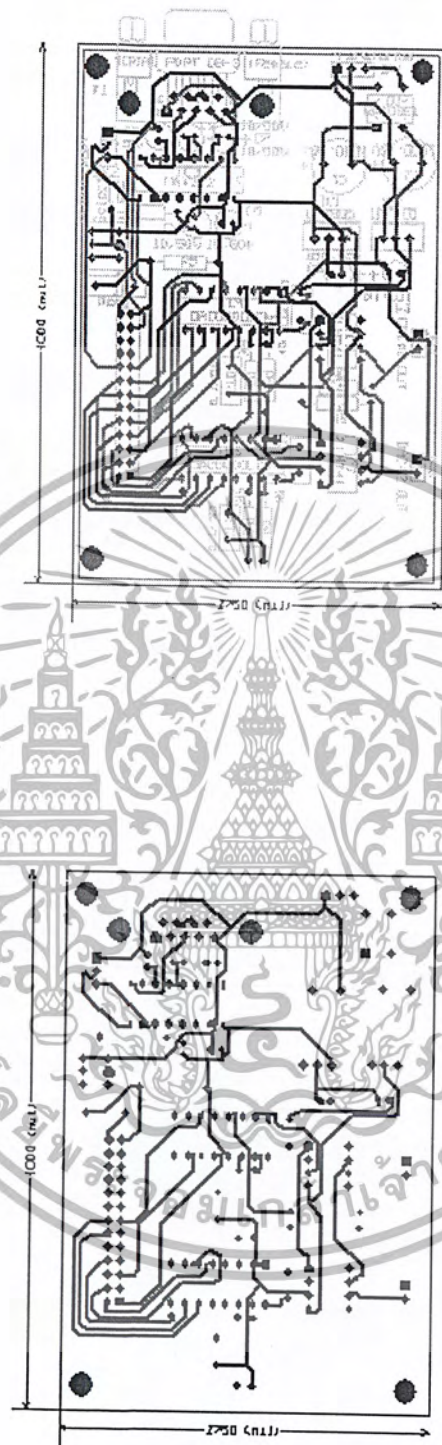
เอกสารนี้เป็นเอกสารที่สงวนไว้สำหรับการใช้งานเพื่อการศึกษาเท่านั้น ไม่อนุญาตให้นำไปใช้ประโยชน์ด้านการค้า ไม่ว่ากรณีใดๆ ทั้งสิ้น อีกทั้งห้ามมิให้ดัดแปลงเนื้อหา และต้องอ้างอิงถึงเจ้าของเอกสารทุกครั้งที่มีการนำไปใช้

3.9 การออกแบบลายวงจรและลายวงจร

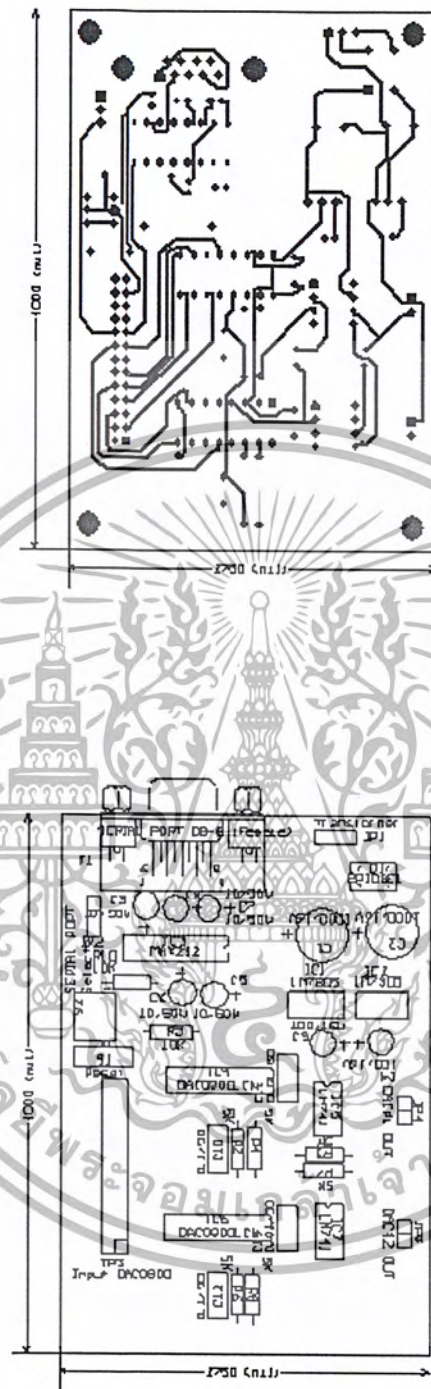


รูปที่ 3.14 วงจรรวมของ MAX 232 กับ DAC

เอกสารนี้เป็นเอกสารที่สงวนไว้สำหรับการใช้งานเพื่อการศึกษาเท่านั้น ไม่นอนุญาตให้นำไปใช้ประโยชน์ด้านการค้า  
ไม่ว่ากรณีใดๆ ทั้งสิ้น อีกทั้งห้ามมิให้ดัดแปลงเนื้อหา และต้องอ้างอิงถึงเจ้าของเอกสารทุกครั้งที่มีการนำไปใช้

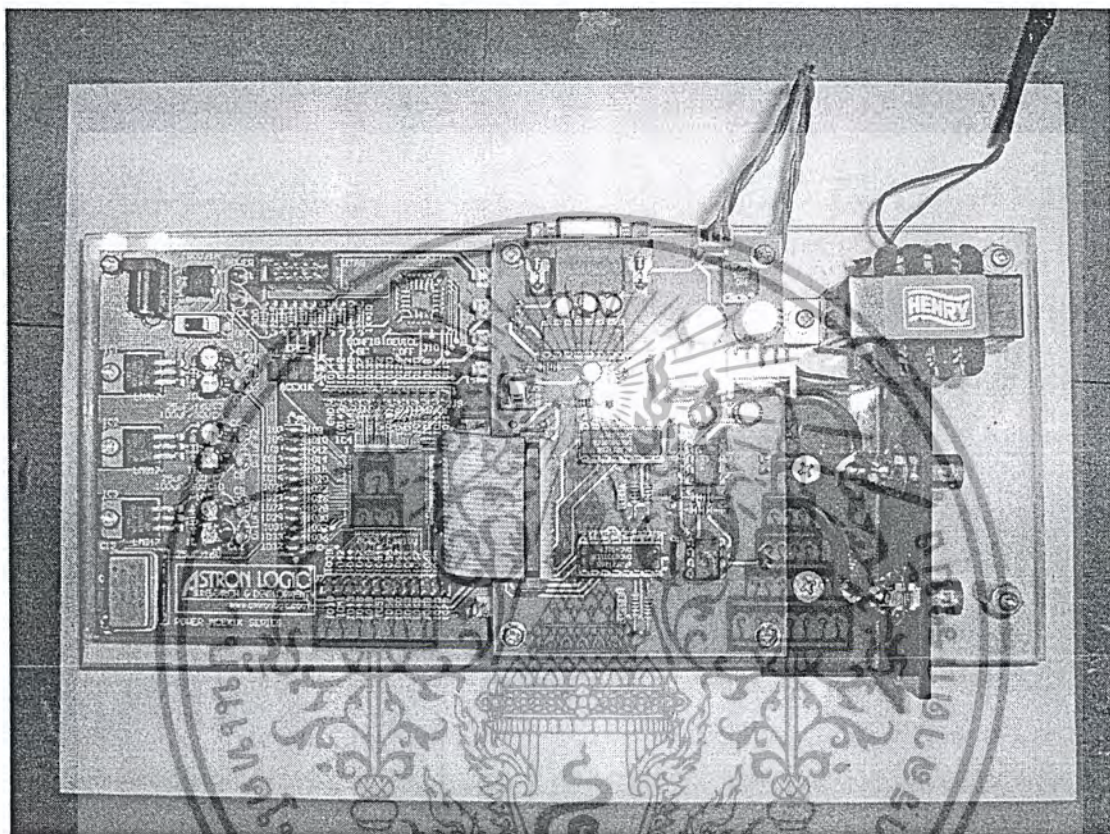


เอกสารนี้เป็นเอกสารที่สงวนไว้สำหรับการใช้งานเพื่อการศึกษาเท่านั้น ไม่อนุญาตให้นำไปใช้ประโยชน์ด้านการค้า  
ไม่ว่ากรณีใดๆ ทั้งสิ้น อีกทั้งห้ามมิให้ดัดแปลงเนื้อหา และต้องอ้างอิงถึงเจ้าของเอกสารทุกครั้งที่มีการนำไปใช้



รูปที่ 3.15 ลายวงจรและการวางอุปกรณ์

เอกสารนี้เป็นเอกสารที่สงวนไว้สำหรับการใช้งานเพื่อการศึกษาเท่านั้น ไม่อนุญาตให้นำไปใช้ประโยชน์ด้านการค้า ไม่ว่ากรณีใดๆ ทั้งสิ้น อีกทั้งห้ามมิให้ดัดแปลงเนื้อหา และต้องอ้างอิงถึงเจ้าของเอกสารทุกครั้งที่มีการนำไปใช้



รูปที่ 3.16 ภาพถ่ายอุปกรณ์และวงจรใช้งานจริง

เอกสารนี้เป็นเอกสารที่สงวนไว้สำหรับการใช้งานเพื่อการศึกษาเท่านั้น ไม่อนุญาตให้นำไปใช้ประโยชน์ด้านการค้าไม่ว่ากรณีใดๆ ทั้งสิ้น อีกทั้งห้ามมิให้ดัดแปลงเนื้อหา และต้องอ้างอิงถึงเจ้าของเอกสารทุกครั้งที่มีการนำไปใช้

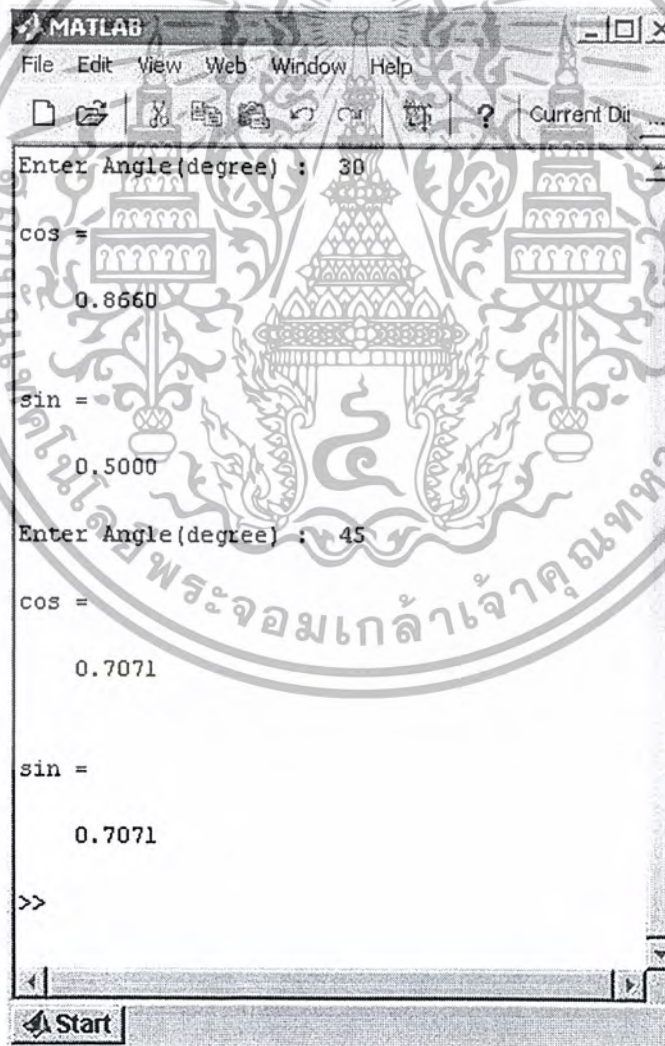
## บทที่ 4

### การทดลองและผลการทดลอง

การออกแบบวงจรถ้าเนตสัญญาณไซน์แบบดิจิทัล ซึ่งประกอบด้วย 2 ส่วน คือ ส่วนของโครงสร้าง CORDIC และส่วนของโครงสร้างวงจรถ้าเนตสัญญาณแบบดิจิทัล ที่มีโครงสร้างแบบคู่ควบ ในส่วนของ CORDIC จะทำการจำลองการทำงานโดยใช้โปรแกรม MATLAB และวงจรถ้าเนตสัญญาณดิจิทัลที่มีโครงสร้างแบบคู่ควบนั้น จะใช้การอธิบายพฤติกรรมการทำงานของวงจร ด้วยภาษา VHDL และจำลองการทำงาน

#### 4.1 การจำลองการทำงานส่วนของ CORDIC ด้วย MATLAB

จะอาศัยโปรแกรม MATLAB ในการจำลองการทำงาน เพื่อหาค่ามุม  $\cos \theta$  และ  $\sin \theta$  เพื่อเป็นค่าเริ่มต้นให้กับส่วนของวงจรถ้าเนตสัญญาณดิจิทัล ที่มีโครงสร้างแบบคู่ควบ



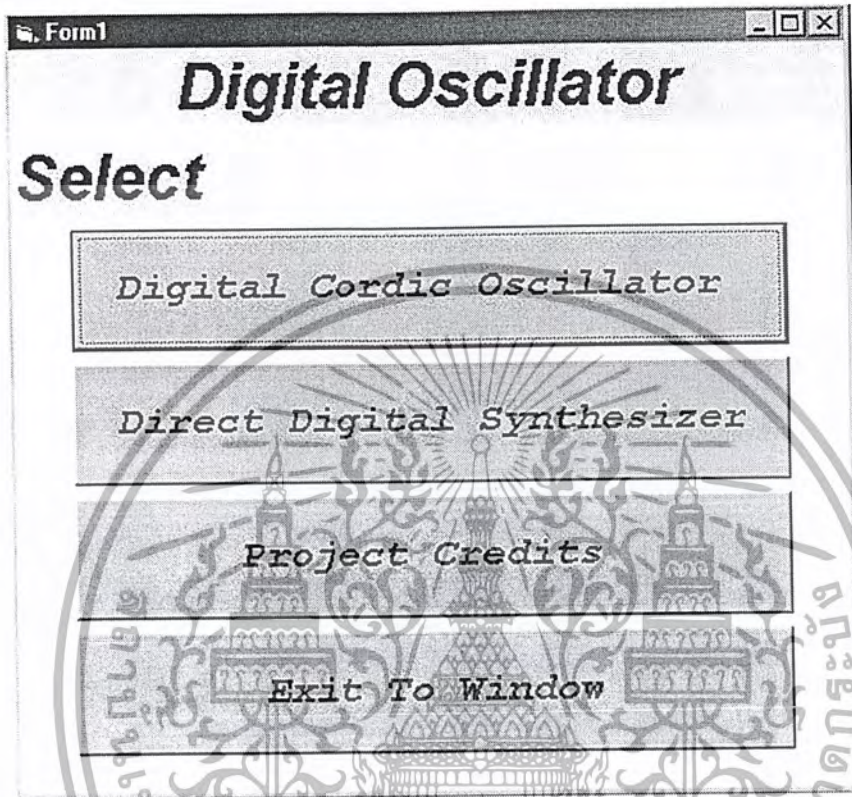
```
MATLAB
File Edit View Web Window Help
[Icons] Current Dir ...
Enter Angle (degree) : 30
cos =
    0.8660
sin =
    0.5000
Enter Angle (degree) : 45
cos =
    0.7071
sin =
    0.7071
>>
```

รูปที่ 4.1 ผลการจำลองการทำงานของ CORDIC ในการหาค่า  $\cos \theta$  และ  $\sin \theta$  โดยใช้ MATLAB

เอกสารนี้เป็นเอกสารที่สงวนไว้สำหรับการใช้งานเพื่อการศึกษาเท่านั้น ไม่อนุญาตให้นำไปใช้ประโยชน์ด้านการค้า ไม่ว่ากรณีใดๆ ทั้งสิ้น อีกทั้งห้ามมิให้ตัดแปลงเนื้อหา และต้องอ้างอิงถึงเจ้าของเอกสารทุกครั้งที่มีการนำไปใช้

#### 4.2 โปรแกรมการใช้งานการเชื่อมต่อผ่านพอร์ตอนุกรม โดยใช้วีซวลเบสิก

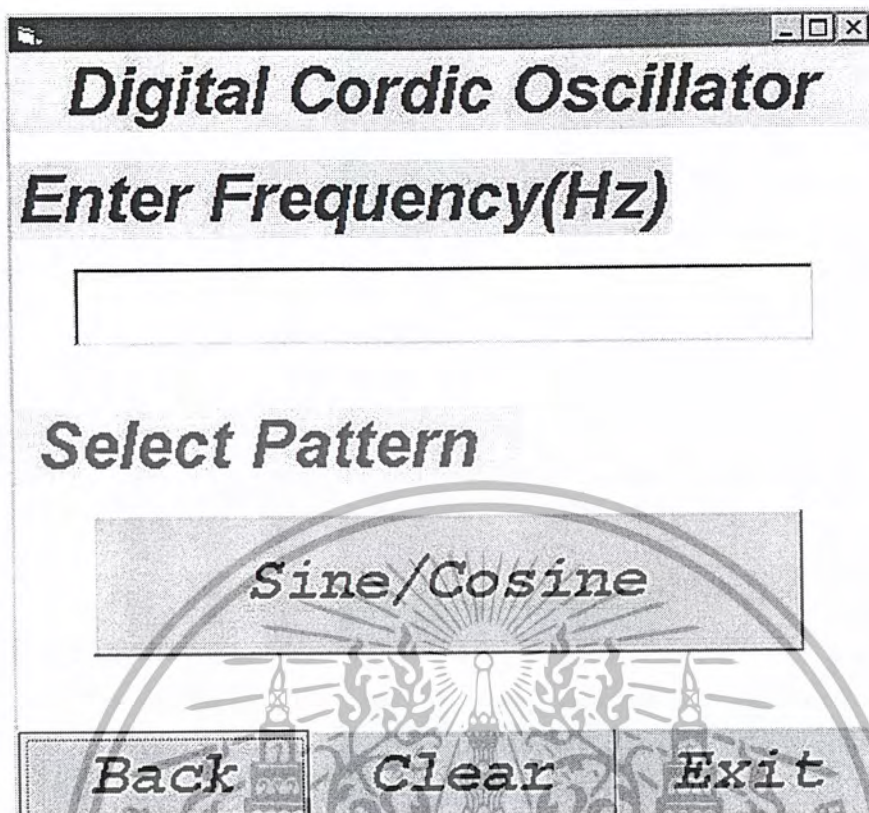
การทำงานของโปรแกรมที่เขียนด้วยวีซวลเบสิกมีความสะดวกในการเชื่อมต่อผ่านพอร์ตอนุกรม เราจึงนำข้อดีดังกล่าว มาประยุกต์ใช้ในการทำ Oscillator



รูปที่ 4.2 แสดง เมนูหลัก ของโปรแกรมการใช้งาน Digital Oscillator

จากรูปที่ 4.2 ประกอบด้วย Text Block ที่ใช้สำหรับเชื่อมโยงไปยัง Menu ต่าง ๆ ดังนี้

1. Digital Cordic Oscillator ใช้สำหรับในการเรียกใช้ Cordic Oscillator
2. Digital DDS Oscillator ใช้สำหรับในการเรียกใช้ DDS Oscillator
3. Project Credits ใช้สำหรับเรียกดูชื่อผู้จัดทำ และอาจารย์ที่ปรึกษา
4. Exit To Window ใช้สำหรับออกไปยัง Window



รูปที่ 4.3 แสดงเมนู ของ Digital Cordic Oscillator

จากรูปที่ 4.3 ทำการป้อนความถี่เพื่อที่จะสร้างสัญญาณตามที่ต้องการ โดยสามารถแสดงได้ทั้ง Sine และ Cosine

Form6

# Direct Digital Synthesizer

## Enter Frequency(Hz)

### Select Pattern

Sin	Rec	Tri
Saw	Random	Credit
Back	Clear	Exit

รูปที่ 4.4 แสดงเมนู ของ Direct Digital Synthesizer

จากรูปที่ 4.4 เราสามารถจะเลือกที่จะทำการกำเนิดสัญญาณในรูปแบบต่างๆ ได้ดังนี้ คือ สัญญาณซายน์ สัญญาณสี่เหลี่ยม สัญญาณสามเหลี่ยม สัญญาณฟันเลื่อย สัญญาณสุ่ม ที่ความถี่ต่างๆ ได้ตามต้องการ

The screenshot shows a window titled "Form5" with a standard Windows-style title bar. The main content area is titled "Project Credits" in a large, bold, serif font. Below the title, there are two sections: "Interactive" and "Consultant", both underlined. Under "Interactive", there are two columns of names and roles: "Tongchai Subin" and "Pirth Gaterut" in the first column, and "Design programming" in the second column. Under "Consultant", there are two columns: "Dr.Kobchai Dejhan" and "Mr.Sorawat Chivaprecha" in the first column, and "Adviser" in the second column. At the bottom of the window, there are two buttons: "Back" and "Exit". A large, faint watermark of a university seal is visible in the background of the window.

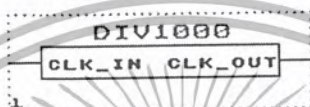
รูปที่ 4.5 แสดงเมนู Project Credits

จากรูปที่ 4.5 แสดงรายละเอียดของผู้จัดทำและอาจารย์ที่ปรึกษาในส่วนของการทำโปรเจ็ค

### 4.3 การออกแบบวงจรส่วนต่างๆ โดยใช้ภาษา VHDL

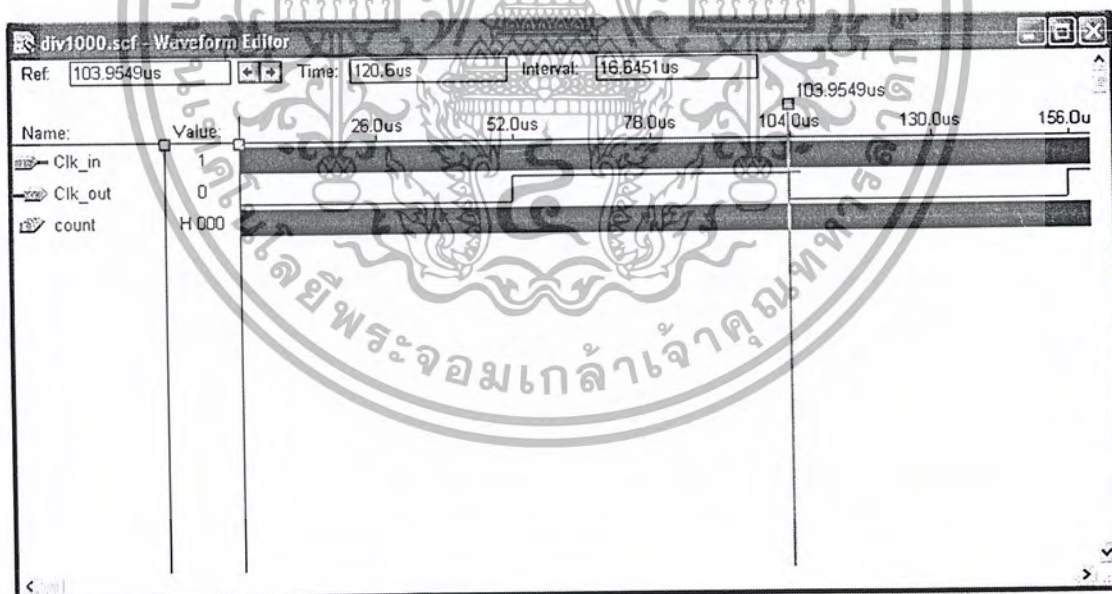
#### 4.3.1 ส่วนของวงจร DIV 1000

ทำหน้าที่เป็นโมดูลของวงจรหารความถี่ เนื่องจากภายในบอร์ด ACEX1K-50 ใช้แหล่งกำเนิดแบบ Module Oscillator ความถี่ 9.6MHz แต่ความถี่ที่ได้จะใช้เป็น Baud Rate ที่เราต้องการในการรับ มีค่าเท่ากับ 9600MHz เพราะฉะนั้นเราจะต้องทำการหารความถี่ที่ได้จาก Module Oscillator ลงให้เหลือเพียง 9600 MHz ซึ่งค่าของตัวหารจะเท่ากับ  $9.6\text{MHz} / 9600\text{ Hz}$  เท่ากับ 1000 มีลักษณะดังรูป



รูปที่ 4.6 สัญลักษณ์ของส่วนวงจร DIV 1000

จากโปรแกรมที่เขียนขึ้นสามารถจำลองการทำงาน (simulation) ได้ดังนี้

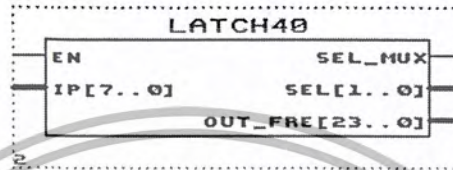


รูปที่ 4.7 ผลการจำลองการทำงานของส่วนวงจร DIV 1000

เอกสารนี้เป็นเอกสารที่สงวนไว้สำหรับการใช้งานเพื่อการศึกษาเท่านั้น ไม่อนุญาตให้นำไปใช้ประโยชน์ด้านการค้าไม่ว่ากรณีใดๆ ทั้งสิ้น อีกทั้งห้ามมิให้ดัดแปลงเนื้อหา และต้องอ้างอิงถึงเจ้าของเอกสารทุกครั้งที่มีการนำไปใช้

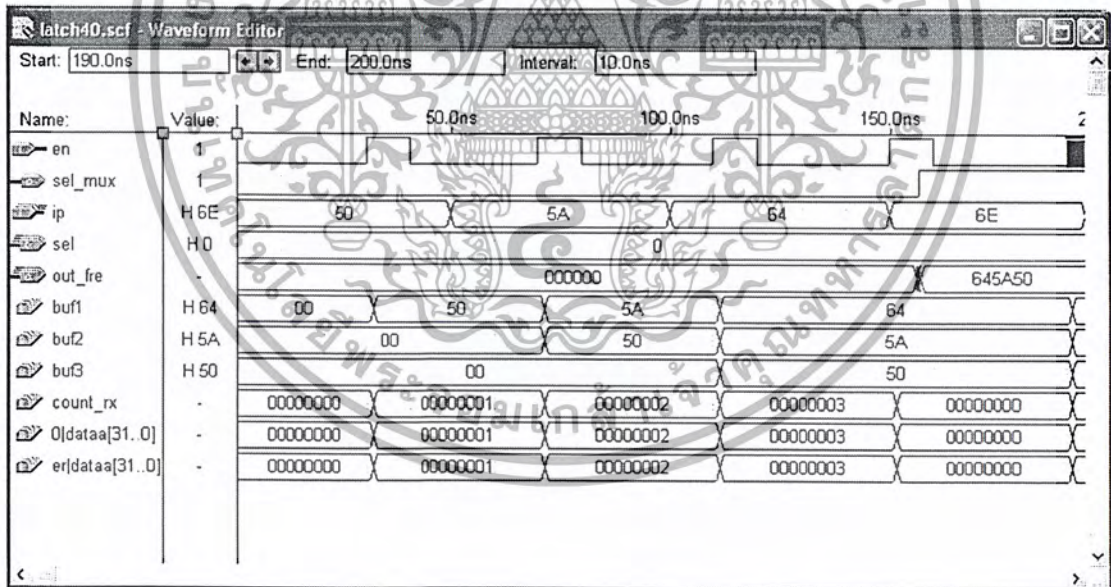
### 4.3.2 ส่วนของวงจร LATCH

เป็นโมดูลของวงจร D Flip Flop ทำหน้าที่ Latch ค่าข้อมูลที่รับมาได้ และส่งค่าที่ได้รับมาให้กับส่วนต่างๆ ที่จะนำไปใช้งาน มีลักษณะดังรูป



รูปที่ 4.8 สัญลักษณ์ของส่วนวงจร LATCH

จากโปรแกรมที่เขียนขึ้นสามารถจำลองการทำงาน (simulation) ได้ดังนี้

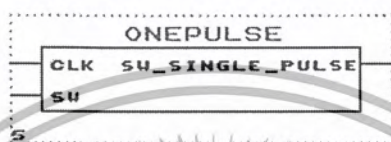


รูปที่ 4.9 ผลการจำลองการทำงานของส่วนวงจร LATCH

เอกสารนี้เป็นเอกสารที่สงวนไว้สำหรับการใช้งานเพื่อการศึกษาเท่านั้น ไม่อนุญาตให้นำไปใช้ประโยชน์ด้านการค้าไม่ว่ากรณีใดๆ ทั้งสิ้น อีกทั้งห้ามมิให้ตัดแปลงเนื้อหา และต้องอ้างอิงถึงเจ้าของเอกสารทุกครั้งที่มีการนำไปใช้

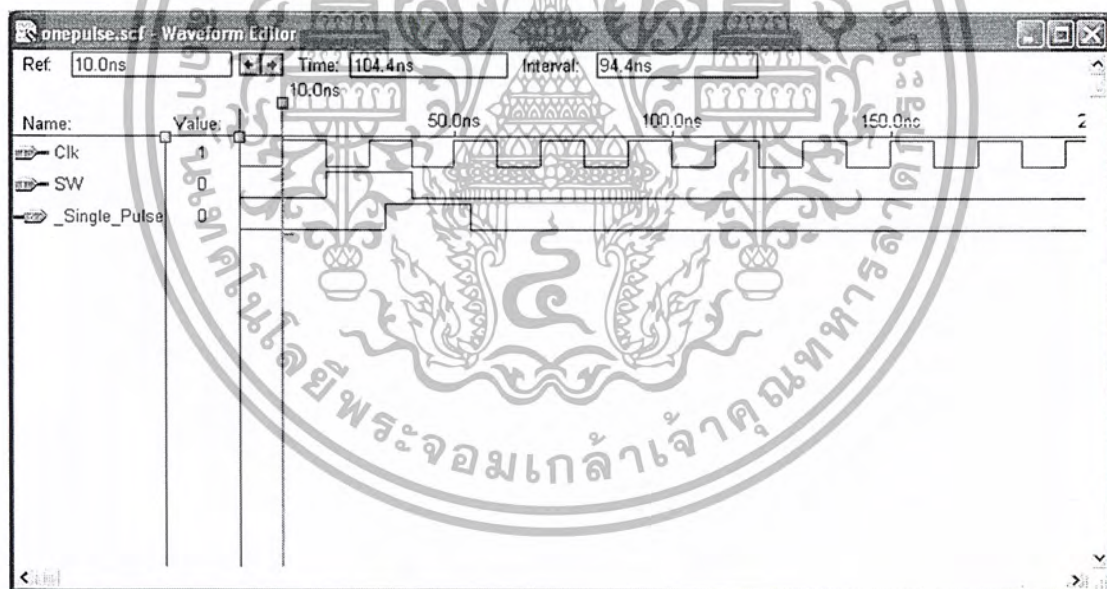
### 4.3.3 ส่วนของวงจร ONEPULSE

เป็นโมดูลรับค่าจากส่วนของ RX\_EN ของส่วน SERIAL\_COMMUNICATION โมดูลนี้จะทำการ Debounce สัญญาณที่รับและให้ Pulse ออกมา 1 ลูกเท่านั้น ขนาดของ Pulse จะเท่ากับเวลาที่ต่ออยู่กับอินพุต CLK ซึ่งมีลักษณะดังรูป



รูปที่ 4.10 สัญลักษณ์ของส่วนวงจร ONEPULSE

จากโปรแกรมที่เขียนขึ้นสามารถจำลองการทำงาน (simulation) ได้ดังนี้

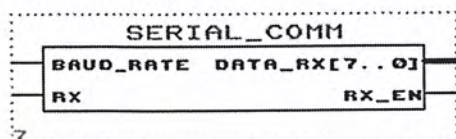


รูปที่ 4.11 ผลการจำลองการทำงานของส่วนวงจร ONEPULSE

เอกสารนี้เป็นเอกสารที่สงวนไว้สำหรับการใช้งานเพื่อการศึกษาเท่านั้น ไม่อนุญาตให้นำไปใช้ประโยชน์ด้านการค้าไม่ว่ากรณีใดๆ ทั้งสิ้น อีกทั้งห้ามมิให้ดัดแปลงเนื้อหา และต้องอ้างอิงถึงเจ้าของเอกสารทุกครั้งที่มีการนำไปใช้

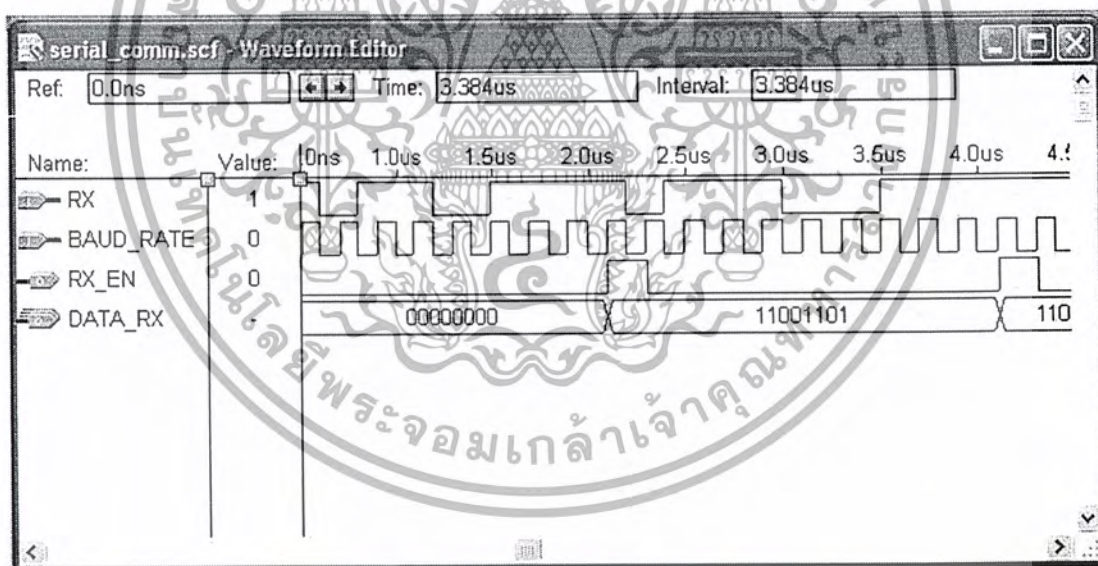
#### 4.3.4 ส่วนของวงจร SERIAL\_COMMUNICATION

เป็นโมดูลของวงจรรับ-ส่งข้อมูลแบบอนุกรม ที่รับค่ามาจากพอร์ตอนุกรมของคอมพิวเตอร์ และผ่านวงจรปรับระดับแรงดันก่อนที่จะส่งเข้ามาที่เอพไฟจีเอ มีลักษณะดังรูป



รูปที่ 4.12 สัญลักษณ์ของส่วนวงจร SERIAL\_COMMUNICATION

จากโปรแกรมที่เขียนขึ้นสามารถจำลองการทำงาน (simulation) ได้ดังนี้

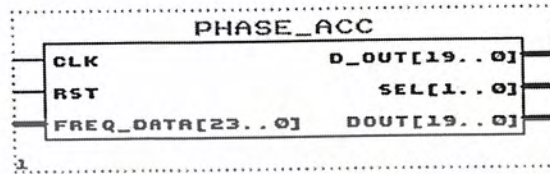


รูปที่ 4.13 ผลการจำลองการทำงานของส่วนวงจร SERIAL\_COMMUNICATION

เอกสารนี้เป็นเอกสารที่สงวนไว้สำหรับการใช้งานเพื่อการศึกษาเท่านั้น ไม่อนุญาตให้นำไปใช้ประโยชน์ด้านการค้า ไม่ว่ากรณีใดๆ ทั้งสิ้น อีกทั้งห้ามมิให้ตัดแปลงเนื้อหา และต้องอ้างอิงถึงเจ้าของเอกสารทุกครั้งที่มีการนำไปใช้

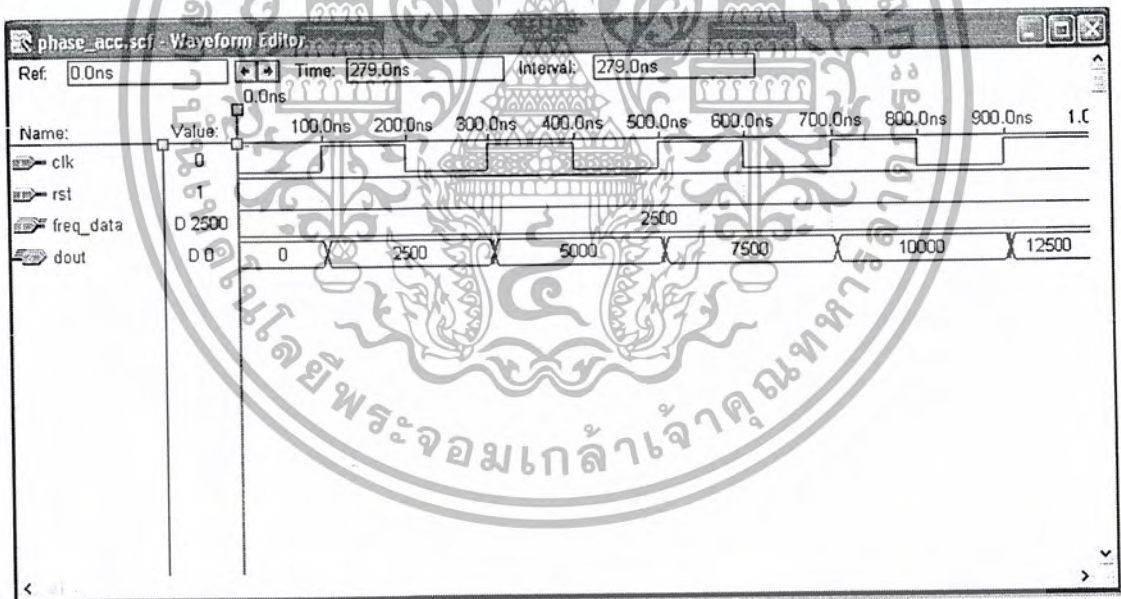
#### 4.3.5 ส่วนของวงจร PHASE\_ACCUMULATION

เป็นโมดูลที่ทำหน้าที่รับค่าของ Frequency Control Word จากส่วนของ LATCH และจะทำการบวกสะสมด้วยค่าของ Frequency Control Word ที่รับเข้ามา และส่งค่าเพื่อทำการชี้ค่าใน ROM



รูปที่ 4.14 สัญลักษณ์ของส่วนวงจร PHASE\_ACCUMULATION

จากโปรแกรมที่เขียนขึ้นสามารถจำลองการทำงาน (simulation) ได้ดังนี้

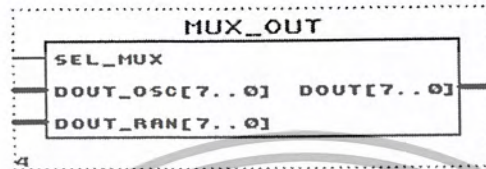


รูปที่ 4.15 ผลการจำลองการทำงานของส่วนวงจร PHASE\_ACCUMULATION

เอกสารนี้เป็นเอกสารที่สงวนไว้สำหรับการใช้งานเพื่อการศึกษาเท่านั้น ไม่อนุญาตให้นำไปใช้ประโยชน์ด้านการค้า ไม่ว่ากรณีใดๆ ทั้งสิ้น อีกทั้งห้ามมิให้ดัดแปลงเนื้อหา และต้องอ้างอิงถึงเจ้าของเอกสารทุกครั้งที่มีการนำไปใช้

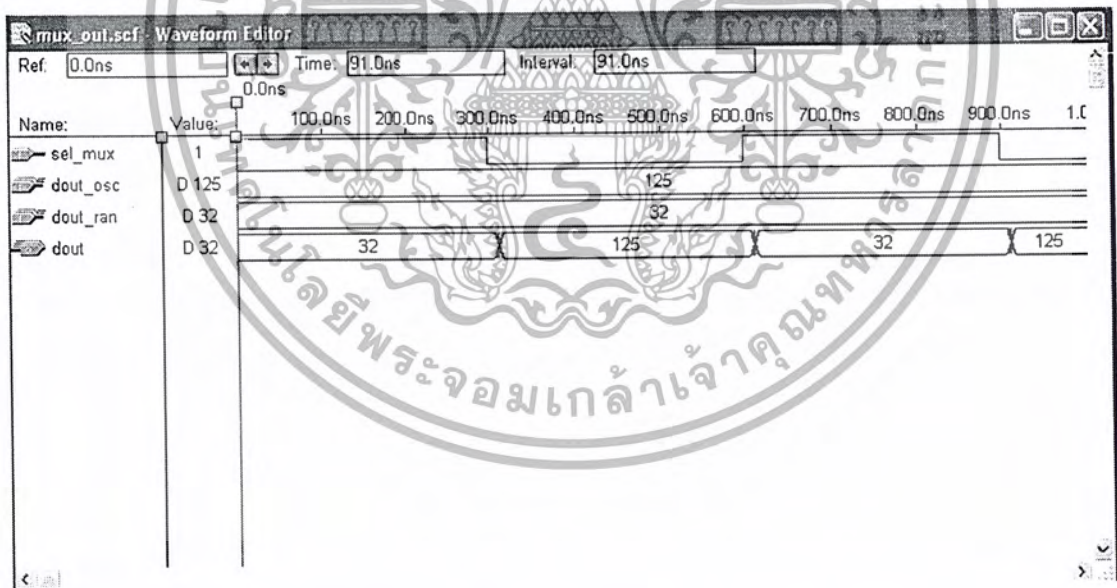
#### 4.3.6 ส่วนของวงจร MUX\_OUT

เป็นโมดูลที่ทำหน้าที่ทำการเลือกว่าจะให้ OUTPUT ของ DDS หรือของ LFSR ออกไปยัง OUTPUT ตามต้องการ



รูปที่ 4.16 สัญลักษณ์ของส่วนวงจร MUX\_OUT

จากโปรแกรมที่เขียนขึ้นสามารถจำลองการทำงาน (simulation) ได้ดังนี้

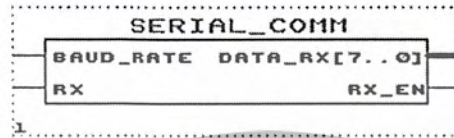


รูปที่ 4.17 ผลการจำลองการทำงานของส่วนวงจร MUX\_OUT

เอกสารนี้เป็นเอกสารที่สงวนไว้สำหรับการใช้งานเพื่อการศึกษาเท่านั้น ไม่อนุญาตให้นำไปใช้ประโยชน์ด้านการค้า ไม่ว่ากรณีใดๆ ทั้งสิ้น อีกทั้งห้ามมิให้ดัดแปลงเนื้อหา และต้องอ้างอิงถึงเจ้าของเอกสารทุกครั้งที่มีการนำไปใช้

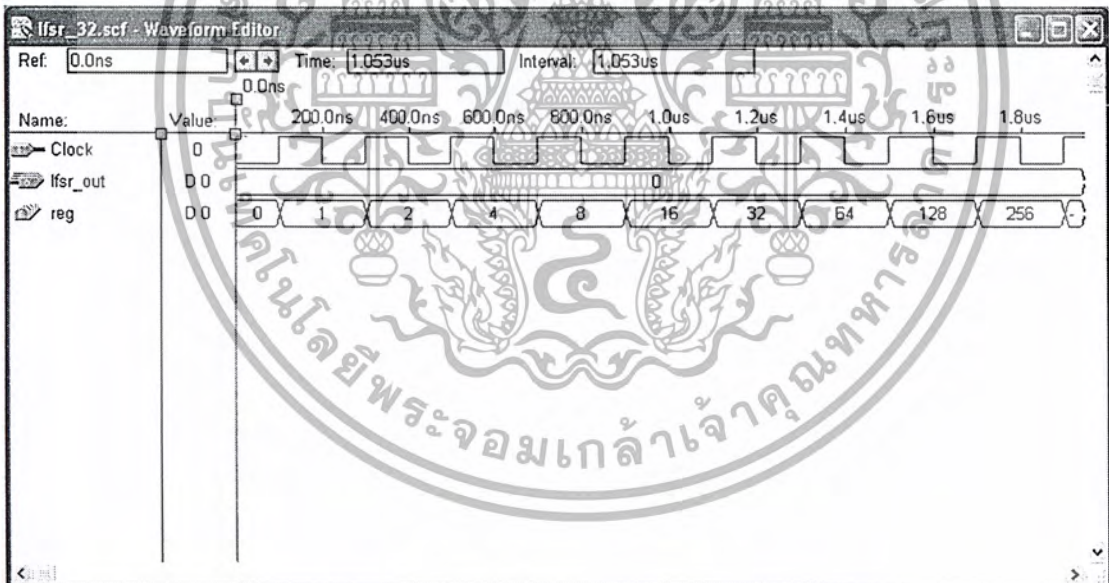
### 4.3.7 ส่วนของวงจร LFSR

โมดูลของ LFSR ทำหน้าที่ผลิตสัญญาณ RANDOM โดยใช้โครงสร้างของ Linear Feedback Shift Register มีลักษณะดังรูป



รูปที่ 4.18 สัญลักษณ์ของส่วนวงจร LFSR

จากโปรแกรมที่เขียนขึ้นสามารถจำลองการทำงาน (simulation) ได้ดังนี้

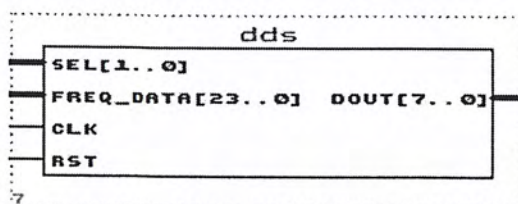


รูปที่ 4.19 ผลการจำลองการทำงานของส่วนวงจร LFSR

เอกสารนี้เป็นเอกสารที่สงวนไว้สำหรับการใช้งานเพื่อการศึกษาเท่านั้น ไม่อนุญาตให้นำไปใช้ประโยชน์ด้านการค้า ไม่ว่ากรณีใดๆ ทั้งสิ้น อีกทั้งห้ามมิให้ดัดแปลงเนื้อหา และต้องอ้างอิงถึงเจ้าของเอกสารทุกครั้งที่มีการนำไปใช้

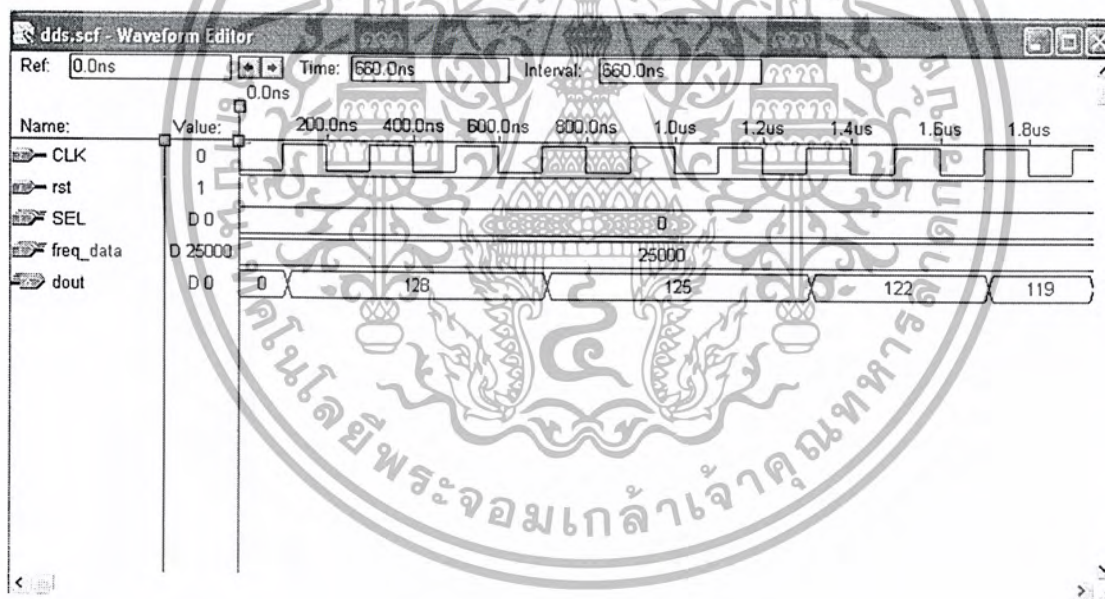
### 4.3.8 ส่วนของวงจร DDS

เป็นโมดูลที่ทำหน้าที่ผลิตสัญญาณไซน์, สามเหลี่ยม, สี่เหลี่ยม, ฟันเลื่อย



รูปที่ 4.20 สัญลักษณ์ของส่วนวงจร DDS

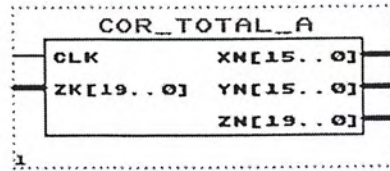
จากโปรแกรมที่เขียนขึ้นสามารถจำลองการทำงาน (simulation) ได้ดังนี้



รูปที่ 4.21 ผลการจำลองการทำงานของส่วนวงจร DDS

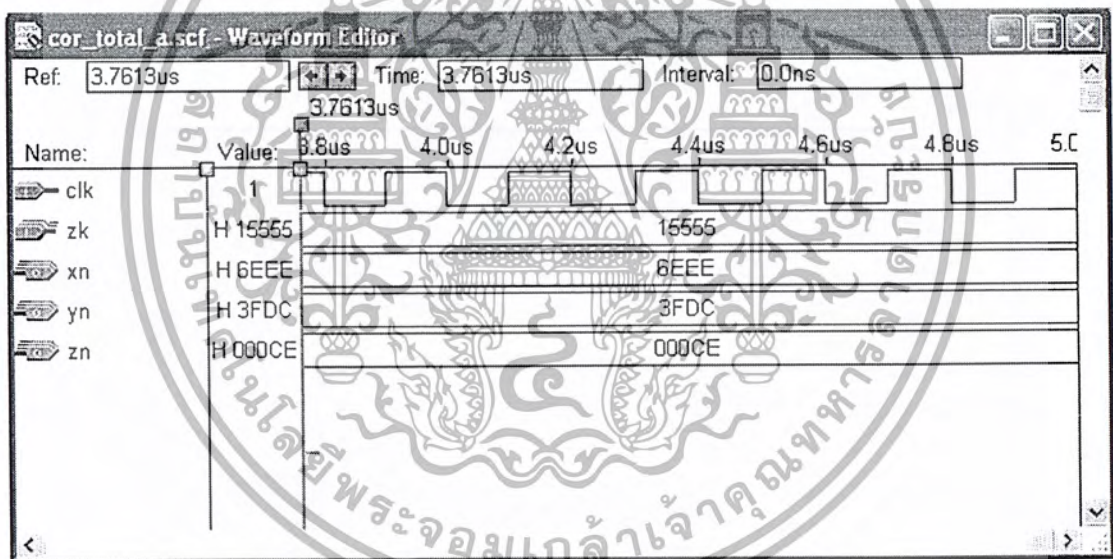
เอกสารนี้เป็นเอกสารที่สงวนไว้สำหรับการใช้งานเพื่อการศึกษาเท่านั้น ไม่อนุญาตให้นำไปใช้ประโยชน์ด้านการค้า ไม่ว่ากรณีใดๆ ทั้งสิ้น อีกทั้งห้ามมิให้ดัดแปลงเนื้อหา และต้องอ้างอิงถึงเจ้าของเอกสารทุกครั้งที่มีการนำไปใช้

### 4.3.9 ส่วนของวงจร CORDIC



รูปที่ 4.22 สัญลักษณ์ของส่วนวงจร CORDIC

จากโปรแกรมที่เขียนขึ้นสามารถจำลองการทำงาน (simulation) ได้ดังนี้



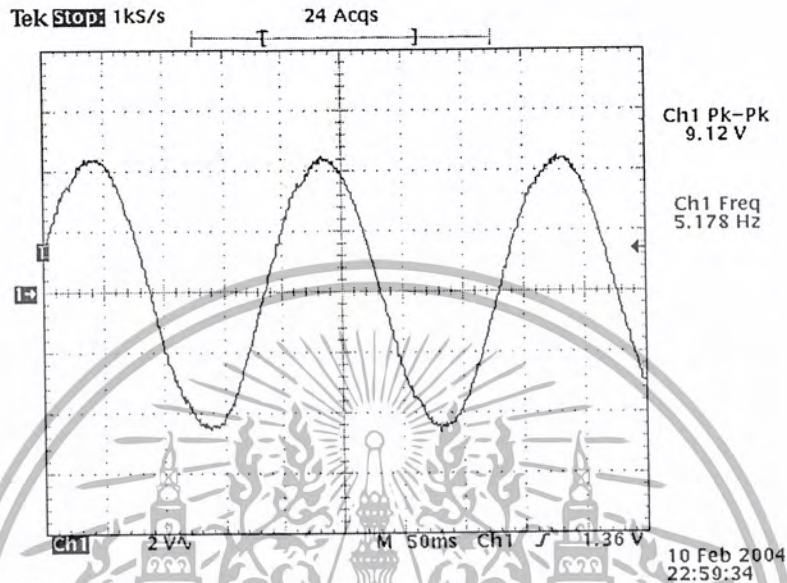
รูปที่ 4.23 ผลการจำลองการทำงานของส่วนวงจรCORDIC

เอกสารนี้เป็นเอกสารที่สงวนไว้สำหรับการใช้งานเพื่อการศึกษาเท่านั้น ไม่อนุญาตให้นำไปใช้ประโยชน์ด้านการค้า ไม่ว่ากรณีใดๆ ทั้งสิ้น อีกทั้งห้ามมิให้ดัดแปลงเนื้อหา และต้องอ้างอิงถึงเจ้าของเอกสารทุกครั้งที่มีการนำไปใช้

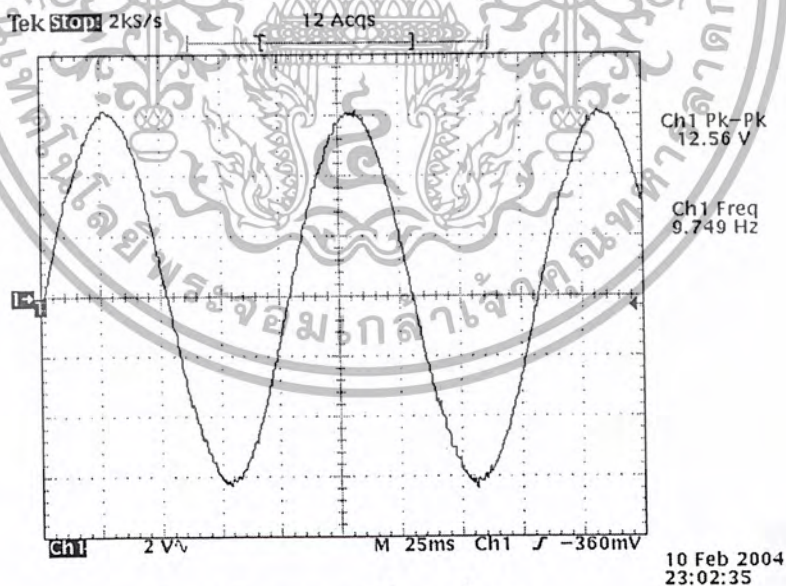
#### 4.4 ผลการทดสอบการทำงานของ DDS OSCILLATOR

การทดสอบการป้อนค่าความถี่ผ่านตัวเครื่องคอมพิวเตอร์โดยใช้ ภาษา วิชาลเบสิก(Visual Basic) ในการเขียน โปรแกรมใช้งานที่ความถี่ต่างๆสามารถทำการทดสอบได้ดังนี้

##### 4.4.1 การทดสอบการกำเนิดสัญญาณชายน์ ที่ความถี่ต่างๆดังนี้

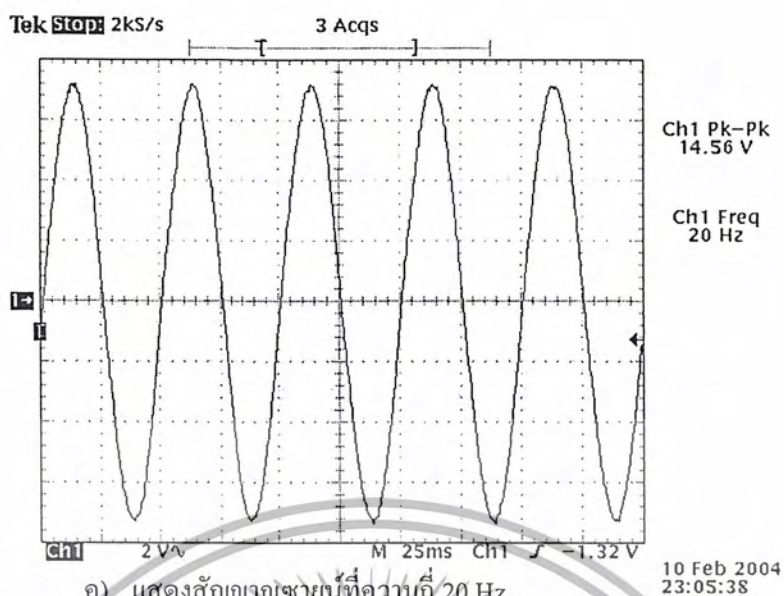


ก) รูปแสดงสัญญาณชายน์ที่ความถี่ 5 Hz

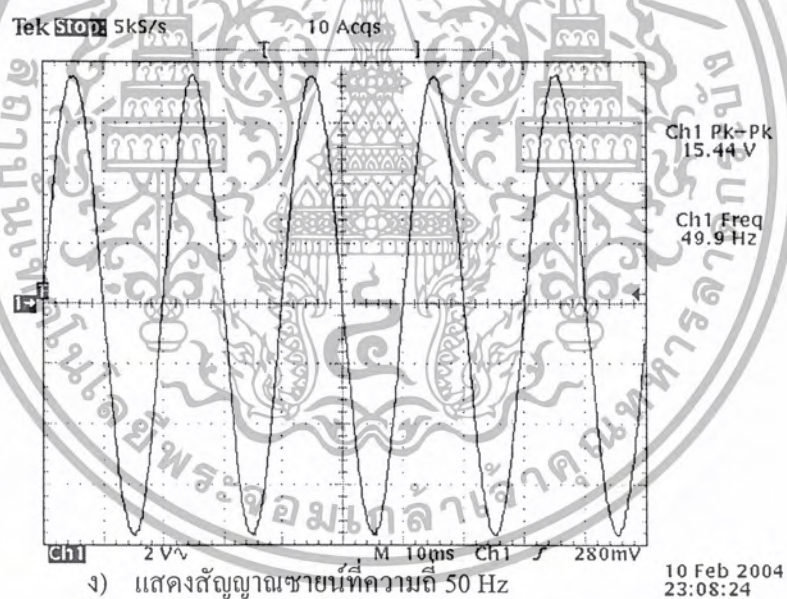


ข) รูปแสดงสัญญาณชายน์ที่ความถี่ 10 Hz

เอกสารนี้เป็นเอกสารที่สงวนไว้สำหรับการใช้งานเพื่อการศึกษาเท่านั้น ไม่อนุญาตให้นำไปใช้ประโยชน์ด้านการค้า ไม่ว่ากรณีใดๆ ทั้งสิ้น อีกทั้งห้ามมิให้ดัดแปลงเนื้อหา และต้องอ้างอิงถึงเจ้าของเอกสารทุกครั้งที่มีการนำไปใช้

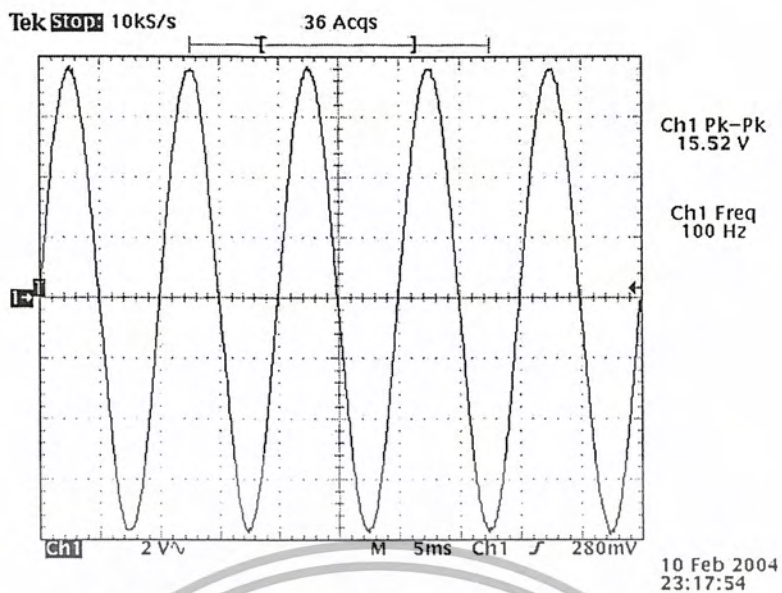


ค) แสดงสัญญาณไซน์ที่มีความถี่ 20 Hz

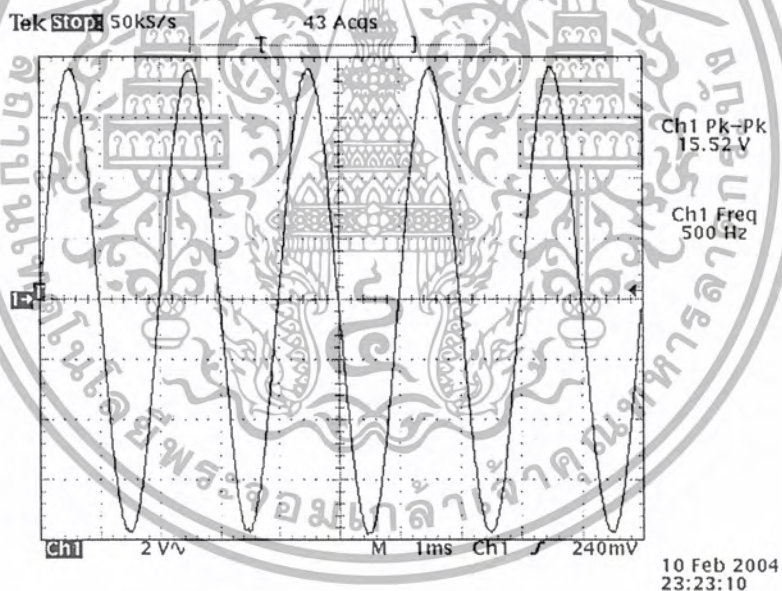


ง) แสดงสัญญาณไซน์ที่มีความถี่ 50 Hz

เอกสารนี้เป็นเอกสารที่สงวนไว้สำหรับการใช้งานเพื่อการศึกษาเท่านั้น ไม่อนุญาตให้นำไปใช้ประโยชน์ด้านการค้าไม่ว่ากรณีใดๆ ทั้งสิ้น อีกทั้งห้ามมิให้ดัดแปลงเนื้อหา และต้องอ้างอิงถึงเจ้าของเอกสารทุกครั้งที่มีกรนำไปใช้

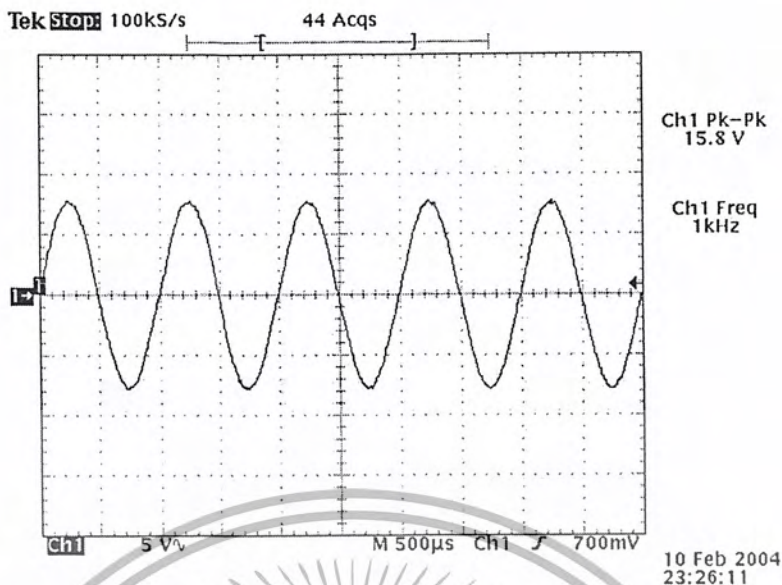


จ) แสดงสัญญาณไซน์ที่มีความถี่ 100 Hz

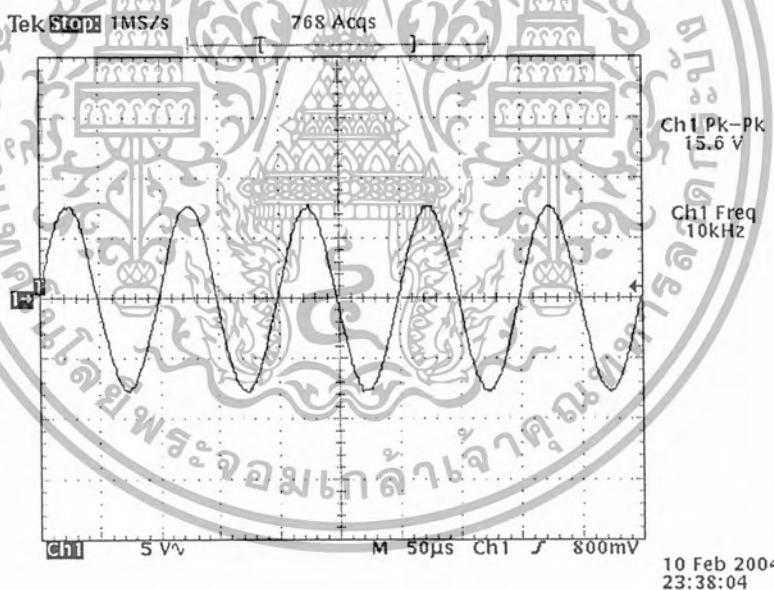


ฉ) แสดงสัญญาณไซน์ที่มีความถี่ 500 Hz

เอกสารนี้เป็นเอกสารที่สงวนไว้สำหรับการใช้งานเพื่อการศึกษาเท่านั้น ไม่อนุญาตให้นำไปใช้ประโยชน์ด้านการค้า  
ไม่ว่ากรณีใดๆ ทั้งสิ้น อีกทั้งห้ามมิให้ดัดแปลงเนื้อหา และต้องอ้างอิงถึงเจ้าของเอกสารทุกครั้งที่มีการนำไปใช้

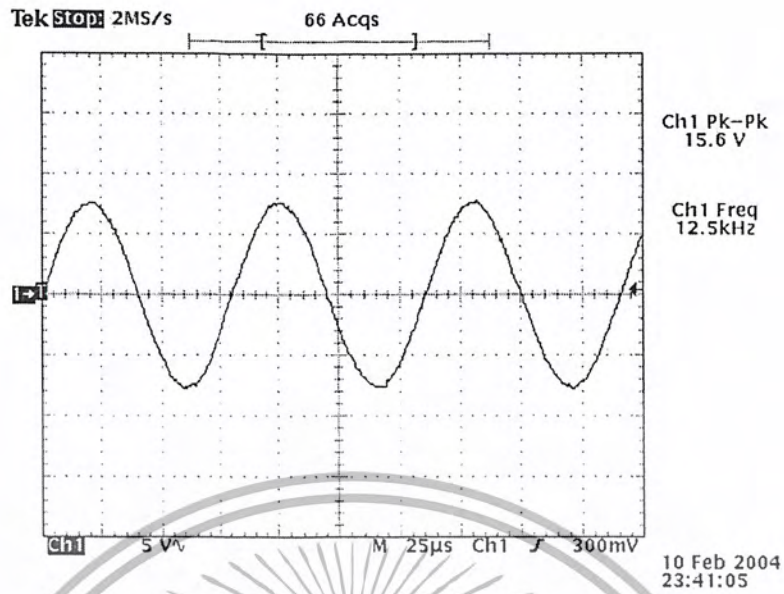


ข) แสดงสัญญาณไซน์ที่ความถี่ 1 kHz

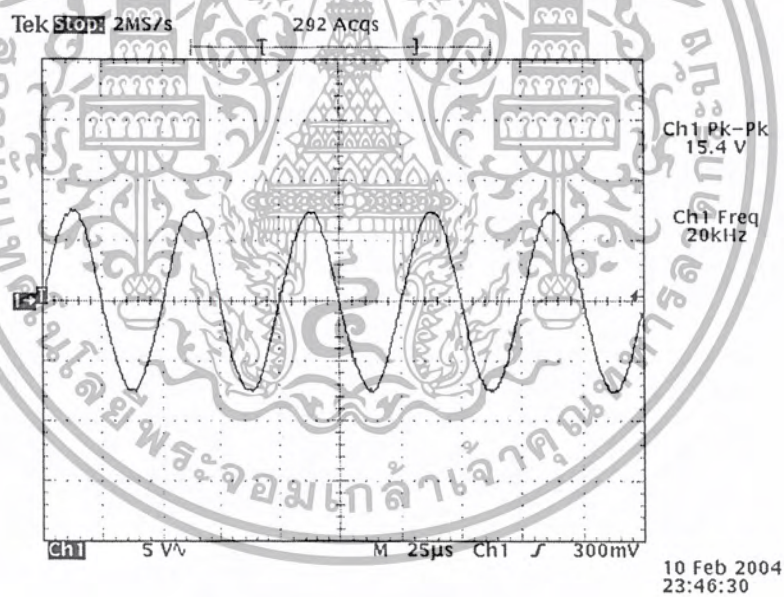


ข) แสดงสัญญาณไซน์ที่ความถี่ 10 kHz

เอกสารนี้เป็นเอกสารที่สงวนไว้สำหรับการใช้งานเพื่อการศึกษาเท่านั้น ไม่อนุญาตให้นำไปใช้ประโยชน์ด้านการค้า ไม่ว่ากรณีใดๆ ทั้งสิ้น อีกทั้งห้ามมิให้ดัดแปลงเนื้อหา และต้องอ้างอิงถึงเจ้าของเอกสารทุกครั้งที่มีการนำไปใช้



ข) แสดงสัญญาณไซน์ที่มีความถี่ 12.5 kHz

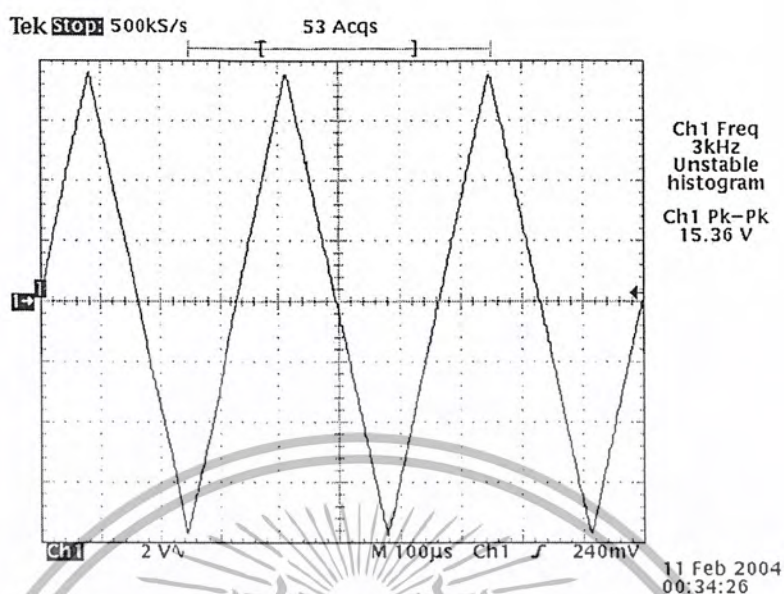


ค) แสดงสัญญาณไซน์ที่มีความถี่ 20 kHz

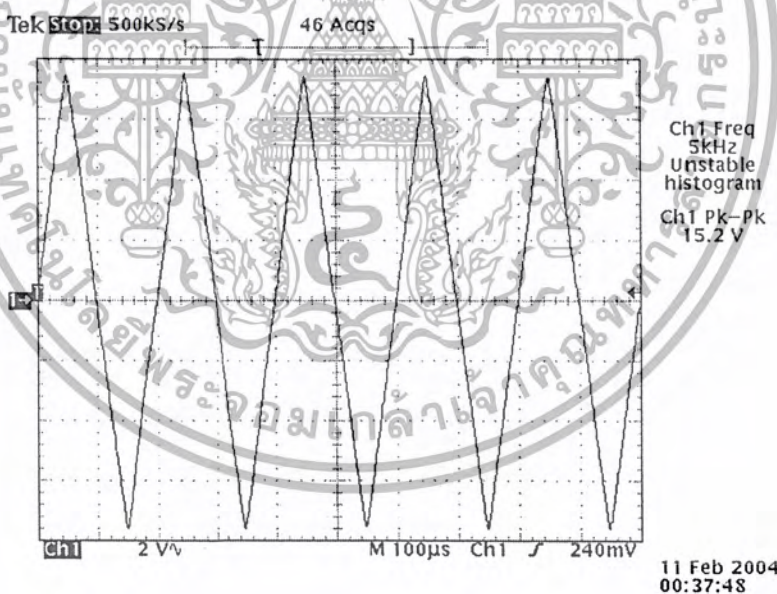
รูปที่ 4.24 แสดงสัญญาณไซน์ที่มีความถี่ต่าง ๆ

เอกสารนี้เป็นเอกสารที่สงวนไว้สำหรับการใช้งานเพื่อการศึกษาเท่านั้น ไม่อนุญาตให้นำไปใช้ประโยชน์ด้านการค้า ไม่ว่ากรณีใดๆ ทั้งสิ้น อีกทั้งห้ามมิให้ดัดแปลงเนื้อหา และต้องอ้างอิงถึงเจ้าของเอกสารทุกครั้งที่มีการนำไปใช้

#### 4.4.2 การทดสอบการกำเนิดสัญญาณสามเหลี่ยม ที่ความถี่ต่างๆดังนี้

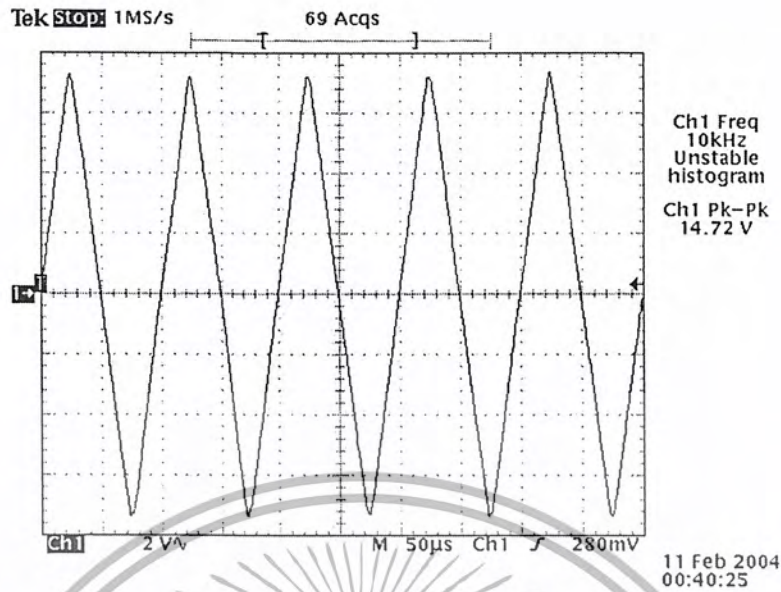


ก) รูปแสดงสัญญาณสามเหลี่ยมที่ความถี่ 3 kHz

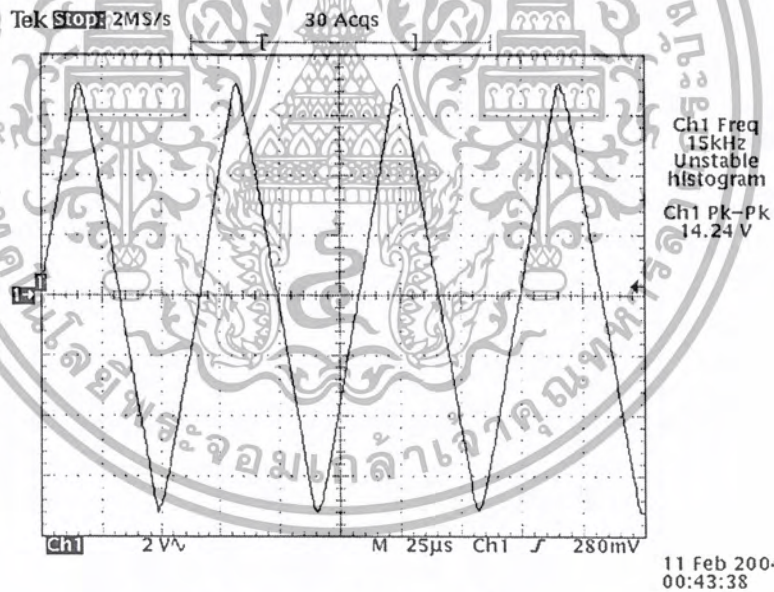


ข) รูปแสดงสัญญาณสามเหลี่ยมที่ความถี่ 5 kHz

เอกสารนี้เป็นเอกสารที่สงวนไว้สำหรับการใช้งานเพื่อการศึกษาเท่านั้น ไม่อนุญาตให้นำไปใช้ประโยชน์ด้านการค้า ไม่ว่ากรณีใดๆ ทั้งสิ้น อีกทั้งห้ามมิให้ดัดแปลงเนื้อหา และต้องอ้างอิงถึงเจ้าของเอกสารทุกครั้งที่มีการนำไปใช้



ค) รูปแสดงสัญญาณสามเหลี่ยมที่ความถี่ 10kHz

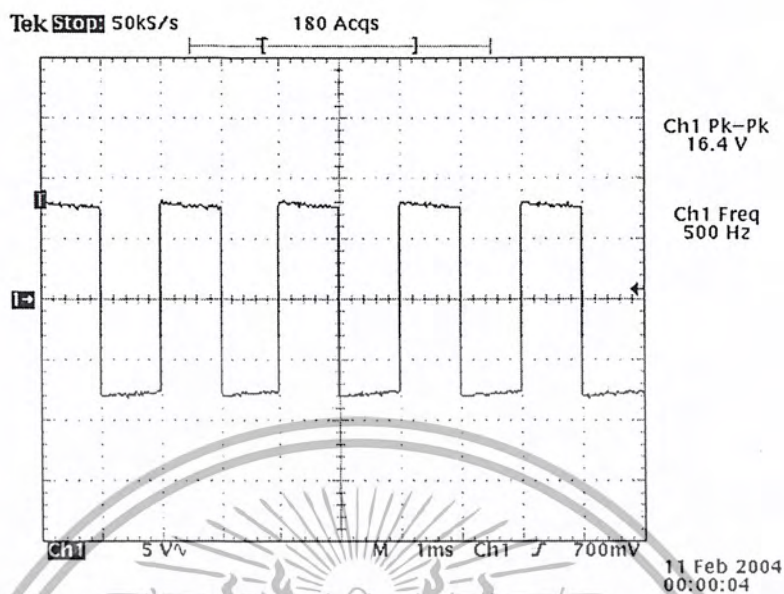


ง) รูปแสดงสัญญาณสามเหลี่ยมที่ความถี่ 15 kHz

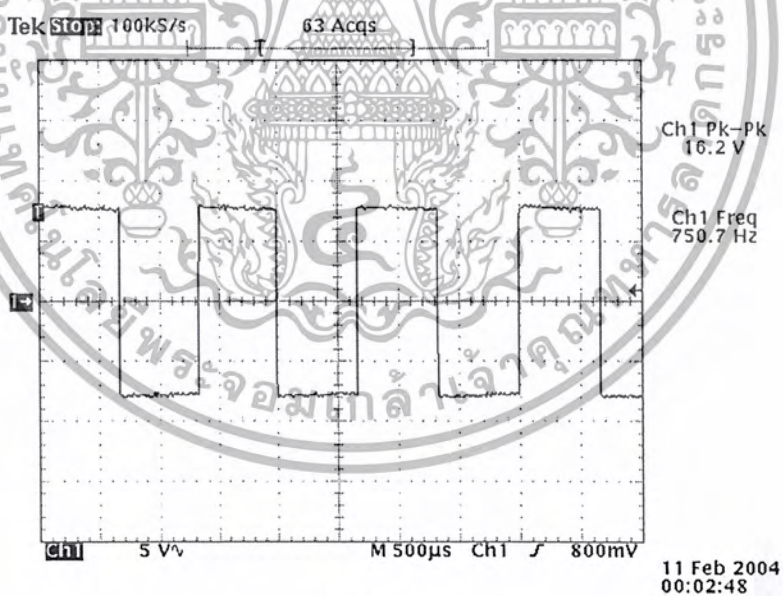
รูปที่ 4.25 รูปแสดงสัญญาณสามเหลี่ยมที่ความถี่ต่าง ๆ

เอกสารนี้เป็นเอกสารที่สงวนไว้สำหรับการใช้งานเพื่อการศึกษาเท่านั้น ไม่อนุญาตให้นำไปใช้ประโยชน์ด้านการค้า ไม่ว่ากรณีใดๆ ทั้งสิ้น อีกทั้งห้ามมิให้ดัดแปลงเนื้อหา และต้องอ้างอิงถึงเจ้าของเอกสารทุกครั้งที่มีการนำไปใช้

#### 4.4.3 การทดสอบการกำเนิดสัญญาณสี่เหลี่ยม ที่ความถี่ต่างๆดังนี้

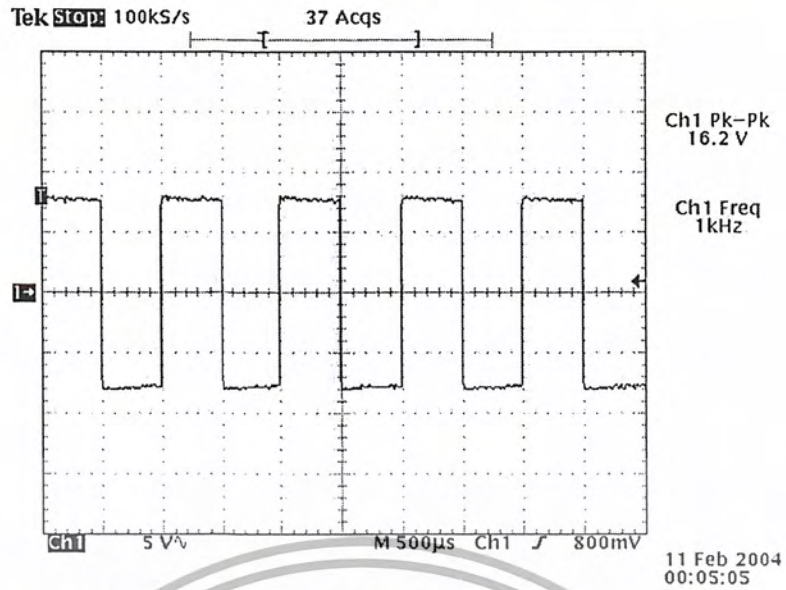


ก) รูปแสดงสัญญาณสี่เหลี่ยมที่ความถี่ 500 Hz

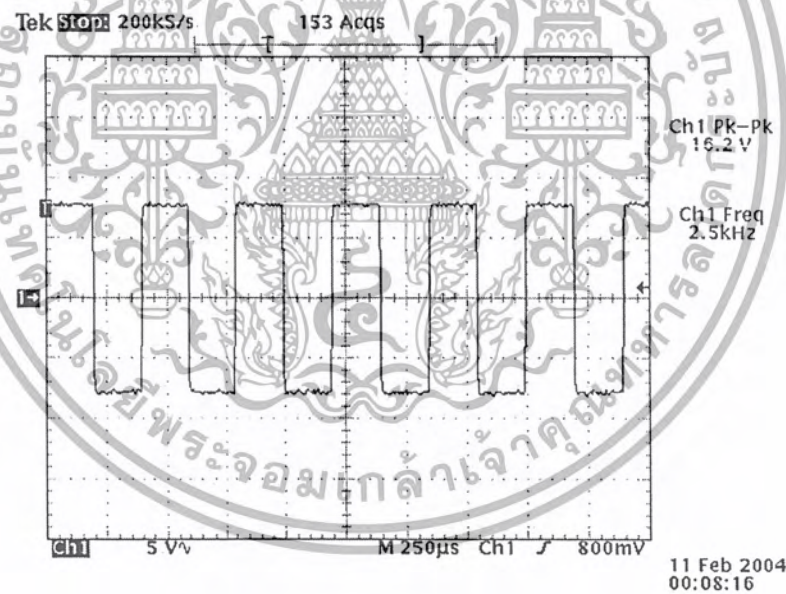


ข) รูปแสดงสัญญาณสี่เหลี่ยมที่ความถี่ 750 Hz

เอกสารนี้เป็นเอกสารที่สงวนไว้สำหรับการใช้งานเพื่อการศึกษาเท่านั้น ไม่อนุญาตให้นำไปใช้ประโยชน์ด้านการค้า ไม่ว่ากรณีใดๆ ทั้งสิ้น อีกทั้งห้ามมิให้ดัดแปลงเนื้อหา และต้องอ้างอิงถึงเจ้าของเอกสารทุกครั้งที่มีการนำไปใช้

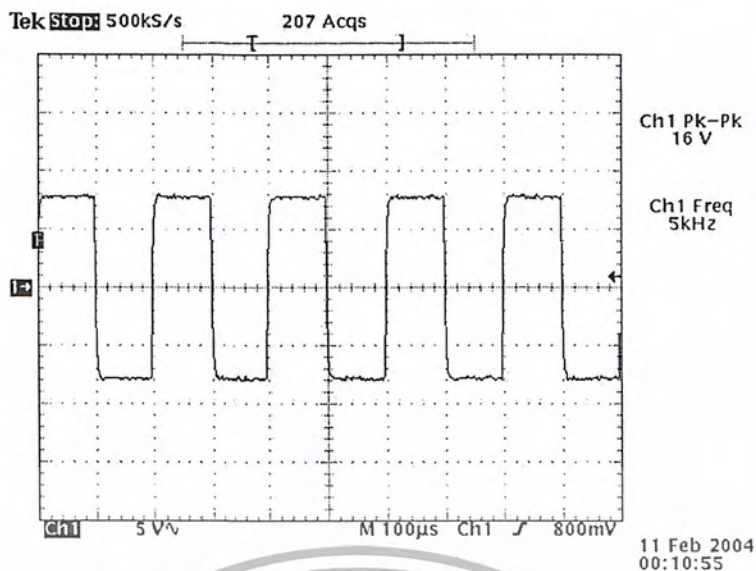


ก) รูปแสดงสัญญาณสี่เหลี่ยมที่ความถี่ 1 kHz

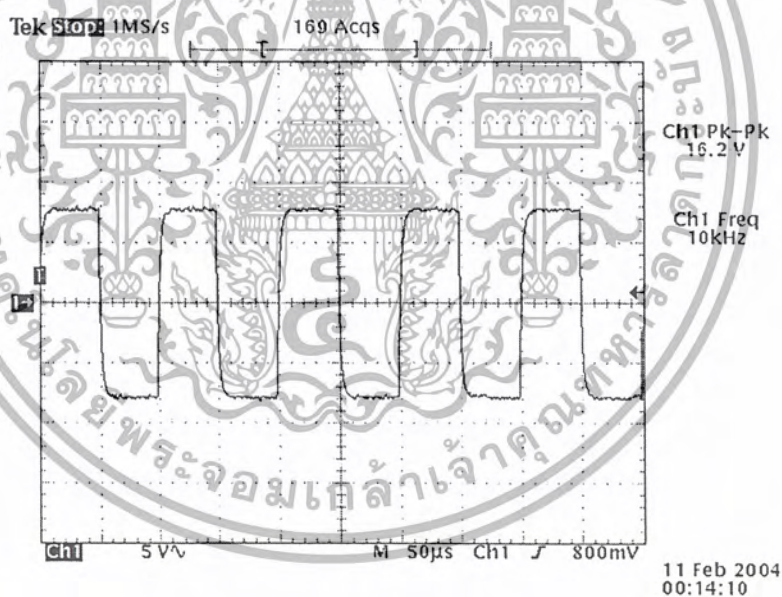


ง) รูปแสดงสัญญาณสี่เหลี่ยมที่ความถี่ 2.5 kHz

เอกสารนี้เป็นเอกสารที่สงวนไว้สำหรับการใช้งานเพื่อการศึกษาเท่านั้น ไม่อนุญาตให้นำไปใช้ประโยชน์ด้านการค้า ไม่ว่ากรณีใดๆ ทั้งสิ้น อีกทั้งห้ามมิให้ดัดแปลงเนื้อหา และต้องอ้างอิงถึงเจ้าของเอกสารทุกครั้งที่มีการนำไปใช้



จ) รูปแสดงสัญญาณสี่เหลี่ยมที่ความถี่ 5 kHz

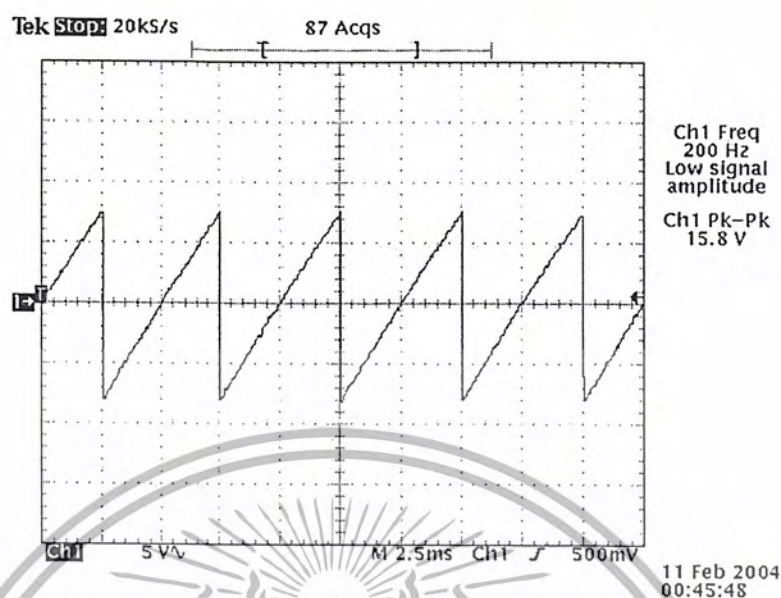


ฉ) รูปแสดงสัญญาณสี่เหลี่ยมที่ความถี่ 10 kHz

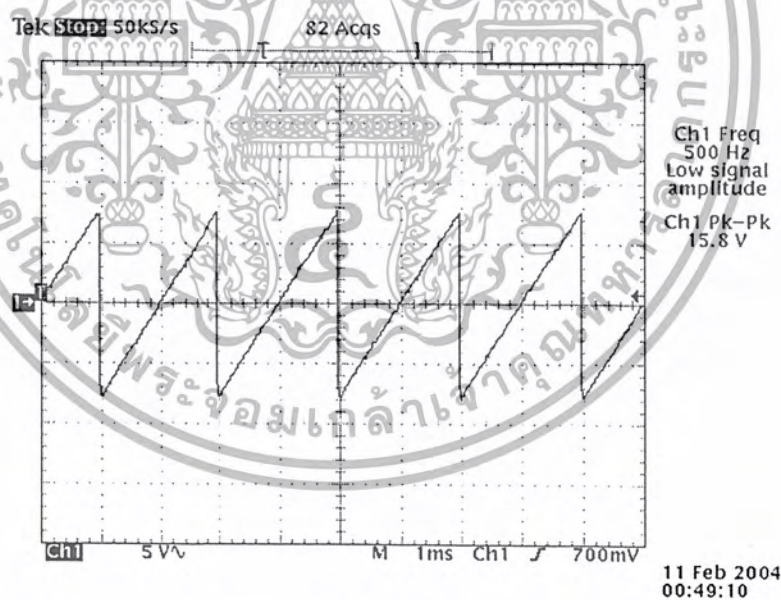
รูปที่ 4.26 แสดงสัญญาณสี่เหลี่ยมที่ความถี่ต่าง ๆ

เอกสารนี้เป็นเอกสารที่สงวนไว้สำหรับการใช้งานเพื่อการศึกษาเท่านั้น ไม่อนุญาตให้นำไปใช้ประโยชน์ด้านการค้า ไม่ว่ากรณีใดๆ ทั้งสิ้น อีกทั้งห้ามมิให้ดัดแปลงเนื้อหา และต้องอ้างอิงถึงเจ้าของเอกสารทุกครั้งที่มีการนำไปใช้

#### 4.4.4 การทดสอบการกำเนิดสัญญาณฟันเลื่อย ที่ความถี่ต่างๆดังนี้

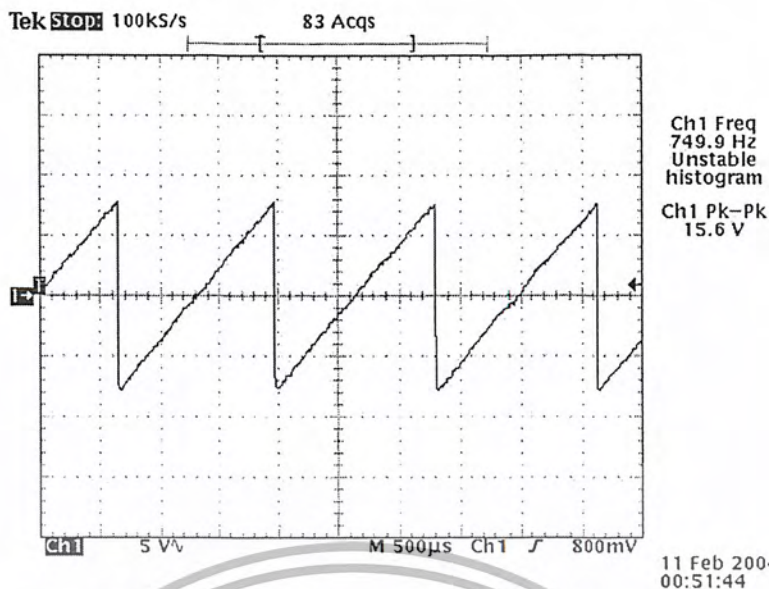


ก) รูปแสดงสัญญาณฟันเลื่อยที่ความถี่ 200Hz

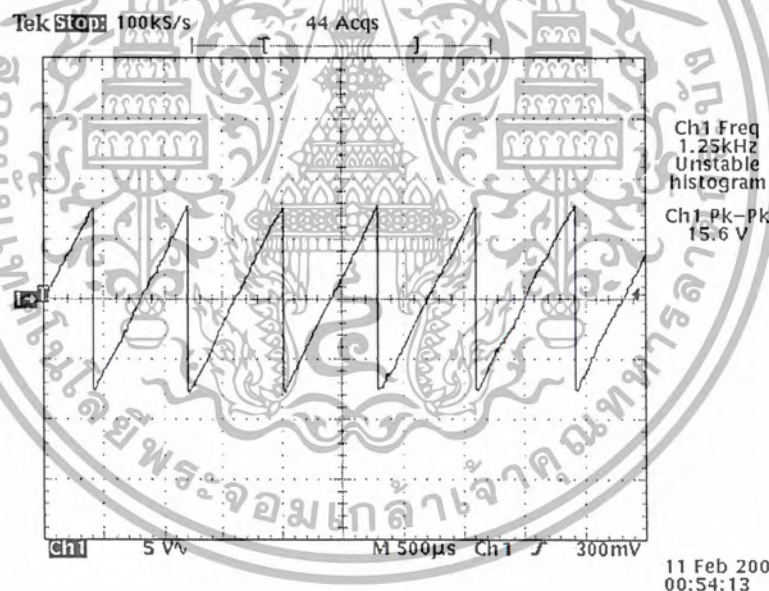


ข) รูปแสดงสัญญาณฟันเลื่อยที่ความถี่ 500Hz

เอกสารนี้เป็นเอกสารที่สงวนไว้สำหรับการใช้งานเพื่อการศึกษาเท่านั้น ไม่อนุญาตให้นำไปใช้ประโยชน์ด้านการค้า  
ไม่ว่ากรณีใดๆ ทั้งสิ้น อีกทั้งห้ามมิให้ดัดแปลงเนื้อหา และต้องอ้างอิงถึงเจ้าของเอกสารทุกครั้งที่มีการนำไปใช้

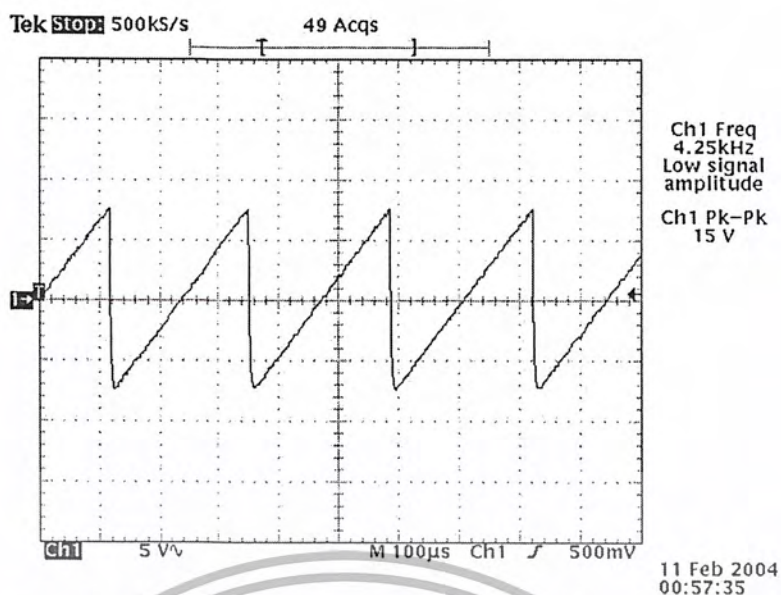


ค) รูปแสดงสัญญาณฟันเลื่อยที่ความถี่ 750Hz

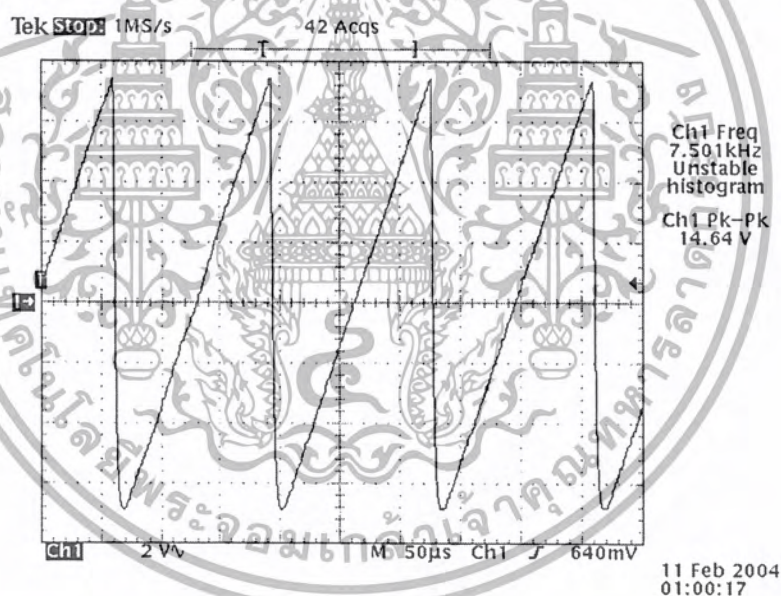


ง) รูปแสดงสัญญาณฟันเลื่อยที่ความถี่ 1.25 kHz

เอกสารนี้เป็นเอกสารที่สงวนไว้สำหรับการใช้งานเพื่อการศึกษาเท่านั้น ไม่อนุญาตให้นำไปใช้ประโยชน์ด้านการค้า ไม่ว่ากรณีใดๆ ทั้งสิ้น อีกทั้งห้ามมิให้ดัดแปลงเนื้อหา และต้องอ้างอิงถึงเจ้าของเอกสารทุกครั้งที่มีการนำไปใช้

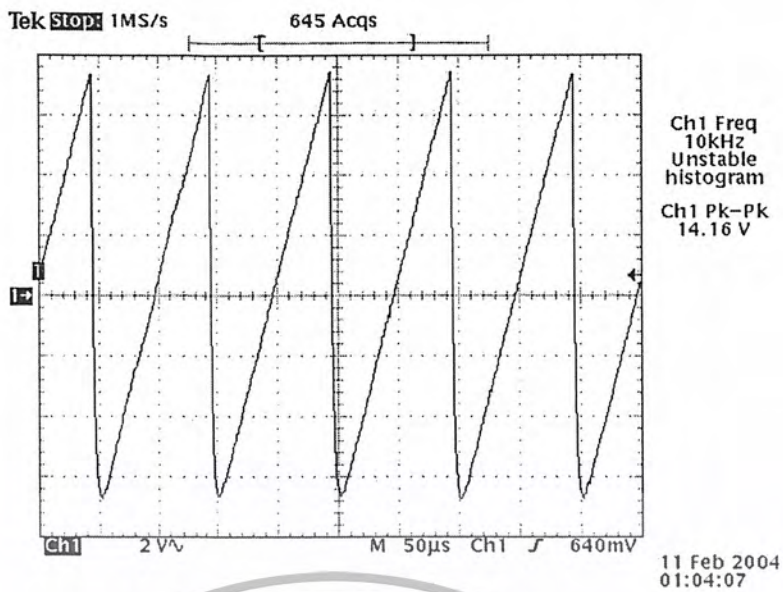


จ) รูปแสดงสัญญาณฟันเลื่อยที่ความถี่ 4.25 kHz

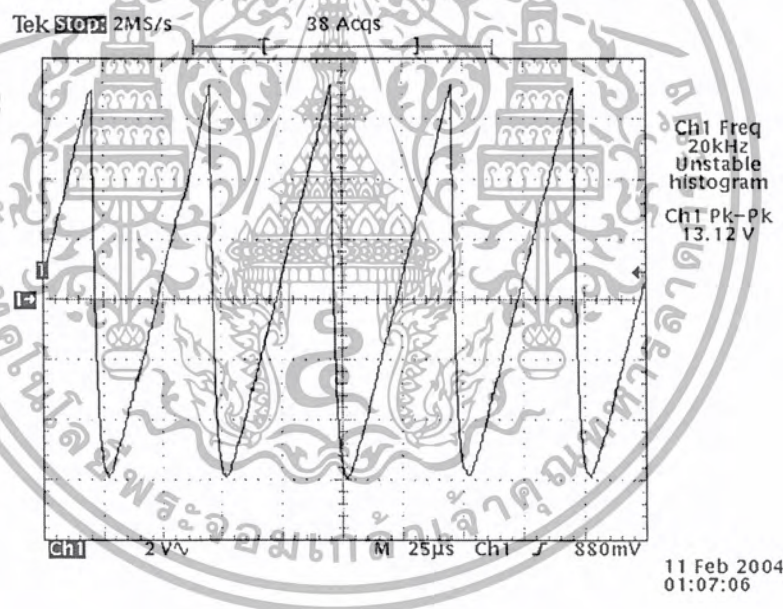


ฉ) รูปแสดงสัญญาณฟันเลื่อยที่ความถี่ 7.5kHz

เอกสารนี้เป็นเอกสารที่สงวนไว้สำหรับการใช้งานเพื่อการศึกษาเท่านั้น ไม่อนุญาตให้นำไปใช้ประโยชน์ด้านการค้า  
ไม่ว่ากรณีใดๆ ทั้งสิ้น อีกทั้งห้ามมิให้ตัดแปลงเนื้อหา และต้องอ้างอิงถึงเจ้าของเอกสารทุกครั้งที่มีการนำไปใช้



ข) รูปแสดงสัญญาณฟันเลื่อยที่ความถี่ 10 kHz

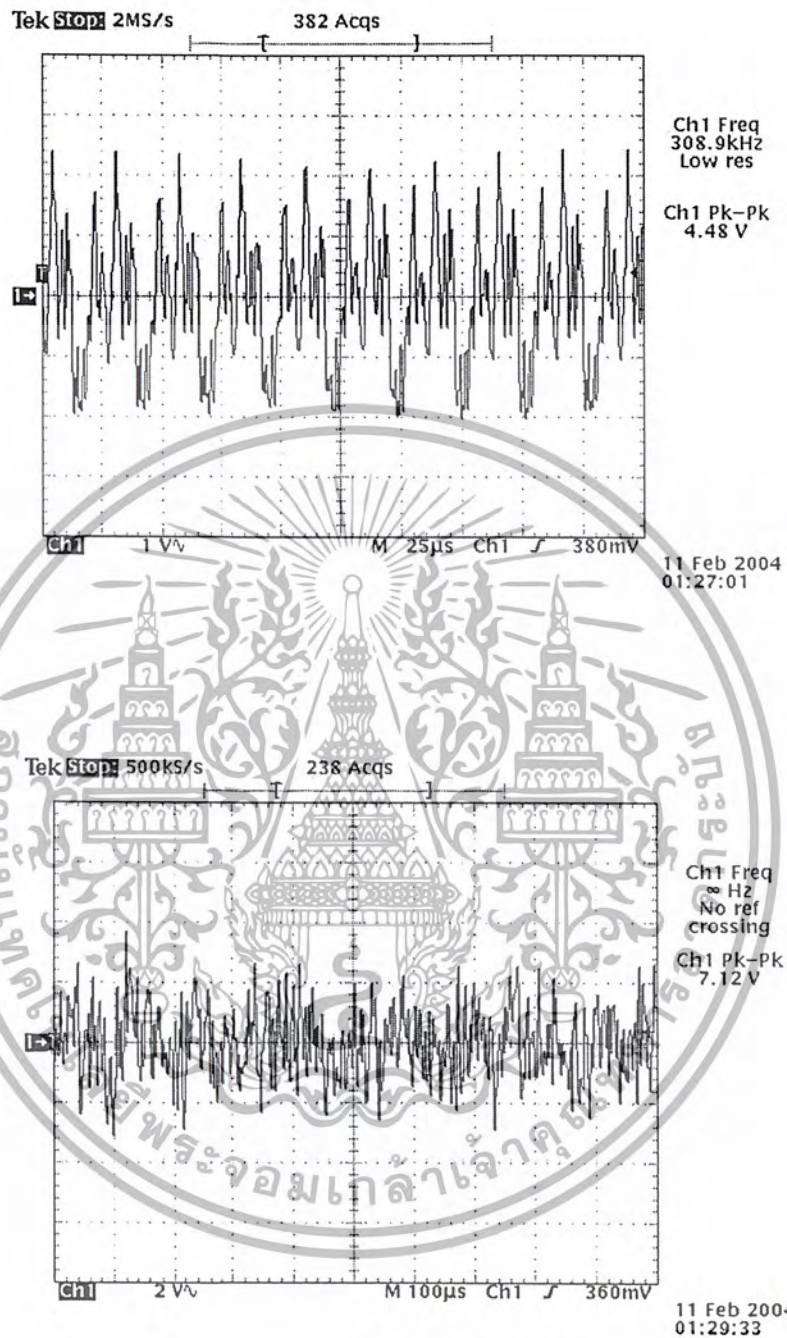


ช) รูปแสดงสัญญาณฟันเลื่อยที่ความถี่ 20 kHz

รูปที่ 4.27 แสดงสัญญาณฟันเลื่อยที่ความถี่ต่าง ๆ

เอกสารนี้เป็นเอกสารที่สงวนไว้สำหรับการใช้งานเพื่อการศึกษาเท่านั้น ไม่อนุญาตให้นำไปใช้ประโยชน์ด้านการค้า ไม่ว่ากรณีใดๆ ทั้งสิ้น อีกทั้งห้ามมิให้ดัดแปลงเนื้อหา และต้องอ้างอิงถึงเจ้าของเอกสารทุกครั้งที่มีการนำไปใช้

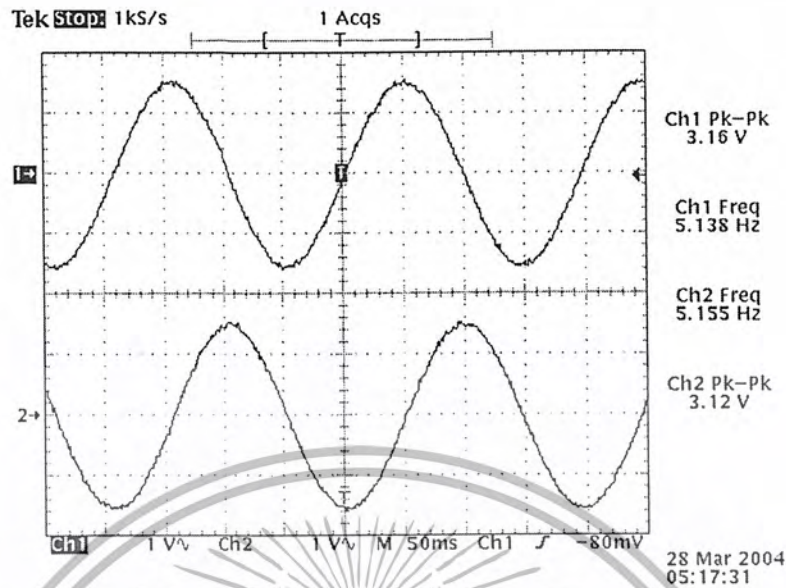
## 4.4.5 การทดสอบการกำเนิดสัญญาณสุ่ม



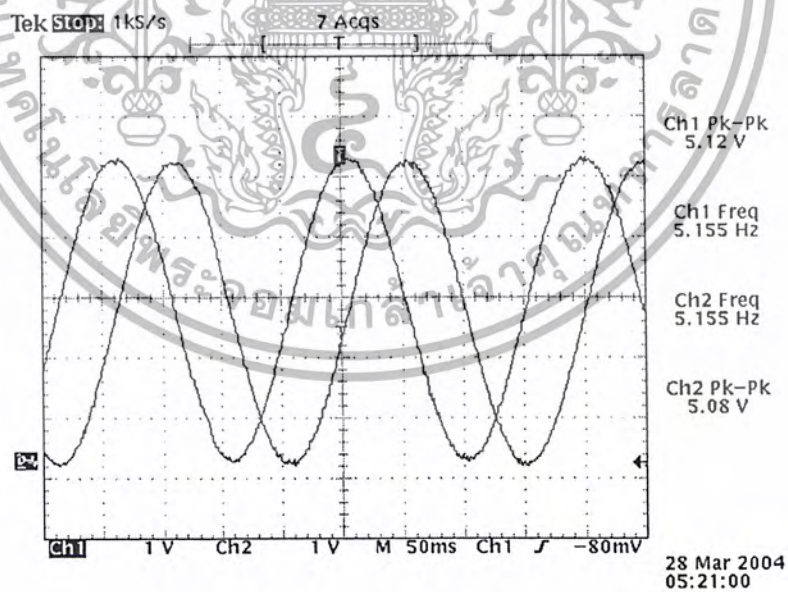
รูปที่ 4.28 แสดงสัญญาณสุ่มที่ order 8 และ 32

เอกสารนี้เป็นเอกสารที่สงวนไว้สำหรับการใช้งานเพื่อการศึกษาเท่านั้น ไม่อนุญาตให้นำไปใช้ประโยชน์ด้านการค้าไม่ว่ากรณีใดๆ ทั้งสิ้น อีกทั้งห้ามมิให้ดัดแปลงเนื้อหา และต้องอ้างอิงถึงเจ้าของเอกสารทุกครั้งที่มีการนำไปใช้

## 4.5 ผลการทดสอบการทำงานของ CORDIC OSCILLATOR

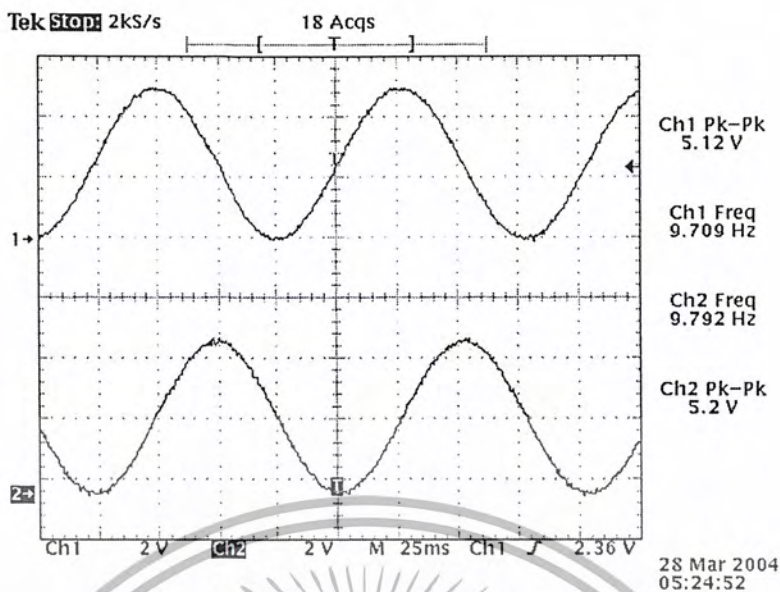


ก) รูปแสดงสัญญาณไซน์ที่มีความถี่ 5 Hz

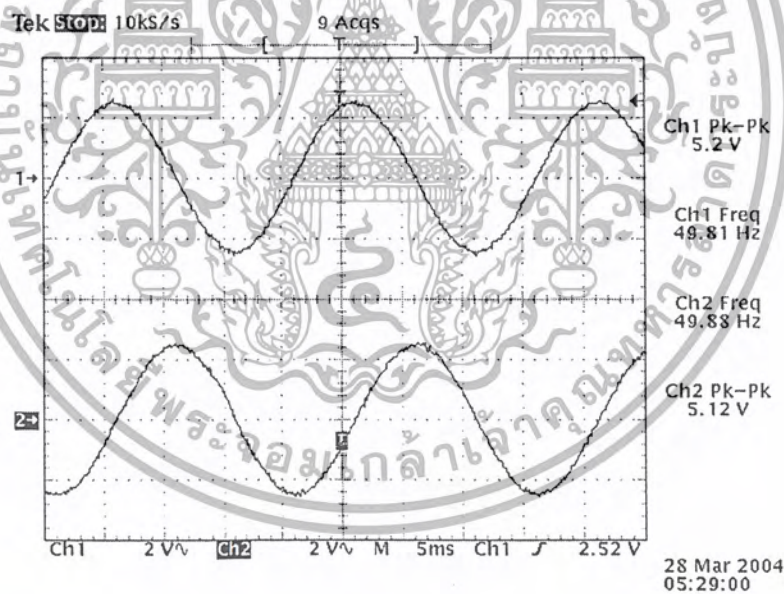


ข) รูปแสดงสัญญาณไซน์ที่มีความถี่ 5 Hz เพื่อแสดงเฟสของสัญญาณ

เอกสารนี้เป็นเอกสารที่สงวนไว้สำหรับการใช้งานเพื่อการศึกษาเท่านั้น ไม่นิยมนำไปใช้ประโยชน์ด้านการค้า ไม่ว่ากรณีใดๆ ทั้งสิ้น อีกทั้งห้ามมิให้ดัดแปลงเนื้อหา และต้องอ้างอิงถึงเจ้าของเอกสารทุกครั้งที่มีการนำไปใช้

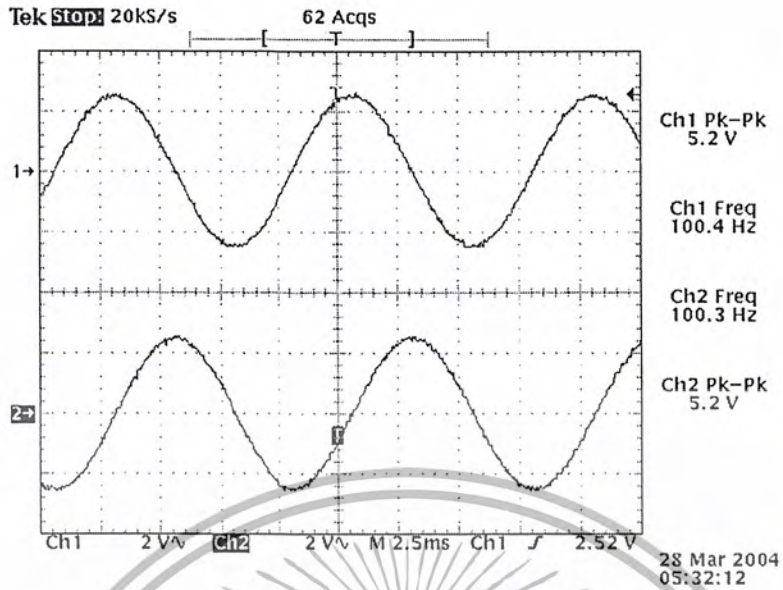


ค) รูปแสดงสัญญาณไซน์ที่มีความถี่ 10 Hz

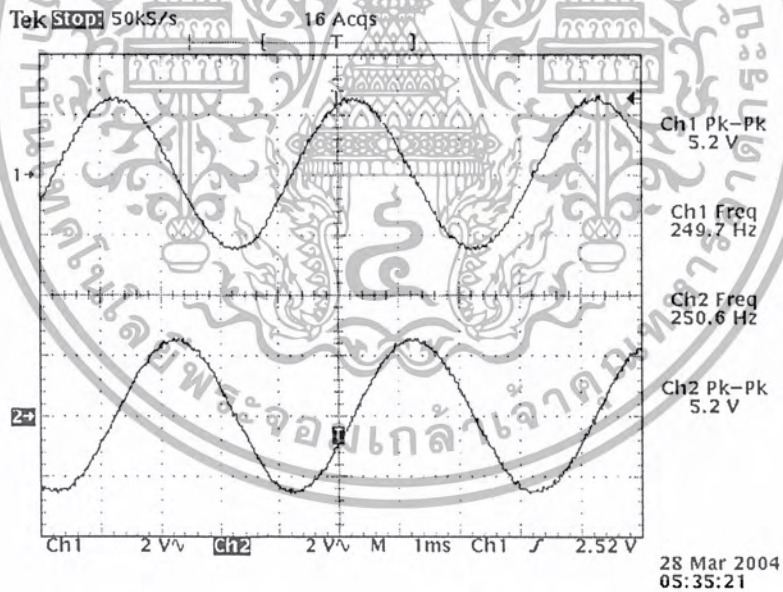


ง) รูปแสดงสัญญาณไซน์ที่มีความถี่ 50 Hz

เอกสารนี้เป็นเอกสารที่สงวนไว้สำหรับการใช้งานเพื่อการศึกษาเท่านั้น ไม่อนุญาตให้นำไปใช้ประโยชน์ด้านการค้า ไม่ว่ากรณีใดๆ ทั้งสิ้น อีกทั้งห้ามมิให้ดัดแปลงเนื้อหา และต้องอ้างอิงถึงเจ้าของเอกสารทุกครั้งที่มีการนำไปใช้

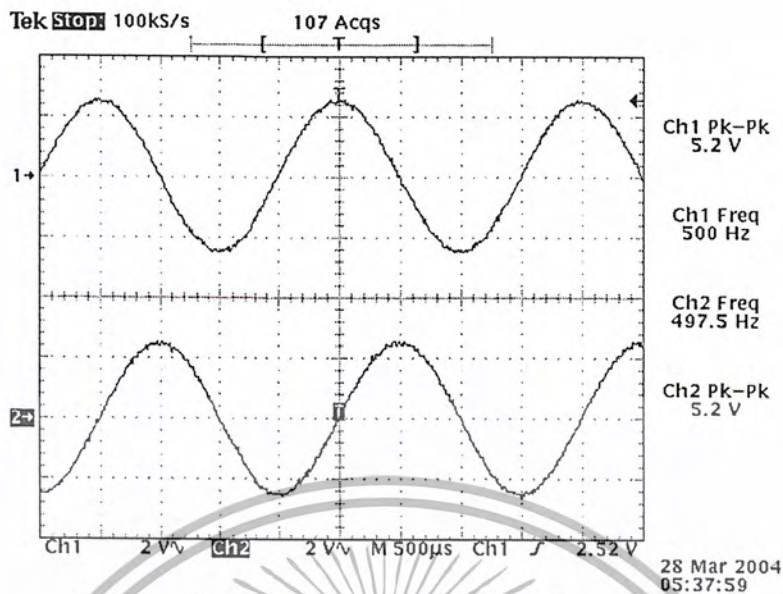


จ) รูปแสดงสัญญาณไซน์ที่ความถี่ 100 Hz

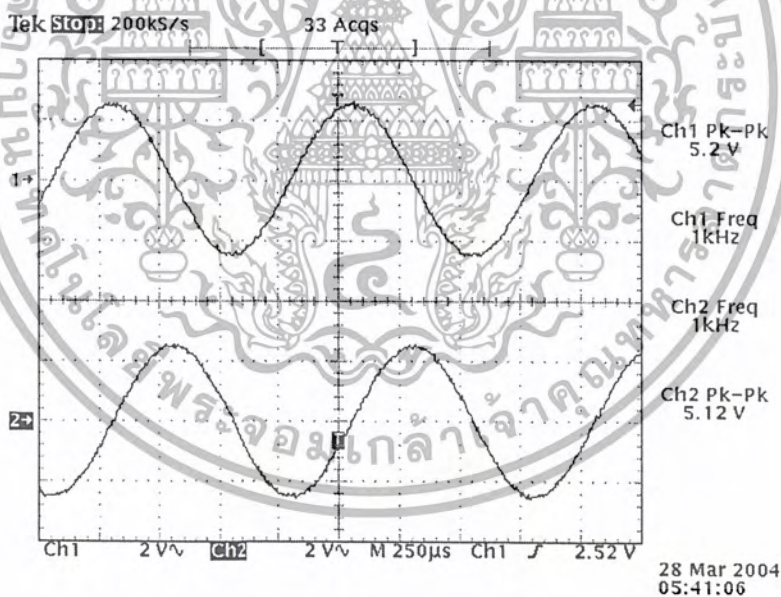


ฉ) รูปแสดงสัญญาณไซน์ที่ความถี่ 250 Hz

เอกสารนี้เป็นเอกสารที่สงวนไว้สำหรับการใช้งานเพื่อการศึกษาเท่านั้น ไม่อนุญาตให้นำไปใช้ประโยชน์ด้านการค้า ไม่ว่ากรณีใดๆ ทั้งสิ้น อีกทั้งห้ามมิให้ดัดแปลงเนื้อหา และต้องอ้างอิงถึงเจ้าของเอกสารทุกครั้งที่มีการนำไปใช้

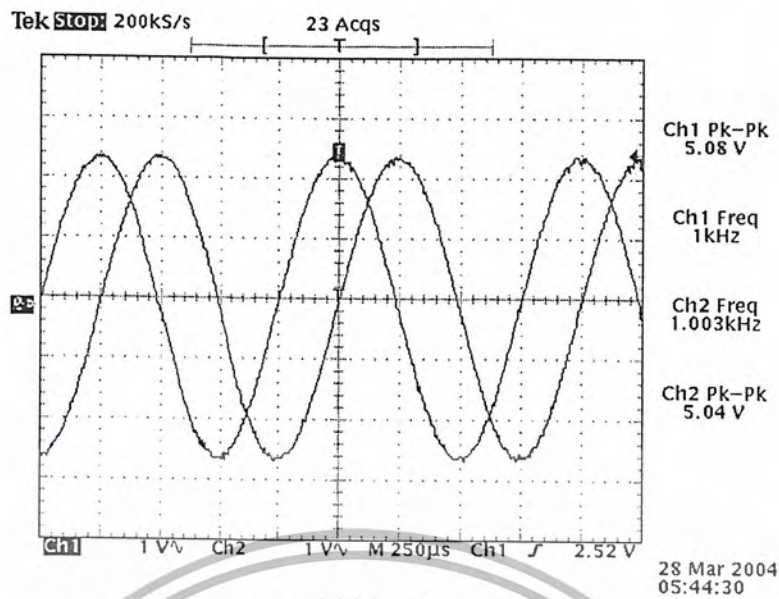


ข) รูปแสดงสัญญาณไซน์ที่ความถี่ 500 Hz

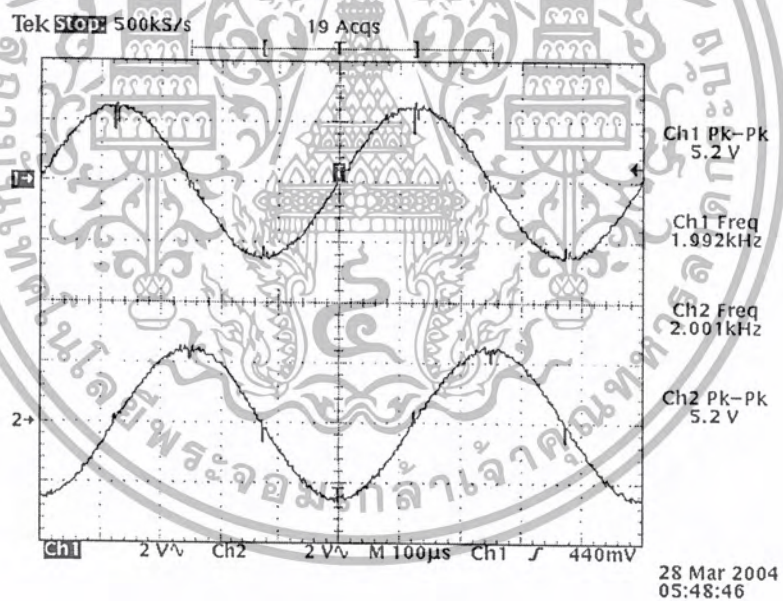


ข) รูปแสดงสัญญาณไซน์ที่ความถี่ 1 kHz

เอกสารนี้เป็นเอกสารที่สงวนไว้สำหรับการใช้งานเพื่อการศึกษาเท่านั้น ไม่อนุญาตให้นำไปใช้ประโยชน์ด้านการค้า ไม่ว่ากรณีใดๆ ทั้งสิ้น อีกทั้งห้ามมิให้ดัดแปลงเนื้อหา และต้องอ้างอิงถึงเจ้าของเอกสารทุกครั้งที่มีการนำไปใช้

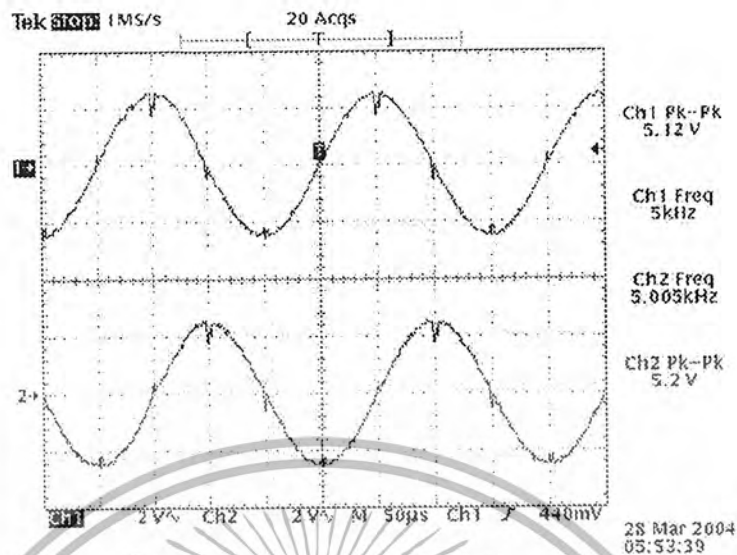


ณ) รูปแสดงสัญญาณไซน์ที่ความถี่ 1 kHz เพื่อแสดงเฟสของสัญญาณ



ญ) รูปแสดงสัญญาณไซน์ที่ความถี่ 2 kHz

เอกสารนี้เป็นเอกสารที่สงวนไว้สำหรับการใช้งานเพื่อการศึกษาเท่านั้น ไม่อนุญาตให้นำไปใช้ประโยชน์ด้านการค้า ไม่ว่ากรณีใดๆ ทั้งสิ้น อีกทั้งห้ามมิให้ตัดแปลงเนื้อหา และต้องอ้างอิงถึงเจ้าของเอกสารทุกครั้งที่มีการนำไปใช้



ฎ) รูปแสดงสัญญาณไซน์ที่มีความถี่ 5 kHz

รูปที่ 4.29 แสดงสัญญาณไซน์ที่สร้างจาก CORDIC

จากการศึกษาในการกำเนิดสัญญาณโดยวิธี Direct Digital Frequency Synthesizer :DDS จะได้สัญญาณรูปไซน์, สี่เหลี่ยม, สามเหลี่ยม, สามเหลี่ยม, ฟันเลื่อย และ สัญญาณสุ่ม ความถี่ที่กำหนดได้จะมีความเที่ยงตรงสูงและมีค่าความถี่ที่กำหนดได้ประมาณ 20 kHz ที่สัญญาณไม่เกิดความผิดเพี้ยนซึ่งหากต้องการความถี่ที่สูงกว่านี้สามารถทำได้โดยการเพิ่มความถี่ของสัญญาณนาฬิกาที่ป้อนให้กับระบบ และเพิ่มวงจร Digital to Analog จาก 8 บิตเป็น 16 บิต ส่วนการทดลองการกำเนิดสัญญาณโดยวิธีของ CORDIC Algorithm จะได้สัญญาณรูปไซน์และโคไซน์พร้อมกัน และที่ความถี่ 5 kHz สัญญาณที่ได้จะมีความผิดเพี้ยนสามารถแก้ไขได้โดยใช้วงจรกรองความถี่ต่ำผ่าน หากต้องการความถี่และความละเอียดสูงขึ้นก็สามารถแก้ไขได้เช่นเดียวกับวิธีของ DDS คือการเพิ่มสัญญาณนาฬิกา และใช้ Digital to Analog ขนาด 16 บิต

## บทที่ 5 บทสรุปและวิจารณ์

ทฤษฎีของ CORDIC Algorithm จะอาศัยการเปลี่ยนแปลงตำแหน่งของเวกเตอร์ ผลจากการเปลี่ยนตำแหน่งหรือการหมุนของเวกเตอร์จะทำให้เกิดมุมขึ้น และเมื่อทำการจัดความสัมพันธ์ของมุมกับตำแหน่งของเวกเตอร์จะทำให้ได้สมการพื้นฐานของ CORDIC Algorithm และสามารถจัดรูปสมการของ CORDIC เพื่อประยุกต์หาค่าที่ต้องการได้ ซึ่งความละเอียดของค่าที่หาได้จะขึ้นอยู่กับจำนวนของการวนรอบการทำงาน

ในการออกแบบวงจรกำเนิดความถี่โดยใช้โครงสร้างของ CORDIC นั้น จะทำการคำนวณค่า sine และ cosine ของมุมที่รับเข้ามาได้เพียง 1 จุดภาค(quadrant)เท่านั้น ดังนั้นในการใช้งานจริงเพื่อให้ได้สัญญาณครบทุกมุม (360 องศา) จะต้องมีการจัดความสัมพันธ์ของอินพุตและเอาต์พุต

ส่วนการออกแบบวงจรกำเนิดสัญญาณแบบตรง (Direct Digital Frequency Synthesizer: DDS) นั้นจะอาศัยการเก็บค่าขนาดของสัญญาณไว้ในตารางเปิดดู (Lookup Table) แล้วใช้การชี้ตำแหน่งในการกำเนิดสัญญาณออกมา ซึ่งในการออกแบบค่าที่เก็บในตารางเปิดดูนั้นจะเก็บค่าขนาดของสัญญาณเพียง 1 ใน 4 ของรูปสัญญาณ 1 คาบเท่านั้น และจะอาศัยการจัดความสัมพันธ์ของอินพุตเพื่อให้ได้เอาต์พุตเป็นสัญญาณครบ 1 คาบเช่นเดียวกันกับการกำเนิดสัญญาณโดยใช้ CORDIC

ในการสร้างสัญญาณแบบดิจิทัลโดยใช้ CORDIC จะได้ค่าสัญญาณไซน์และโคไซน์ในเวลาเดียวกันส่วนการออกแบบโดยวิธีของ DDS จะให้รูปของสัญญาณที่หลากหลายกว่า (ขึ้นอยู่กับค่าขนาดของสัญญาณที่เก็บไว้ในตารางเปิดดู) ซึ่งทั้งหมดนี้เมื่อออกแบบและสร้างวงจรด้วยภาษาวีเอชดีแอล (VHDL) แล้วจำลองการทำงานเพื่อดูผลที่ได้ซึ่งมีความใกล้เคียงกับทางทฤษฎี ทั้งอาจเกิดความผิดพลาดอันเนื่องมาจากการสร้างจริงนี้จะแทนค่าจำนวนจริงให้อยู่ในรูปไบนารีบิต เมื่อใช้จำนวนบิตในการแทนน้อยจะทำให้ค่าที่ได้มีความคลาดเคลื่อนซึ่งอาจแก้ปัญหาโดยการใช้นิตในการแทนค่าจำนวนจริงให้มากขึ้น แต่ก็ส่งผลโดยตรงต่อการสร้างฮาร์ดแวร์ คืออาจจะใช้ลอจิกเซลล์ในการสร้างวงจรมากขึ้นเป็นต้น

สำหรับการประยุกต์ใช้งานวงจรกำเนิดสัญญาณแบบดิจิทัลโดยใช้โครงสร้างของ CORDIC นั้นเหมาะกับวงจรหรือระบบที่ต้องการสัญญาณที่มีเฟสต่างกัน 90 องศา (ไซน์และโคไซน์) พร้อมกัน ตัวอย่างเช่น วงจร Quadrature Modulation และ Phase Shift Keying (PSK) เป็นต้น ส่วนวงจรกำเนิดสัญญาณดิจิทัลแบบ DDS เหมาะกับระบบที่ใช้งานโดยทั่ว ๆ ไป ที่ต้องการสัญญาณพื้นฐาน เช่น สัญญาณไซน์ , สัญญาณรูปสามเหลี่ยม , สัญญาณรูปสี่เหลี่ยม หรือ สัญญาณรูปฟันเลื่อย เป็นต้น หรืออาจจะออกแบบให้ได้สัญญาณเฉพาะ

จากการศึกษาโครงการ ทำให้มีความรู้เกี่ยวกับการนำเอาแนวความคิด ทฤษฎีต่าง ๆ มาใช้งานร่วมกัน รวมทั้งวงจรที่ออกแบบสามารถนำมาสร้างเป็นฮาร์ดแวร์ด้วยภาษาวีเอชดีแอล ที่ความยืดหยุ่นในการออกแบบสูง และวงจรที่ออกแบบสามารถใช้ร่วมกับคอมพิวเตอร์โดยใช้ภาษาวิซวลเบสิก ในการช่วยในการเชื่อมต่อ (Interface) ซึ่งสิ่งเหล่านี้เหมาะแก่การศึกษาค้นคว้าและพัฒนาเป็นอย่างยิ่ง

เอกสารนี้เป็นเอกสารที่สงวนไว้สำหรับการใช้งานเพื่อการศึกษาเท่านั้น ไม่อนุญาตให้นำไปใช้ประโยชน์ด้านการค้าไม่ว่ากรณีใดๆ ทั้งสิ้น อีกทั้งห้ามมิให้ดัดแปลงเนื้อหา และต้องอ้างอิงถึงเจ้าของเอกสารทุกครั้งที่มีการนำไปใช้

## ภาคผนวก

### โปรแกรมภาษาวีเอชดีแอล

#### โปรแกรม Div 1000

```
library ieee;
use ieee.std_logic_1164.all;
entity Div1000 is
port(Clk_in:in std_logic;
      Clk_out:out std_logic
      );
end Div1000;
architecture rtl of Div1000 is
begin
  process(Clk_in)
  variable Clk_temp:std_logic:='0';
  variable count:integer range 0 to 499;
  begin
    if Clk_in'Event and Clk_in='1'then
      if count<499 then
        count:=count+1;
        Clk_temp:=Clk_temp;
      Else
        count:=0;
        Clk_temp:=not(Clk_temp);
      end if;
      Clk_out<=Clk_temp;
    end if;
  end process;
end rtl;
```

## โปรแกรมของ Latch

```
library ieee;
use ieee.std_logic_1164.all;
entity latch40 is
port(en:in std_logic;
      ip:in std_logic_vector(7 downto 0);
      sel_mux:out std_logic;
      sel:out std_logic_vector(1 downto 0);
      out_fre:out std_logic_vector(23 downto 0)
      );
end latch40;

architecture rtl of latch40 is
    signal buf1,buf2,buf3: std_logic_vector(7 downto 0);

begin
    process(en,ip)
        VARIABLE count_rx : integer;

    begin
        if en'event and en='1' then
            if count_rx < 3 then
                count_rx:=count_rx+1;
                buf1<=ip;
                buf2<=buf1;
                buf3<=buf2;
            else
                count_rx:=0;
                out_fre<=buf1&buf2&buf3;
                sel_mux<=ip(2);
                sel(1 downto 0)<=ip(1 downto 0);
            end if;
        end if;
    end process;
end rtl;
```

เอกสารนี้เป็นเอกสารที่สงวนไว้สำหรับการใช้งานเพื่อการศึกษาเท่านั้น ไม่อนุญาตให้นำไปใช้ประโยชน์ด้านการค้า  
ไม่ว่ากรณีใดๆ ทั้งสิ้น อีกทั้งห้ามมิให้ตัดแปลงเนื้อหา และต้องอ้างอิงถึงเจ้าของเอกสารทุกครั้งที่มีการนำไปใช้

## โปรแกรม Serial\_Communication

```
library ieee;
use ieee.std_logic_1164.all;
entity SERIAL_COMM is
port (
    BAUD_RATE:in std_logic;
    RX:in std_logic;
    DATA_RX:out std_logic_vector(7 downto 0);
    RX_EN:out std_logic
);
end SERIAL_COMM;
architecture rtl of SERIAL_COMM is
type State_type_RX is (Idel,ReceiveData,Stop);
signal State_RX:State_type_RX:=Idel;
begin
process(BAUD_RATE,RX)
variable RX_Data_Count:integer range 0 to 7;
variable Buffer_RX:std_logic_vector(7 downto 0);
begin
    if BAUD_RATE'Event and BAUD_RATE='1' then
        case State_RX is
            when Idel=>
                RX_EN<='0';
                if RX='0' then
                    RX_Data_Count:=0;
                    State_RX<=ReceiveData;
                Else
                    RX_Data_Count:=0;
                    State_RX<=Idel;
                end if;
            when ReceiveData=>
                RX_EN<='0';
                if RX_Data_Count=7 then
                    Buffer_RX(RX_Data_Count):=RX;
                    State_RX<=Stop;
                Else
                    Buffer_RX(RX_Data_Count):=RX;
                    RX_Data_Count:=RX_Data_Count+1;
                    State_RX<=ReceiveData;
                end if;
            when Stop=>
                RX_Data_Count:=0;
                data_rx<=buffer_rx;
                RX_En<='1';
                State_RX<=Idel;
            when others =>
                RX_Data_Count:=0;
                RX_En<='0';
                State_RX<=Idel;
        end case;
    end if;
end process;
end rtl;
```

เอกสารนี้เป็นเอกสารที่สงวนไว้สำหรับการใช้งานเพื่อการศึกษาเท่านั้น ไม่อนุญาตให้นำไปใช้ประโยชน์ด้านการค้า  
ไม่ว่ากรณีใดๆ ทั้งสิ้น อีกทั้งห้ามมิให้ดัดแปลงเนื้อหา และต้องอ้างอิงถึงเจ้าของเอกสารทุกครั้งที่มีการนำไปใช้

```
end case;  
end if;  
end process ;  
end rtl;
```



เอกสารนี้เป็นเอกสารที่สงวนไว้สำหรับการใช้งานเพื่อการศึกษาเท่านั้น ไม่อนุญาตให้นำไปใช้ประโยชน์ด้านการค้า  
ไม่ว่ากรณีใดๆ ทั้งสิ้น อีกทั้งห้ามมิให้ดัดแปลงเนื้อหา และต้องอ้างอิงถึงเจ้าของเอกสารทุกครั้งที่มีการนำไปใช้

## โปรแกรม Onepulse

```
LIBRARY IEEE;
use ieee.std_logic_1164.all;
entity Onepulse is
port(Clk:in std_logic;
      SW:in std_logic;
      SW_Single_Pulse:out std_logic
      );
end Onepulse;
architecture rtl of Onepulse is
signal sw_debounce_delay:std_logic;
begin
  process(Clk)
  begin
    if (Clk'Event) and (Clk='1') then
      if (sw='1') and (sw_debounce_delay='0') then
        sw_single_pulse<='1';
      else
        sw_single_pulse<='0';
      end if;
      sw_debounce_delay<=sw;
    end if;
  --end if;
  end process;
end rtl;
```

เอกสารนี้เป็นเอกสารที่สงวนไว้สำหรับการใช้งานเพื่อการศึกษาเท่านั้น ไม่อนุญาตให้นำไปใช้ประโยชน์ด้านการค้า  
ไม่ว่ากรณีใดๆ ทั้งสิ้น อีกทั้งห้ามมิให้ดัดแปลงเนื้อหา และต้องอ้างอิงถึงเจ้าของเอกสารทุกครั้งที่มีการนำไปใช้

## โปรแกรม Phase accumulator

```
library ieee;
use ieee.std_logic_1164.all;
--use ieee.std_logic_signed.all;
use ieee.std_logic_unsigned.all;
-----
-
entity phase_acc24 is
port ( clk : in std_logic;
      rst : in std_logic;
      sel : in std_logic_vector(1 downto 0);
      freq_data: in std_logic_vector(23 downto 0);
      dout: out std_logic_vector(7 downto 0)
      );
end phase_acc24;
-----
--
architecture rtl of phase_acc24 is
-----
--
--signal address : unsigned( 5 downto 0);
--signal dout1 : std_logic_vector ( 7 downto 0);
--signal result : std_logic_vector ( 7 downto 0);
--signal result1 : std_logic_vector ( 7 downto 0);
--signal accum : std_logic_vector (23 downto 0);
--signal sign : std_logic;

begin
-----
acc:process(clk,rst,freq_data)
variable count1:std_logic_vector(23 downto 0);
begin
count1:= freq_data ;
if rst = '0' then
accum<="000000000000000000000000";
elsif clk'event and clk='1'then
accum <= count1 + accum;
end if;

end process;
-----
out_squre:process( accum)
begin
if accum(23) ='0' then
dout1 <= "11111111";
else
dout1 <= (others => '0');
end if;
end if;
```

เอกสารนี้เป็นเอกสารที่สงวนไว้สำหรับการใช้งานเพื่อการศึกษาเท่านั้น ไม่อนุญาตให้นำไปใช้ประโยชน์ด้านการค้า  
ไม่ว่ากรณีใดๆ ทั้งสิ้น อีกทั้งห้ามมิให้ดัดแปลงเนื้อหา และต้องอ้างอิงถึงเจ้าของเอกสารทุกครั้งที่มีการนำไปใช้

end process;

-----  
dout<= dout1 when sel ="01" else  
    accum(23 downto 16);

end;



เอกสารนี้เป็นเอกสารที่สงวนไว้สำหรับการใช้งานเพื่อการศึกษาเท่านั้น ไม่อนุญาตให้นำไปใช้ประโยชน์ด้านการค้า  
ไม่ว่ากรณีใดๆ ทั้งสิ้น อีกทั้งห้ามมิให้ดัดแปลงเนื้อหา และต้องอ้างอิงถึงเจ้าของเอกสารทุกครั้งที่มีการนำไปใช้

## โปรแกรม LFSR

```
library ieee;
use ieee.std_logic_1164.all;
-----
----
entity lfsr_32 is
port(   Clock      : in std_logic;
        lfsr_out   : out std_logic_vector(7 downto 0)
    );
end;
-----
-----
architecture rtl of lfsr_32 is
signal reg : std_logic_vector( 31 downto 0);
signal feedback:std_logic;
begin
    process(Clock)
    begin
        if( Clock'event and Clock = '1' ) then
            if reg="00000000000000000000000000000000" then
                reg<="00000000000000000000000000000001";
            else
                reg(31 downto 8)<=reg(30 downto 7);
                reg(7)<=reg(6) xor feedback;
                reg(6)<=reg(5) xor feedback;
                reg(5)<=reg(4);
                reg(4)<=reg(3);
                reg(3)<=reg(2);
                reg(2)<=reg(1) xor feedback;
                reg(1)<=reg(0);
                reg(0)<=feedback;
            end if;
        end if;
        feedback<=reg(31);
    end process;
    lfsr_out<=reg(31 downto 24);
end;
-----
```

เอกสารนี้เป็นเอกสารที่สงวนไว้สำหรับการใช้งานเพื่อการศึกษาเท่านั้น ไม่อนุญาตให้นำไปใช้ประโยชน์ด้านการค้า  
ไม่ว่ากรณีใดๆ ทั้งสิ้น อีกทั้งห้ามมิให้ดัดแปลงเนื้อหา และต้องอ้างอิงถึงเจ้าของเอกสารทุกครั้งที่มีการนำไปใช้

## โปรแกรม Mux\_out

```
LIBRARY ieee;
use ieee.std_logic_1164.all;
use ieee.std_logic_unsigned.all;
-----
-----
ENTITY mux_out IS
  PORT(
    sel_mux      : IN STD_LOGIC;
    dout_osc,dout_ran: IN STD_LOGIC_VECTOR(7 downto 0);
    dout         : OUT STD_LOGIC_VECTOR(7 downto 0));
END mux_out ;
-----
-----
ARCHITECTURE a OF mux_out IS
  SIGNAL sel : STD_LOGIC;
BEGIN

PROCESS(sel_mux,dout_osc,dout_ran)
  BEGIN
    sel<=sel_mux;
    IF sel = '0' THEN
      dout <= dout_osc;
    ELSE
      dout <= dout_ran;
    END IF;

  END PROCESS;
END a;
```

เอกสารนี้เป็นเอกสารที่สงวนไว้สำหรับการใช้งานเพื่อการศึกษาเท่านั้น ไม่อนุญาตให้นำไปใช้ประโยชน์ด้านการค้า  
ไม่ว่ากรณีใดๆ ทั้งสิ้น อีกทั้งห้ามมิให้ดัดแปลงเนื้อหา และต้องอ้างอิงถึงเจ้าของเอกสารทุกครั้งที่มีการนำไปใช้

## โปรแกรม DDS

```
library ieee;
use ieee.std_logic_1164.all;
use ieee.numeric_std.all;
use ieee.std_logic_unsigned.all;
-----
-
entity dds is
port ( clk : in std_logic;
      rst : in std_logic;
      sel : in std_logic_vector(1 downto 0);
      freq_data: in std_logic_vector(23 downto 0);
      dout: out std_logic_vector(7 downto 0)
    );
end dds;
-----
--
architecture rtl of dds is
-----
signal address : unsigned( 5 downto 0);
signal dout1,dout2,dout3 : std_logic_vector (7 downto 0);
signal result : std_logic_vector (7 downto 0);
signal result1 : std_logic_vector (7 downto 0);
signal accum : std_logic_vector (23 downto 0);
signal sign : std_logic;
-----
begin
-----
acc:process(clk,rst,freq_data)
variable count1:std_logic_vector(23 downto 0);
begin
count1:= freq_data;
if rst = '0' then
accum<="000000000000000000000000";
elsif clk'event and clk='1'then
accum<=count1 + accum;
end if;
end process;
-----
sign <= accum(23);
-----
```

เอกสารนี้เป็นเอกสารที่สงวนไว้สำหรับการใช้งานเพื่อการศึกษาเท่านั้น ไม่อนุญาตให้นำไปใช้ประโยชน์ด้านการค้า  
ไม่ว่ากรณีใดๆ ทั้งสิ้น อีกทั้งห้ามมิให้ดัดแปลงเนื้อหา และต้องอ้างอิงถึงเจ้าของเอกสารทุกครั้งที่มีการนำไปใช้

```

process(accum)
begin
if accum(22) = '0' then
address <= unsigned ( accum (21 downto 16));
else
address <= unsigned (not accum (21 downto 16));
end if;
end process;
-----
lookup_sin:process(address,sign)
subtype slv8 is std_logic_vector(7 downto 0);
type rom64 is array (0 to 63 ) of slv8;
variable sinus_rom : rom64 :=(
"00000000","00000011","00000110","00001001","00001100",
"00001111","00010010","00010101","00011000","00011011",
"00011110","00100001","00100100","00100111","00101010",
"00101101","00110000","00110011","00110110","00111001",
"00111010","00111110","01000001","01000011","01000110",
"01001001","01001011","01001110","01010000","01010010",
"01010101","01010111","01011001","01011011","01011110",
"01100000","01100010","01100100","01100110","01100111",
"01101001","01101011","01101100","01101110","01110000",
"01110001","01110010","01110100","01110101","01110110",
"01110111","01111000","01111001","01111010","01111011",
"01111011","01111100","01111101","01111101","01111110",
"01111110","01111110","01111110","01111110");
begin
if sign = '1' then
result <= sinus_rom(to_integer(address));
else
result <= std_logic_vector (-
signed(sinus_rom(to_integer(address))));
end if;
end process;
-----
-----
outreg:process(clk,rst)
begin
if rst = '0' then
dout1 <= (others => '0');
elsif rising_edge(clk) then
dout1 <= result;
dout1(7) <= not result(7);
dout1(6 downto 0 ) <= result ( 6 downto 0);
end if;
end process;
-----
-----

```

เอกสารนี้เป็นเอกสารที่สงวนไว้สำหรับการใช้งานเพื่อการศึกษาเท่านั้น ไม่อนุญาตให้นำไปใช้ประโยชน์ด้านการค้า  
ไม่ว่ากรณีใดๆ ทั้งสิ้น อีกทั้งห้ามมิให้ตัดแปลงเนื้อหา และต้องอ้างอิงถึงเจ้าของเอกสารทุกครั้งที่มีการนำไปใช้

```

out_squire:process( accum)
begin
if accum(23) ='0' then
    dout2 <= "11111111";
else
dout2 <= (others => '0');
end if;
end process;
-----

```

```

lookup_sawtooth:process(address,sign)
subtype slv8 is std_logic_vector(7 downto 0);
type rom64 is array (0 to 63 ) of slv8;
variable sawtooth_rom : rom64 :=(
"00000000","00000010", "00000100", "00000110", "00001000",
"00001010", "00001100", "00001110", "00010000", "00010010",
"00010100", "00010110", "00011000", "00011010", "00011100",
"00011110", "00100000", "00100010", "00100100", "00100110",
"00101000", "00101010", "00101100", "00101110", "00110000",
"00110010", "00110100", "00110110", "00111000", "00111010",
"00111100", "00111110", "01000000", "01000010", "01000100",
"01000110", "01001000", "01001010", "01001100", "01001110",
"01010000", "01010010", "01010100", "01010110", "01011000",
"01011010", "01011100", "01011110", "01100000", "01100010",
"01100100", "01100110", "01101000", "01101010", "01101100",
"01101110", "01110000", "01110010", "01110100", "01110110",
"01111000", "01111010", "01111100", "01111110");
begin
if sign = '1' then
    result1 <= sawtooth_rom(to_integer(address));
else
    result1 <= std_logic_vector (-
signed(sawtooth_rom(to_integer(address))));
end if;
end process;
-----

```

```

out_sawtooth:process(clk,rst)
begin
if rst ='0' then
    dout3 <= (others => '0');
elsif rising_edge(clk) then
    dout3<= result1;
    dout3(7) <= not result1(7);
    dout3(6 downto 0 ) <= result1 ( 6 downto 0 );
end if;
end process;
-----

```

```
dout<= dout1 when sel ="00" else
dout2 when sel ="01" else
dout3 when sel ="10" else
accum(23 downto 16);
end rtl;
```



เอกสารนี้เป็นเอกสารที่สงวนไว้สำหรับการใช้งานเพื่อการศึกษาเท่านั้น ไม่อนุญาตให้นำไปใช้ประโยชน์ด้านการค้า  
ไม่ว่ากรณีใดๆ ทั้งสิ้น อีกทั้งห้ามมิให้ดัดแปลงเนื้อหา และต้องอ้างอิงถึงเจ้าของเอกสารทุกครั้งที่มีการนำไปใช้

โปรแกรม Matlab เพื่อทดสอบการทำงานของ CORDIC

```
clc;
angle=input(' Enter angle degree:');
z=1:24;
x=1:24;
y=1:24;
a=1:24;
k=1.64679;
z(1)=angle*(pi/180);
x(1)=1/k;
y(1)=0;
z_d=angle;
for i=0:23
    if z_d>=0
        z(i+2)=z(i+1)-(atan(2^(-i)));
        x(i+2)=x(i+1)-((2^(-i))*y(i+1));
        y(i+2)=y(i+1)+((2^(-i))*x(i+1));
        z_d=z(i+2)*(180/pi);
    else
        z(i+2)=z(i+1)+(atan(2^(-i)));
        x(i+2)=x(i+1)+((2^(-i))*y(i+1));
        y(i+2)=y(i+1)-((2^(-i))*x(i+1));
        z_d=z(i+2)*(180/pi);
    end
    format long g
    a(i+1)=atan(2^(-i))*(180/pi)
end
z1=z(i+2)*(180/pi)
x1=x(i+2)
y1=y(i+2)
```



เอกสารนี้เป็นเอกสารที่สงวนไว้สำหรับการใช้งานเพื่อการศึกษาเท่านั้น ไม่อนุญาตให้นำไปใช้ประโยชน์ด้านการค้า  
ไม่ว่ากรณีใดๆ ทั้งสิ้น อีกทั้งห้ามมิให้ดัดแปลงเนื้อหา และต้องอ้างอิงถึงเจ้าของเอกสารทุกครั้งที่มีการนำไปใช้

## กิตติกรรมประกาศ

ปริญญานิพนธ์นี้สำเร็จลุล่วงได้ด้วยดีด้วยความกรุณาของ รศ.ดร.กอบชัย เดชหาญ และอาจารย์ สรวัฒน์ ชิวปริชา อาจารย์ที่ปรึกษา ผู้คอยเอาใจใส่ดูแลและเมตตาแก้ไขด้วยดีเสมอมา คณะผู้จัดทำรู้สึกซาบซึ้งในความกรุณาเป็นอย่างยิ่ง และขอกราบพระคุณเป็นอย่างสูง ขอขอบคุณสำหรับกำลังใจ คำแนะนำเกี่ยวกับปัญหาต่างๆ และความช่วยเหลือทุกอย่างระหว่างการทำปริญญานิพนธ์นี้ของเพื่อนๆ ทุกคน และขอขอบพระคุณอาจารย์ทุก ๆ ท่านที่ประสิทธิ์ประสาทวิชาความรู้ต่าง ๆ ให้แก่ศิษย์ทั้งโดยทางตรง และทางอ้อม

สุดท้ายนี้ขอกราบขอบพระคุณบิดา มารดา ที่ให้ความสำคัญกับการศึกษาของลูกและให้การสนับสนุนเอาใจใส่ดูแลด้วยดีเสมอมา รวมทั้งกำลังใจอันยิ่งใหญ่อย่างหาที่เปรียบมิได้



เอกสารนี้เป็นเอกสารที่สงวนไว้สำหรับการใช้งานเพื่อการศึกษาเท่านั้น ไม่อนุญาตให้นำไปใช้ประโยชน์ด้านการค้า ไม่ว่ากรณีใดๆ ทั้งสิ้น อีกทั้งห้ามมิให้ตัดแปลงเนื้อหา และต้องอ้างอิงถึงเจ้าของเอกสารทุกครั้งที่มีการนำไปใช้

## บรรณานุกรม

1. D. L. Perry, "VHDL", McGraw-Hill Company ,Inc ,volume 3 ,1998.
2. คู่มือการอบรมเชิงปฏิบัติการ, "VHDL Application Workshop และ FPGA Design Workshop", ศูนย์เทคโนโลยีอิเล็กทรอนิกส์และคอมพิวเตอร์แห่งชาติ
3. D.L.Perry, "VHDL", New York : McGraw – Hill, 1995
4. บริษัท แอสทรอน ลอจิก รีเสิร์ชแอนด์ดีเวลอปเมนต์ จำกัด, "เปิดโลก FPGA กับ "WIZARD PLDAO1," 2544\
5. มนต์ สัจวรศิลป์, วรรณีย์ ภัทรอมรกุล, " คู่มือการใช้งาน MATLAB ฉบับสมบูรณ์", ศูนย์การพิมพ์พลซ์ อินโฟเพลส ,กรุงเทพฯ 2543
6. J. G.Proakis and D. G. Manolakis, "Introduction to Digital Signal Processing" , Macmillan publising, 1988, p372-376



เอกสารนี้เป็นเอกสารที่สงวนไว้สำหรับการใช้งานเพื่อการศึกษาเท่านั้น ไม่อนุญาตให้นำไปใช้ประโยชน์ด้านการค้า  
ไม่ว่ากรณีใดๆ ทั้งสิ้น อีกทั้งห้ามมิให้ดัดแปลงเนื้อหา และต้องอ้างอิงถึงเจ้าของเอกสารทุกครั้งที่มีการนำไปใช้